

TN841-78-37

資料は 年 月 日付で登録区分、  
する。 2001. 6. - 6

[技術情報室]

# CTL-Dチャンネル加圧試験時AE測定

1978年5月

動力炉・核燃料開発事業団  
東 海 事 業 所

→ の次へ ← 前へ ナビゲーション

本資料の全部または一部を複写・複製・転載する場合は、下記にお問い合わせください。

〒319-1184 茨城県那珂郡東海村大字村松4番地49  
核燃料サイクル開発機構  
技術展開部 技術協力課

Inquiries about copyright and reproduction should be addressed to:  
Technical Cooperation Section,  
Technology Management Division,  
Japan Nuclear Cycle Development Institute  
4-49 Muramatsu, Tokai-mura, Naka-gun, Ibaraki, 319-1184  
Japan

© 核燃料サイクル開発機構 (Japan Nuclear Cycle Development Institute)  
2001

(U)



TN 841 - 78 - 37

1978年5月24日

## CTL-D チャンネル加圧試験時 AE 測定

実施責任者	三浦	信	(技術部検査開発課)
報告者	佐藤	政一	( " )
	五十嵐	幸	( " )
	近藤	吉隆	( " )

期 間 1977年10月20日～1978年2月28日

目 的 室温におけるCTL-Dチャンネル加圧試験過程のAE測定を行ない、AE法に依るATR圧力管定期検査のための基礎データ集収を目的とする。

要 旨 大洗工学センターのCTL-Dチャンネル水圧試験中のAE測定を行なった。

試験は、室温において行なわれ、AEはDチャンネル上、下端夫々において測定された。

測定されたAEは、データレコーダに採録され、試験後に周波数分析等が行なわれた。加圧は、数回繰り返えされたが、およそ $130\text{ Kg/cm}^2$ に達したところで連続的なAE発生が見られた。

その後の観察により、連続的なAEは極めて微量の水リークに依るものであることがわかった。

周波数分析の結果、第1回目加圧中に得られたAEのピーク周波数は、およそ120KHZであり、リークに依るAEの最大ピーク周波数は、およそ270KHZであった。

## 目 次

1 はじめに .....	1
2 試験方法 .....	2
2.1 AE信号解析装置 .....	2
2.2 被 験 体 .....	3
2.3 加圧方法 .....	3
2.4 測定方法 .....	3
2.4.1 AE測定 .....	3
2.4.2 AE信号の記録 .....	8
2.5 AE信号解析 .....	8
2.5.1 周波数分析 .....	8
2.5.2 波形観察 .....	8
3 結果及び検討 .....	12
3.1 第1回目加圧試験結果 .....	12
3.1.1 Dチャンネル下端での測定結果 .....	12
3.1.1.1 カウント解析 .....	12
3.1.1.2 原波形の全体再生 .....	12
3.1.1.3 波形及び周波数分析 .....	12
3.1.1.4 AE信号ピーク分布分析 .....	16
3.1.2 Dチャンネル上端での測定結果 .....	29
3.1.2.1 カウント解析 .....	29
3.1.2.2 波形及び周波数分析 .....	35
3.1.2.3 原波形の全体再生 .....	35
3.2 第2回目加圧試験結果 .....	38
3.2.1 Dチャンネル下端での測定結果 .....	38
3.2.1.1 カウント解析 .....	38
3.2.1.2 原波形の全体再生及び周波数分析 .....	38
3.2.2 Dチャンネル上端での測定結果 .....	48
3.2.2.1 カウント解析 .....	48
3.2.2.2 原波形の全体再生 .....	51
3.2.2.3 波形及び周波数分析 .....	51

3.3 第3回目加圧試験結果	51
3.3.1 Dチャンネル上端での測定結果	51
3.3.1.1 カウント解析	51
3.3.1.2 原波形の再生及び周波数分析	57
3.3.2 Dチャンネル上端での測定結果	57
3.3.2.1 カウント解析	57
3.3.2.2 原波形の再生	57
3.4 増締め後の測定	57
4 まとめ	66
5 謝辞	67
6 文献	67
7 Appendix	69

## 1. はじめに

Acoustic Emission (以下AE) 技術のATR圧力管モニタリングへの応用のために  
は、小片試験片による圧力管材料のAE特性を充分に理解することと、構造としての圧力管の  
AE特性を知る必要がある。

本実験は、圧力管が内部に燃料集合体を包蔵した、実際に近い状態において実施されたCTL  
-Dチャンネルの水圧加圧試験中のAE計測に関するもので、ATR圧力管の定期検査時の手順に  
対応するAEデータ採取を目的としたものである。

加圧は、手押しポンプにより行なわれ、その圧力は圧力ヘッド及びポンプ圧力計によって測  
定された。

しかし、データレコーダへの圧力データ記録がうまくいかなかったため圧力のチェックはポ  
ンプ圧力計の読みに頼らざるを得なかった。

本試験では、データレコーダに一旦記録したAE信号を再生させることで、大部分のAE解  
析を行なっているが、これにはたくさんの測定機器を現場まで直接運ぶ必要を、なくするため  
のひとつの手段を確かめる目的も含まれている。

## 2. 試験方法

2.1 AE信号解析装置	NORTEC	
AEセンサ	DZ-210	
	公称共振周波数 1 MHz	
フィルタ	442	LOOK LAND
	10 KHz - 1 MHz	
X-Tレコーダ	MARK-220	BRUSH
	チャートスピード 1 mm/sec	
	記録レンジ 100 mV/div (オンライン測定時)	
	" " 50 mV/div (オフライン測定時)	
X-Yレコーダ	3077	横河
	X = 10 sec/cm Y = 0.2 V/cm	
デジタルメモリ	DM-701	岩通
CH1	記録 0.1 μsec/word, 再生 1 μsec/word (スペクトル分析時) 再生 100 msec/word (波形再生時)	
CH2	記録 1 μsec/word, 再生 100 msec/word (波形再生)	
デジタル相関計	C-120	TEAC
スペクトル 分析時	アベレージング 8192 サンプリングタイム 5 μsec 入力レンジ 1 V	
ピーク 分析時	アベレージング 64 サンプリングタイム 500 μsec フルスケール 3 V	
スペクトルアナライザ	F-120	TEAC
データレコーダ	SAVRE VI	SANGAMO
	記録再生速度 60 ips	
	較正Vと記録内容	
	CH1(FM) 5V 圧力	
	CH2(FM) 5V AE累積カウント	
	CH3(FM) 5V カウント率	
	CH5(DR) 2V(P-P) AE信号 Dチャンネル上部	
	CH7(DR) 2V(P-P) " " 下部	

A E測定装置	ダネガン 3000 シリーズ	DUNEGAN
CH A	ゲイン 49 dB TOTAL COUNT (RINGDOWN)	
CH B	" COUNT RATE (0.1 sec RESET)	
高速レコーダ	1806A	HANEY WELL
記録レンジ	0.5 V/cm	
チャートスピード	0.25 cm/sec, 2.5 cm/sec, 5 cm/sec	

図 1 に、測定時及び再生時の装置間結線を示す。

写真 1 に、測定装置を示す。

## 2.2 被 験 体

測定対象は、「ふげん」の運転状態を模擬した、コンポーネント・テスト・ループ (CTL 大洗工学センター) D チャンネルである。

全長約 9.5 m の D チャンネルの様子を写真 2 に示す。

本チャンネル内には、模擬燃料集合体が装荷されており、その燃料ピンの崩壊をさけるため  $150 \text{ Kg/cm}^2$  が最高圧力として予定された。

図 2 に、D チャンネルの主要部を示す。

今回の測定は、圧力管を対象としたものであるが、図 2 より明らかなように圧力管に直接 AE センサを取りつけることが保温材やカランドリア管に、じゃまされて出来なかつたため AE センサは、上・下延長管夫々の終端部に取り付けなければならなかつた。

AE センサの取り付けは、感度を良くするため、エポキシ系接着剤で直接、接着する方法をとつた。2 つのセンサ間隔は、D チャンネルのほぼ全長に相当する 9.5 m となつた。

写真 3 に、上部延長管に取り付けた AE センサ、写真 4 に下部延長管に取り付けた AE センサの様子を示す。ここでは、それぞれを「上端」「下端」と呼ぶことにした。

## 2.3 加 壓 方 法

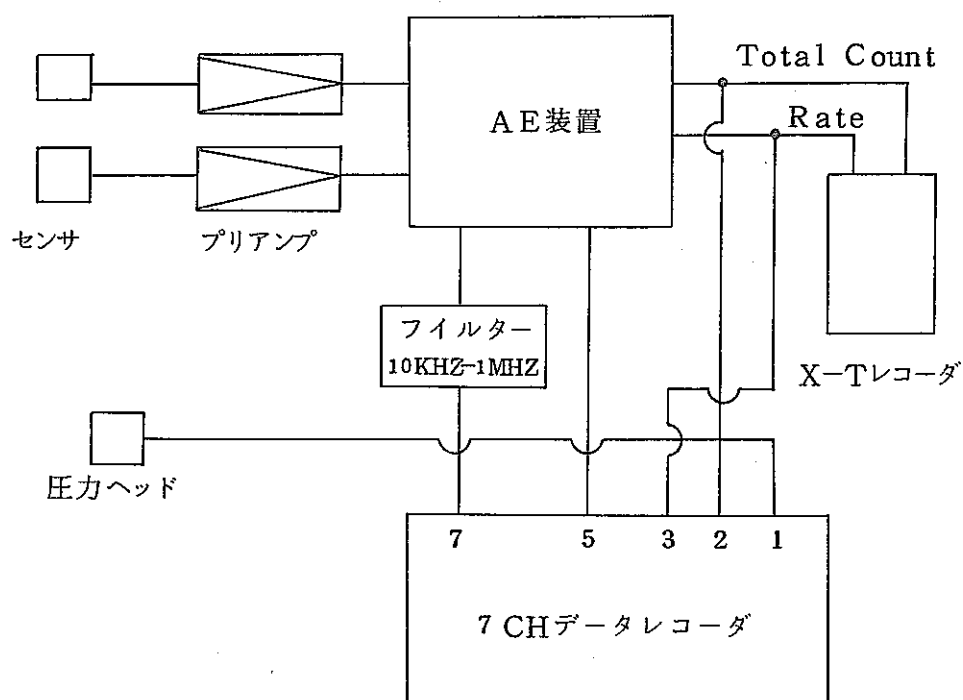
加圧は、水を媒体として図 2 において、矢印で示された部分から行なつた。

使用したポンプを写真 5 に示す。加圧試験は、数回にわたつて繰り返えされた。

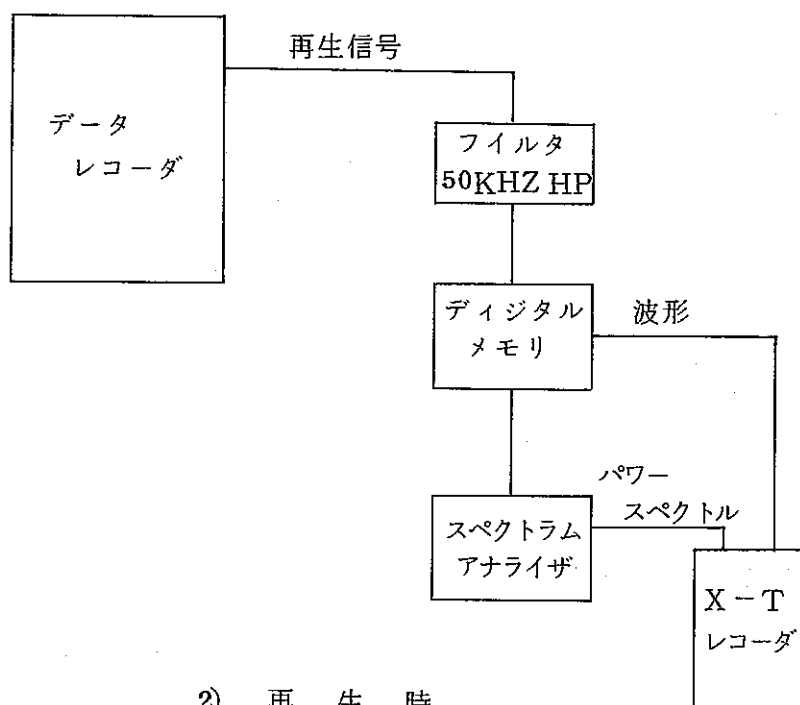
## 2.4 測 定 方 法

### 2.4.1 A E 測定

A E 測定は昇圧の全過程、および降圧過程の 1 部について行なわれ、下端からの A E 信号



1) 測 定 時



2) 再 生 時

図1 CTL-AE測定ブロック図

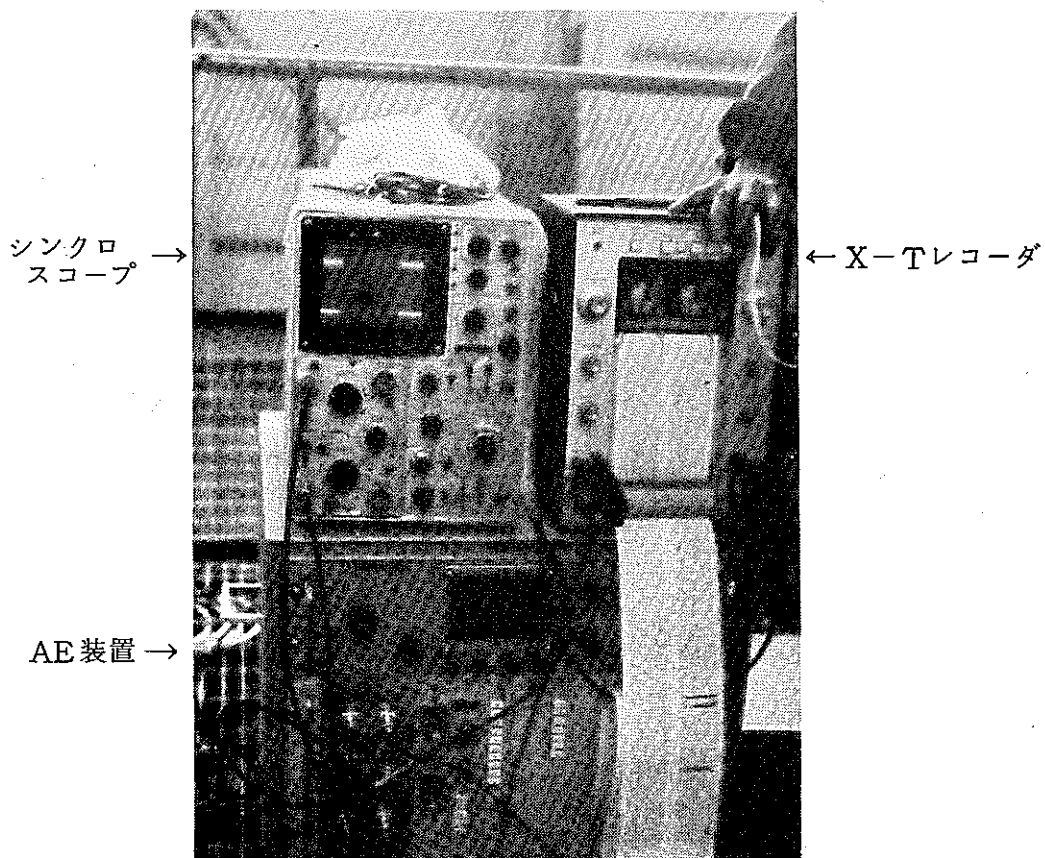
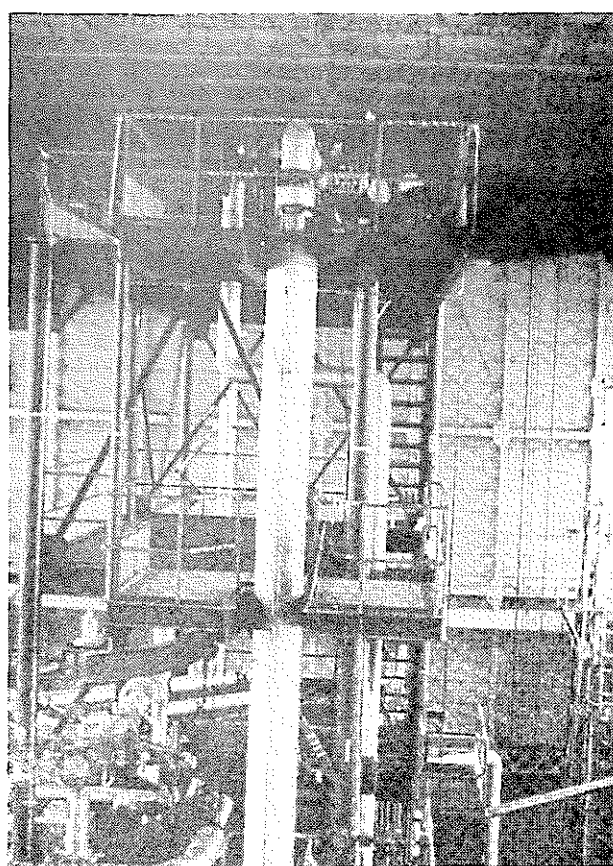
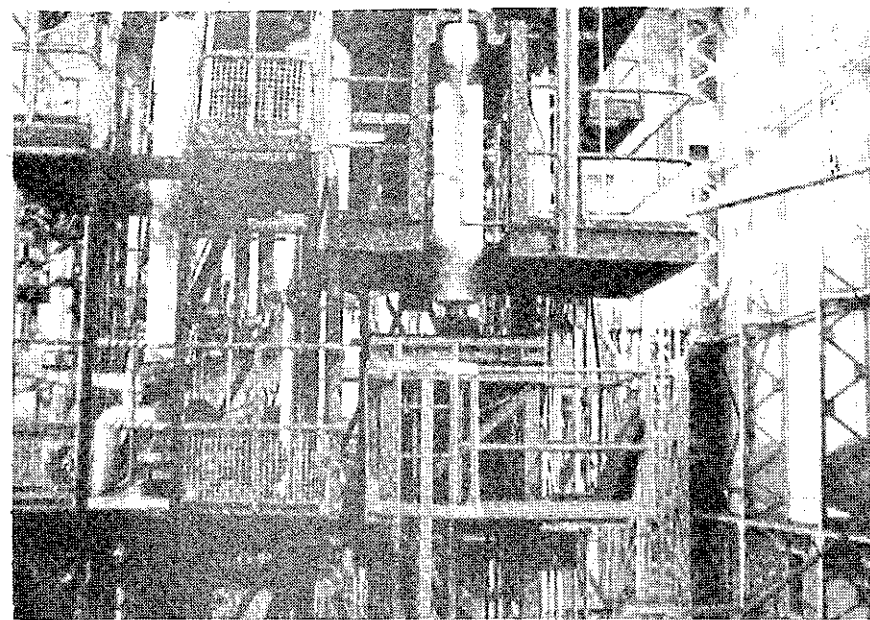


写真 1 AE 測定装置

N841-78-37

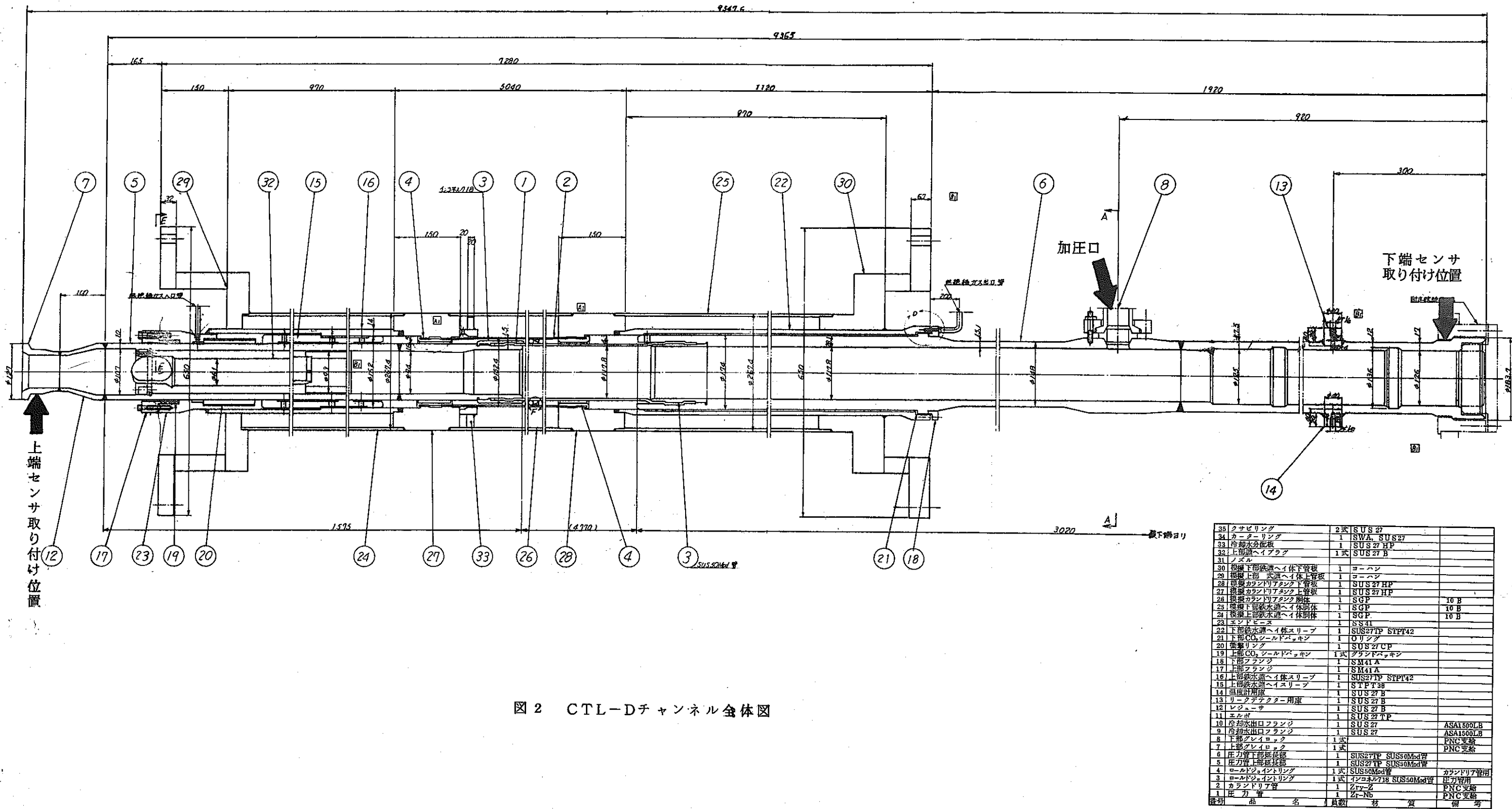


上 部



下 部

写真2 CTL-D チャンネル



についてのAE累積カウント及びAEカウント率がオンラインで出力された。

ここで使用したAE測定装置は、デジタル化されたものであるためカウンタのアナログ出力有効桁数が3桁と限られている。

今回の測定においては、AE発生の状態が非常に大きく変動したため、そのつど出力レベルが適当となるように、桁をかえてやらなければならなかった。

なお、上端から発生したAEについては、試験後データレコーダの再生信号をAE測定装置に入力し、カウント解析させることで整理を行なった。

## 2.4.2 AE信号の記録

加圧中に得られたAE信号は、後の解析とデータ保存のためデータレコーダに記録された。データレコーダは、特に周波数特性の良いものを使い、できるだけ原信号を忠実に記録できるよう配慮した。このため、記録速度は60 ipsとし周波数範囲400HZ - 1MHzが、カバーできるようにした。

データレコーダは、7つのトラックを持ちその内3CHがFMモード、4CHが直接記録(以下DR)モードで使用できる。今回は、FMモードの3CHにAE累積カウント、AEカウント率、圧力を記録し、DRモードの2CHには、Dチャンネルの上端及び下端からのAE信号を記録した。

## 2.5 AE信号解析

### 2.5.1 周波数分析

AE信号の解析のひとつとして、周波数分析が行なわれる。このための信号再生では、オンラインで記録されたAEカウント率のチャートを信号発生マップとして使用した。

再生された信号は一旦、デジタルメモリに書き込まれ、これから繰り返し再生された。このようにデジタルメモリを使用することは、周波数分析の精度を上げるために繰り返し再生と、波形の観察・記録のため必要なことであった。

また、周波数分析はバースト型のAE信号だけでなく、加圧試験中に発生した連続型信号についても行なった。周波数分析では、TEAC製の相関関数計算装置と、フーリエ変換装置の組み合わせを使用したが、その周波数範囲はDCから500 kHz一定とした。

周波数分析結果はリニヤスケールとログスケールの両方法で示したが、これはリニヤスケールでピーク周波数を、ログスケールで周波数の分布を見るためである。尚、両スケールとも縦軸は自由目盛である。

### 2.5.2 波形観察

発生したAE信号の波形を観察した。

今回は、2つの方法によりAE信号の波形再生記録を行なって観察した。

N841-78-37

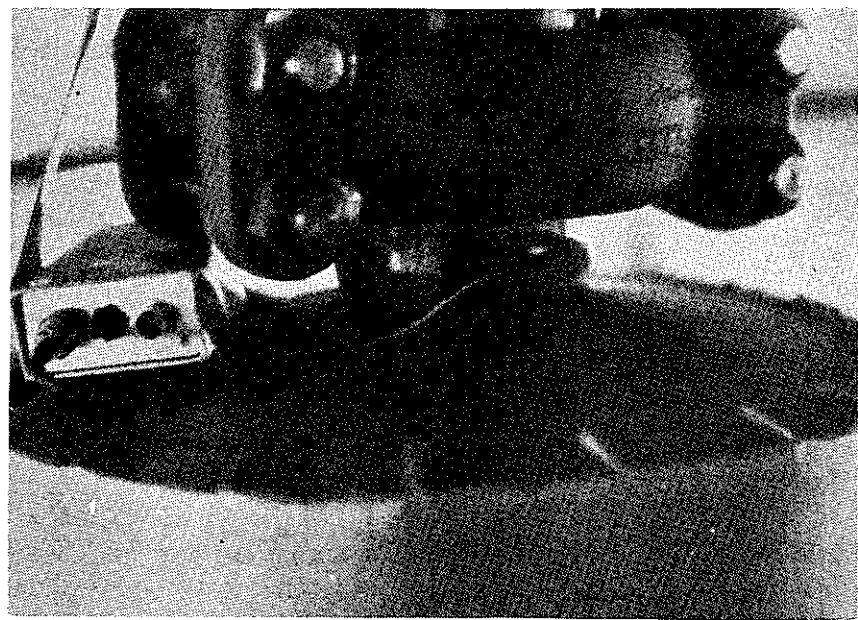
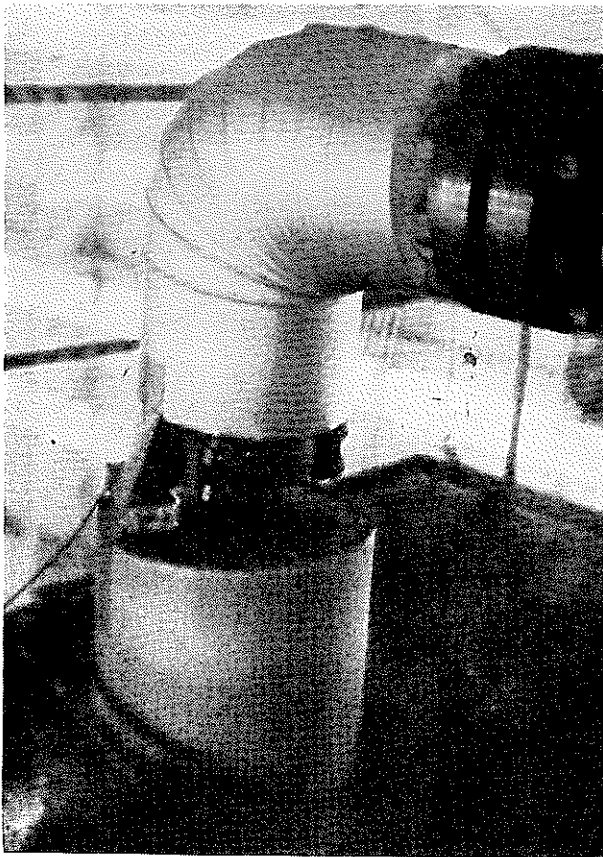


写真3 上端へのAEセンサ取り付けの様子

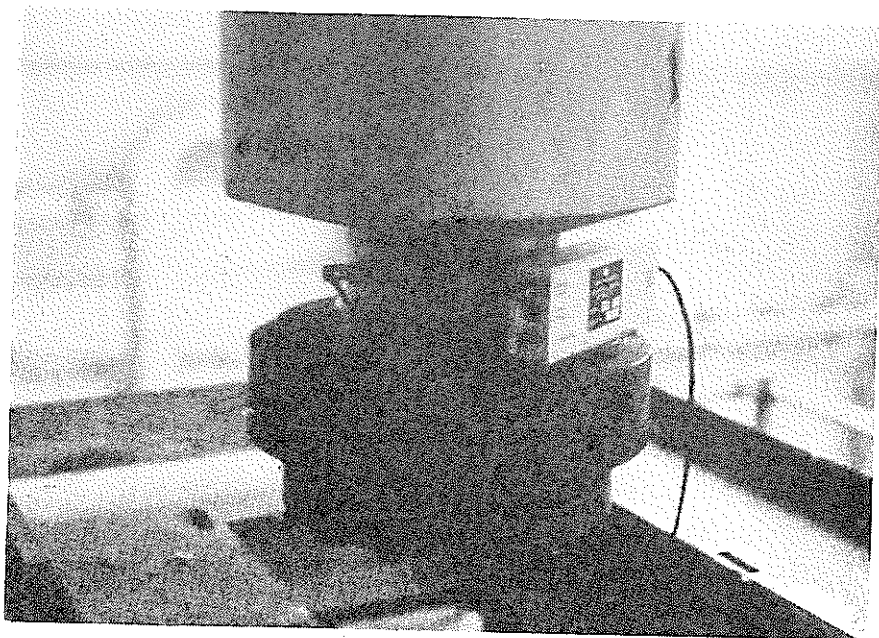


写真4 下端へのAEセンサ取り付けの様子

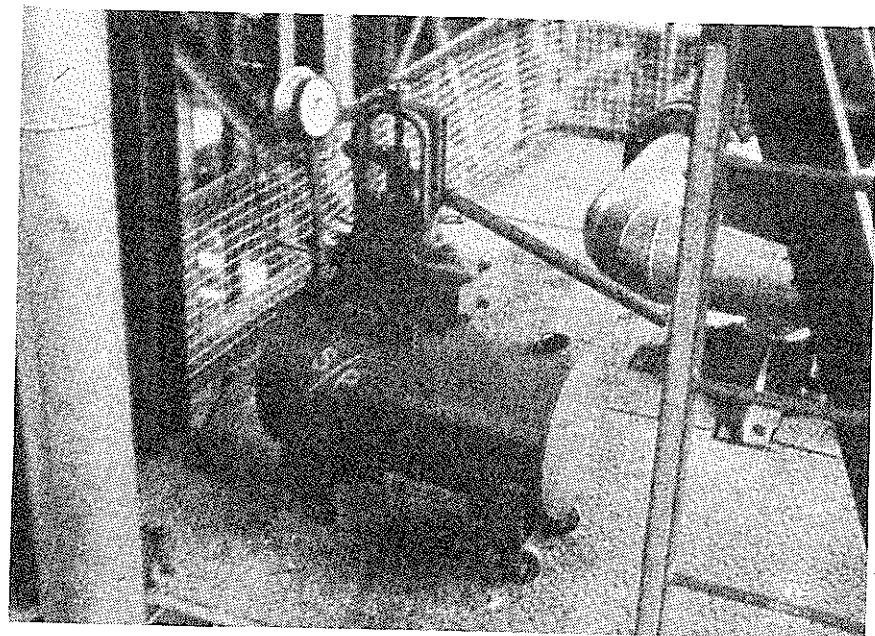


写真5 加圧ポンプ

すなわち、2.5.1で示したディジタルメモリを使用した方法と高速度レコーダを用いた方法である。これは、前者はひとつひとつの波形を詳細に検討するのに適しているが、膨大なAE発生があった場合や、連続型AEについては、非常な手間を必要とする欠点があるのに対し、後者は特定の信号について個別に観察することは困難であるが、特に連続型等には有効な方法であるため、採用した。

### 3. 結果及び検討

#### 3.1 第1回目加圧試験結果

##### 3.1.1 Dチャンネル下端での測定結果

###### 3.1.1.1 カウント解析

図3に第1回目加圧試験で得られたAEのオンライン計測データを示す。

第1回目加圧には数回の昇圧中断を含んでいるが、図では見易くするため中断部を切りつめてある。上段は累積カウントであり、下段はそれを0.1secでリセットして得たカウント率である。

また、図中にポンプの圧力計読みを示した。

カウント率のチャート中に打たれた番号は、後に示される波形再生および周波数分析に供した信号を示すものである。図より明らかなように圧力  $100 \text{ Kg/cm}^2$  到達直前および  $110 \text{ Kg/cm}^2$  直前でかなりまとまったAE発生があった。しかし、これらのAEは後に示される直接再生の結果からも明らかのように、すべてバースト型であった。

圧力は最高  $126 \text{ Kg/cm}^2$  までかけられたが、最大圧力付近のAE発生に特別な徴候はみられなかった。図4に  $40 \text{ Kg/cm}^2$  付近まで記録できた圧力線図とそれまでに発生したAEカウント率を示す。図より明らかなように、圧力停滯期間のAE発生はほとんどなかつた。

###### 3.1.1.2 原波形の全体再生

周波数特性の良い高速度レコーダを用いて、データレコーダに記録した原信号の再生を行なった。これは、発生したAEがバースト型であるか連続型であるかを決定するうえで重要なことである。なんとなれば、今回の試験において水漏れと思われるようなAEの多発が散見されたため高速レコーダを用いて両タイプの区別を行う必要が生じたからである。図5に、第1回目加圧試験中に得られたAE信号の再生結果を示す。

チャートが長くなってしまったので、ここでは5枚に分けて示すことにした。

図より明らかなように、第1回目加圧試験中に得られたAE信号はすべてバースト型であった。特に圧力が  $100 \text{ Kg/cm}^2$  付近で起った大量のAE発生は、図5-4及び5-5で明らかなように、バースト型によるものであることが分った。

また、図3との比較からカウント率が信号振幅に、ほぼ比例することが分り、リングダウンカウント方式と振幅値との比例関係がここからも確認された。

###### 3.1.1.3 波形及び周波数分析

第1回加圧中に得られたAE信号個々の波形及び、その周波数分析を行なった。

このような分析は、30数点にわたって行なわれたため全データを示すのは煩雑である

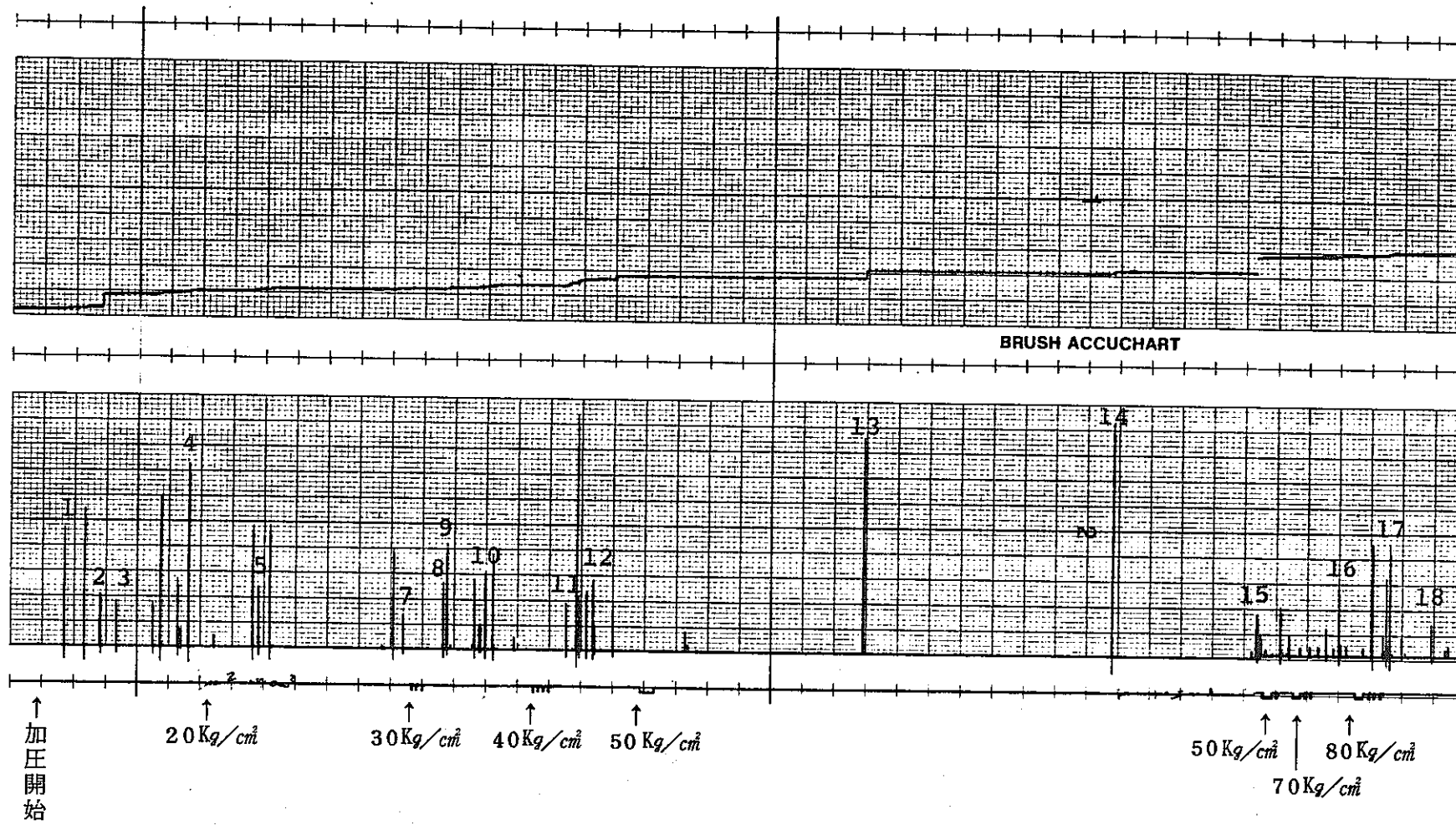


図 3-1 第1回目加圧時 AE 測定結果

上段 累積カウント

下段 カウント率 (0.1 sec リセット)

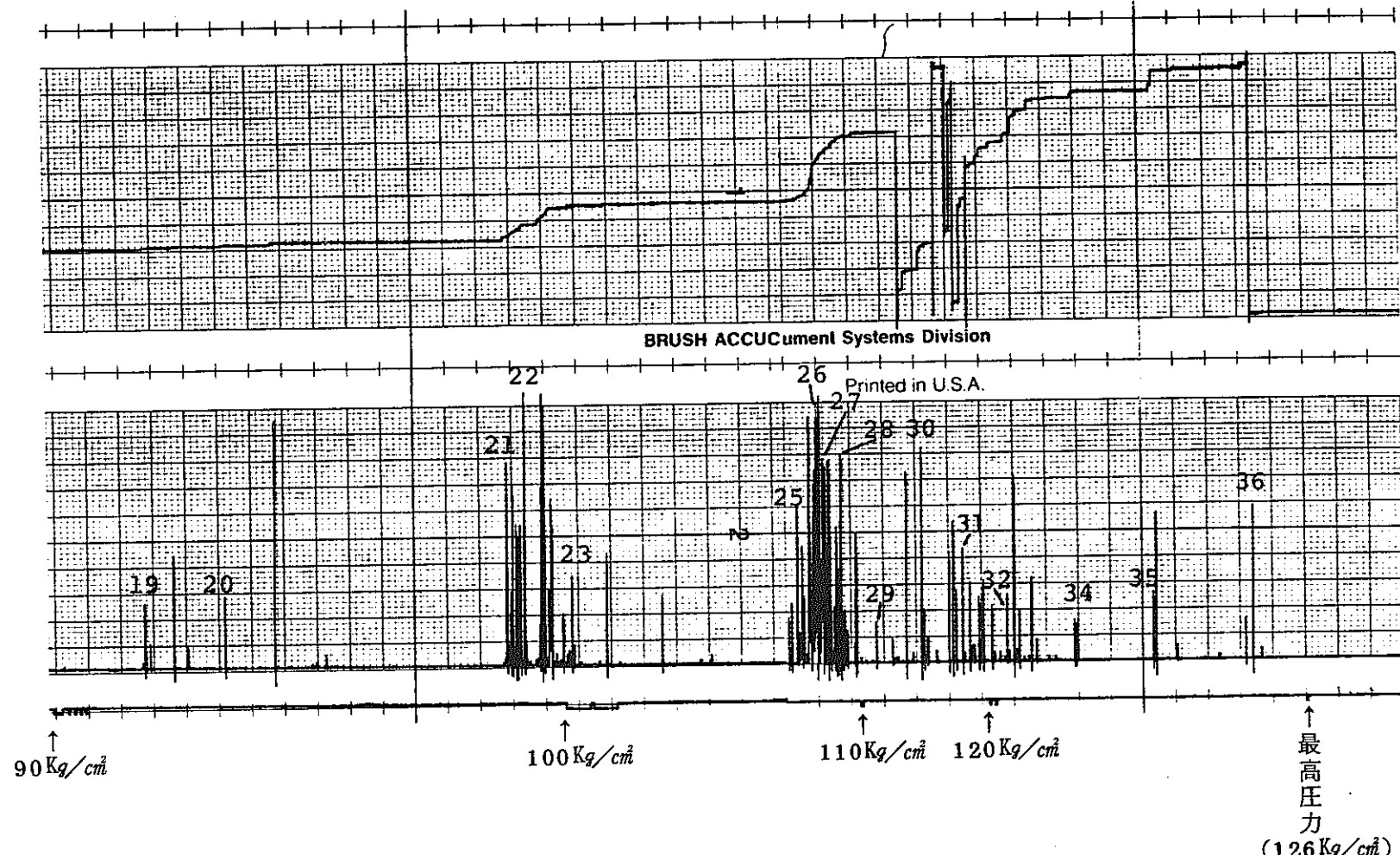
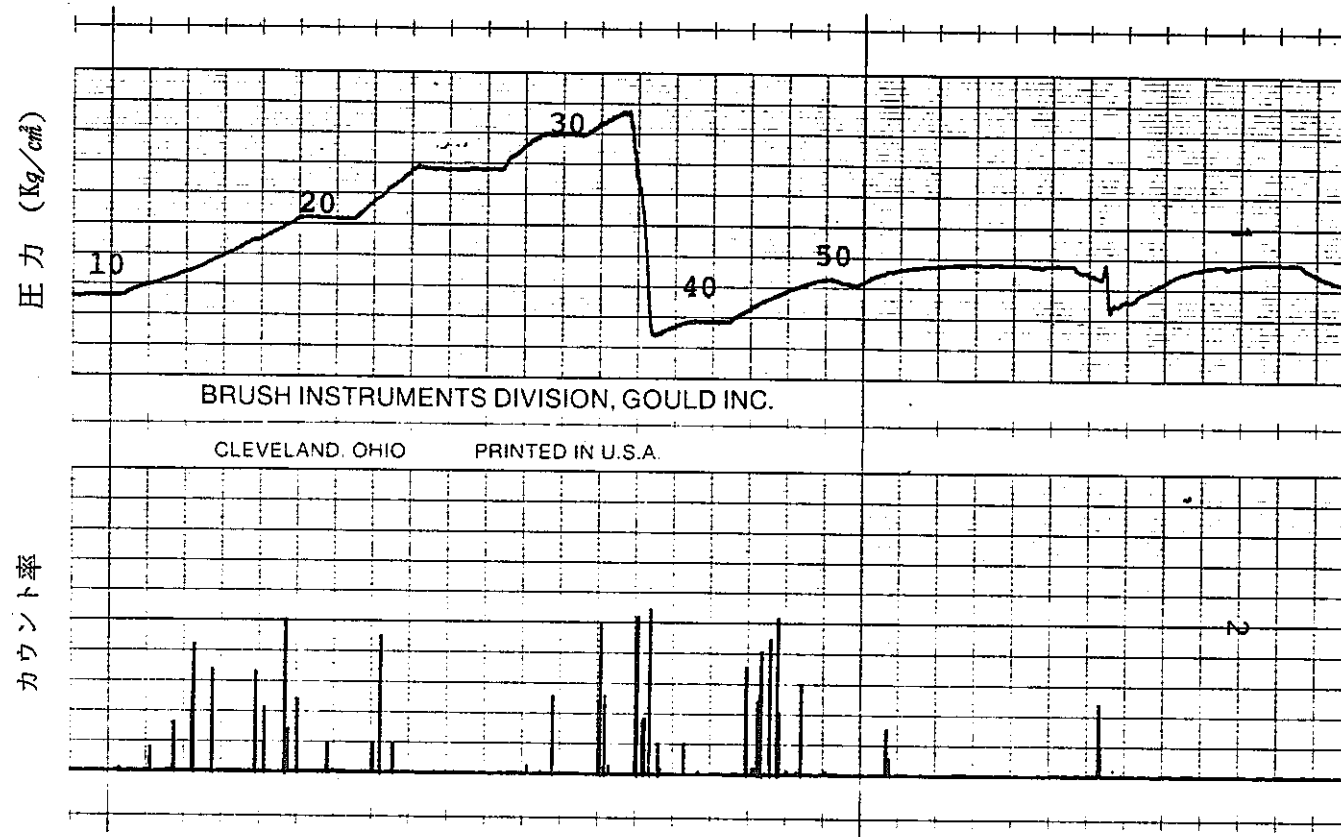


図 3-2 第1回目加圧AE測定結果

上段 累積カウント

下段 カウント率 (0.1 sec リセット)

図4 壓力記録例（30数 $\text{kg}/\text{cm}^2$ 以上の圧力で記録がおかしくなっている）

上段 壓力記録例

下段 第1回目加圧時カウント率 (0.1 sec リセット)

ので、ここでは適当な数点に限って説明することにし、残りはAppendix に示す。

図 6～9 に加圧中に発生した AE の波形及びそのパワースペクトル例を示す。図には、圧力の概数を記しておいた。

波形は全体の様子をとらえるため、サンプリングタイム  $1 \mu\text{sec}/\text{word}$  のものと、周波数分析のため  $0.1 \mu\text{sec}/\text{word}$  でサンプリングしたもの 2 種類とした。また、周波数分析結果もリニヤスケールとログスケールの 2 つで示した。

これは、リニヤスケールを用いるとピーク周波数は良く読みとれる。けれども装置のダイナミックレンジが、20 dB と小さいため信号の大きさによって装置の倍率を変更せねばならず、一定測定条件で周波数分析を行うことが困難であったためである。

このような理由から、ログスケールは装置倍率 128 倍一定として測定した結果を得るために使用された。これら 4 枚の図の比較から明らかなように、波形に大きな相異は見られなかつたがリングダウンは非常に長く、例えば、マルエージング鋼破壊時の AE に比べ 5 倍以上にもなるとみられるものが多発していた。

周波数分析結果は、かなり狭いバンド幅に集中する傾向を示した（図 6, 8 等）が中には広く分布するものもみられた（図 7, 9）。

しかし、夫々の分布が示したピーク周波数は、どの場合もほとんど同じ値となった。すなわち、105 KHZ, 120 KHZ, 270 KHZ 等である。夫々の図における主なピーク周波数は図中で示すとおりである。

最大ピーク周波数と試験経過の関係を調べた。この場合の試験経過を示すパラメータとしては前述のように、圧力が使用できなかったのでここでは、図 3 における加圧開始時点からのチャート長さを用いた。図 10 にその結果を示す。

また、図 10 にはポンプの圧力指示値も同時に示した。図より明らかなように圧力が、 $50 \text{ Kg/cm}^2$  から  $90 \text{ Kg/cm}^2$  の範囲で著るしい最大ピーク周波数の増大が起っている。この範囲内にある信号の例は、図 7 に示されている。 $90 \text{ Kg/cm}^2$  の圧力を越えてからは、 $50 \text{ Kg/cm}^2$  以下のピーク周波数よりやや高い 120 KHZ 程度の最大ピーク周波数を示すものが多くなり、さらに高くなる傾向を示した。このような、圧力に伴って起る AE 信号の最大ピーク周波数変動の原因を明らかにすることはできなかった。

図 11 に、マルエージング鋼片端切欠引張試験時の AE 信号周波数分布を例示する。  
 また、Zr-2.5 Nb の片端切欠引張試験時の AE 信号周波数分析結果を図 12 に例示する。3 つの図の比較より明らかなように、今回の試験で得られた周波数分析の結果は、比較的低い周波数成分を持っていることを示していた。

### 3.1.1.4 AE 信号ピーク分布測定

第 1 回目加圧中に発生した AE 信号のピーク分布測定をデータレコーダの再生信号に

N841-78-37

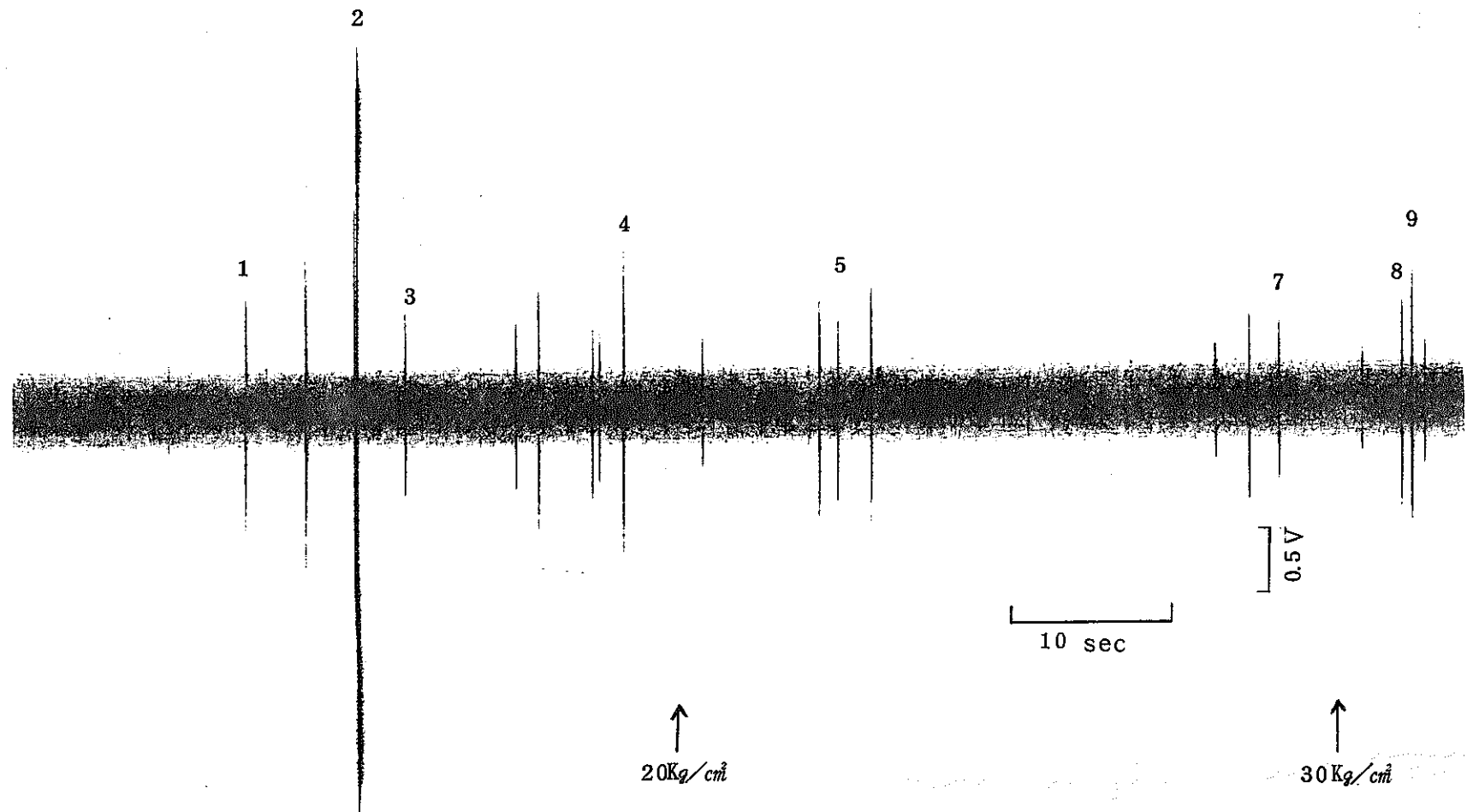


図 5-1 第1回目加圧中に発生したAE信号（下端）  
5 KHZ ハイパス

N841-78-37

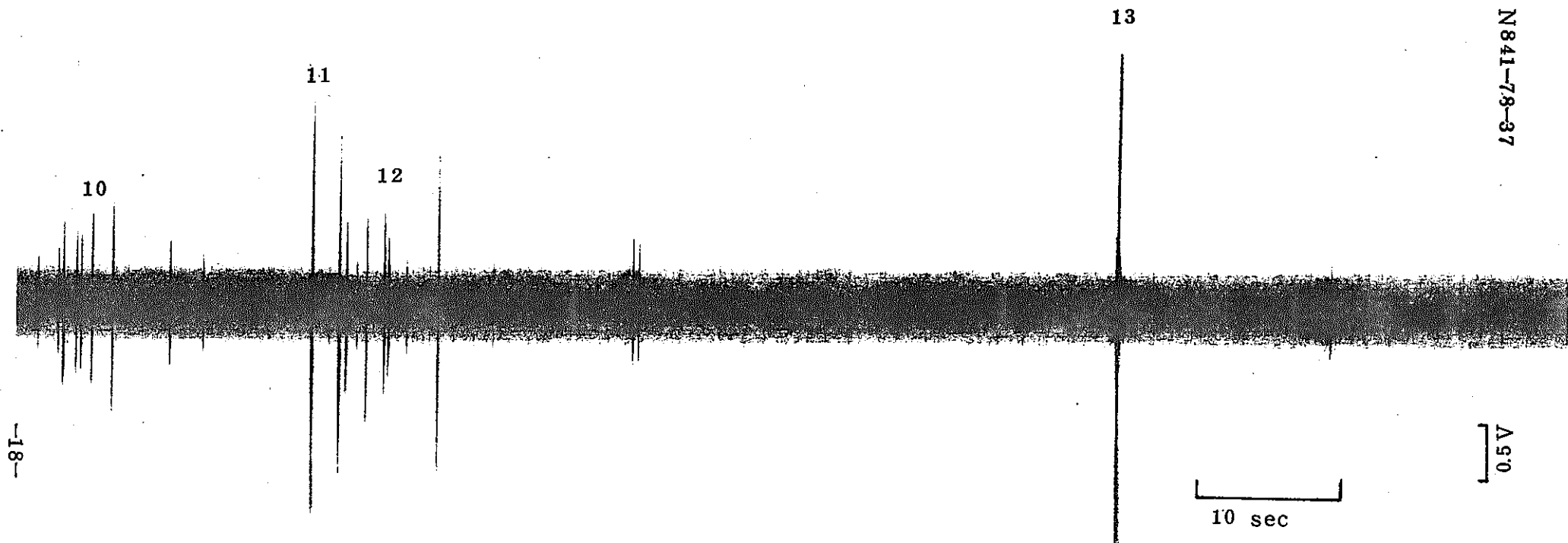


図 5-2 第1回目加圧中に発生したAE信号（下端）  
5KHZ ハイパス

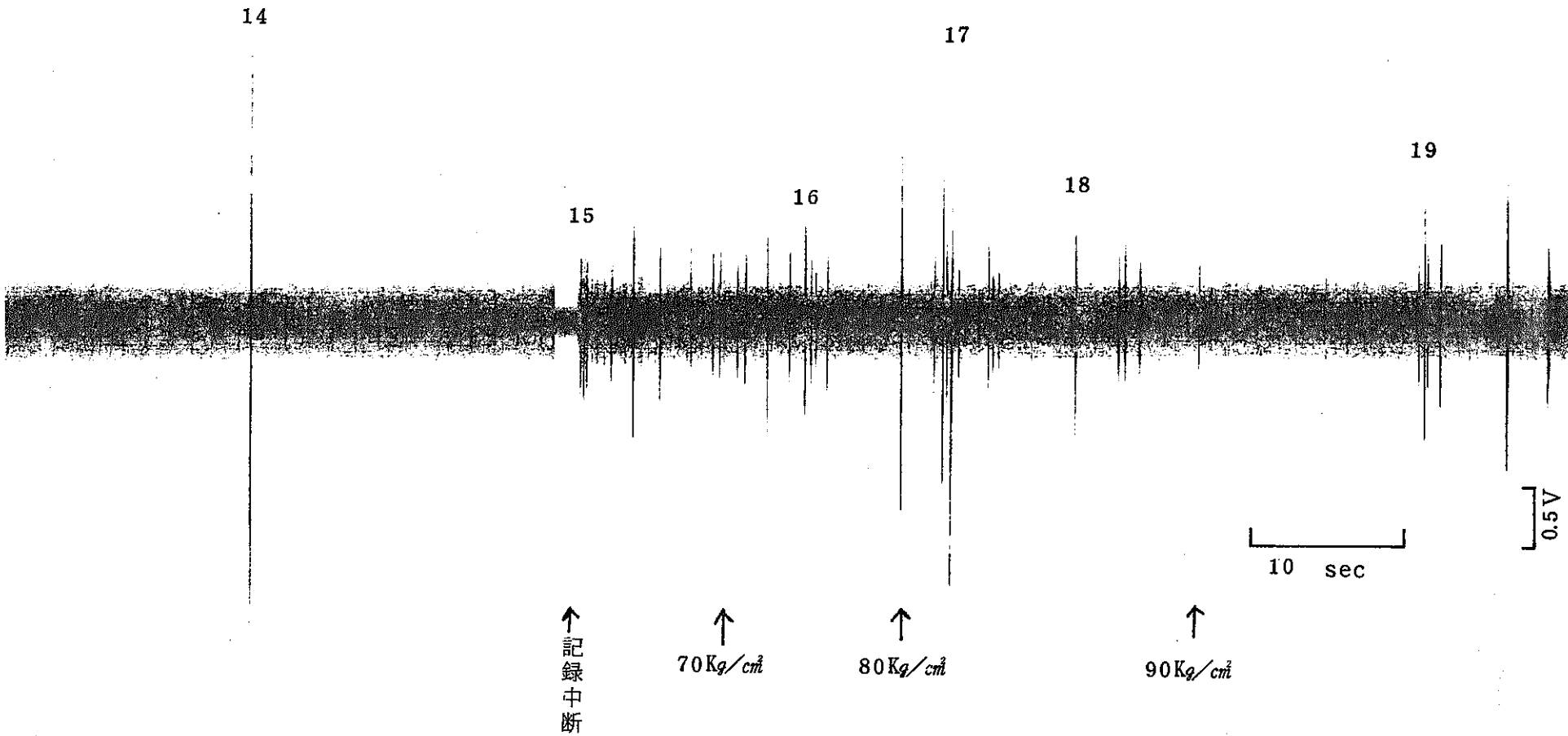


図 5-3 第1回目加圧中に発生したAE信号（下端）  
5KHZ ハイパス

N841-78-37

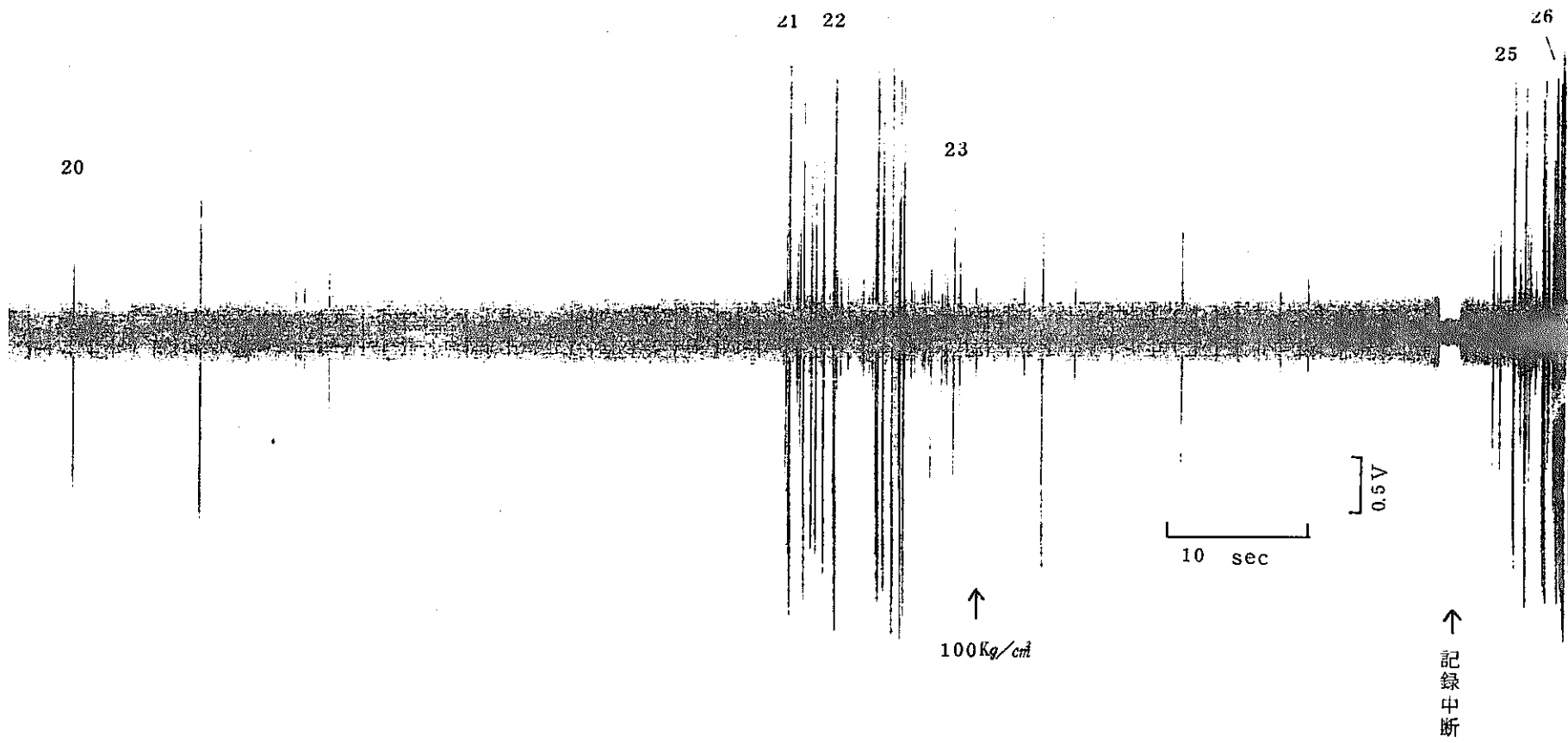


図 5 - 4 第1回目加圧中に発生したAE信号（下端）  
5 KHZ ハイパス

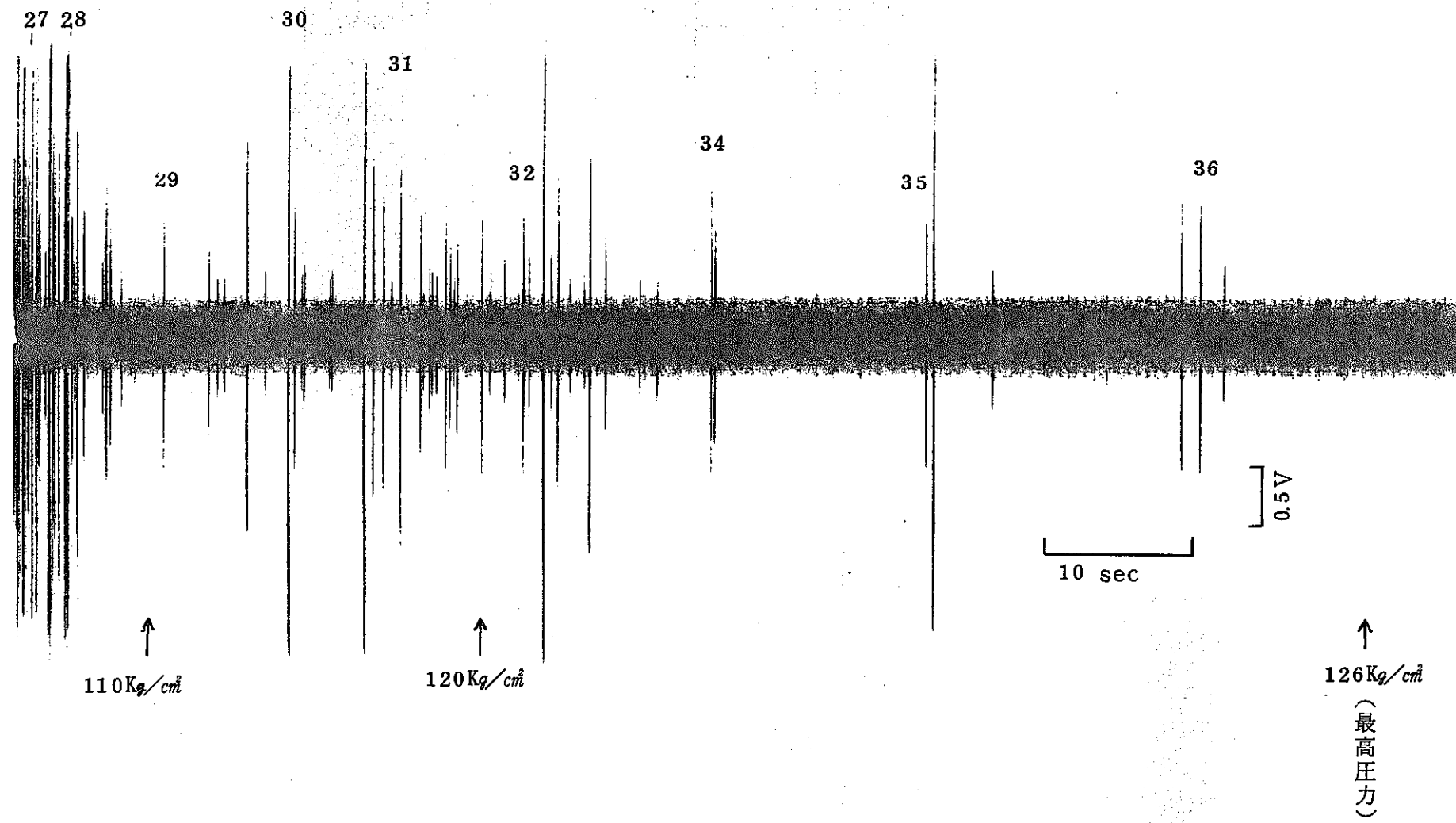


図 5-5 第1回加圧中に発生したAE信号(下端)  
5KHZハイパス

下端 № 15

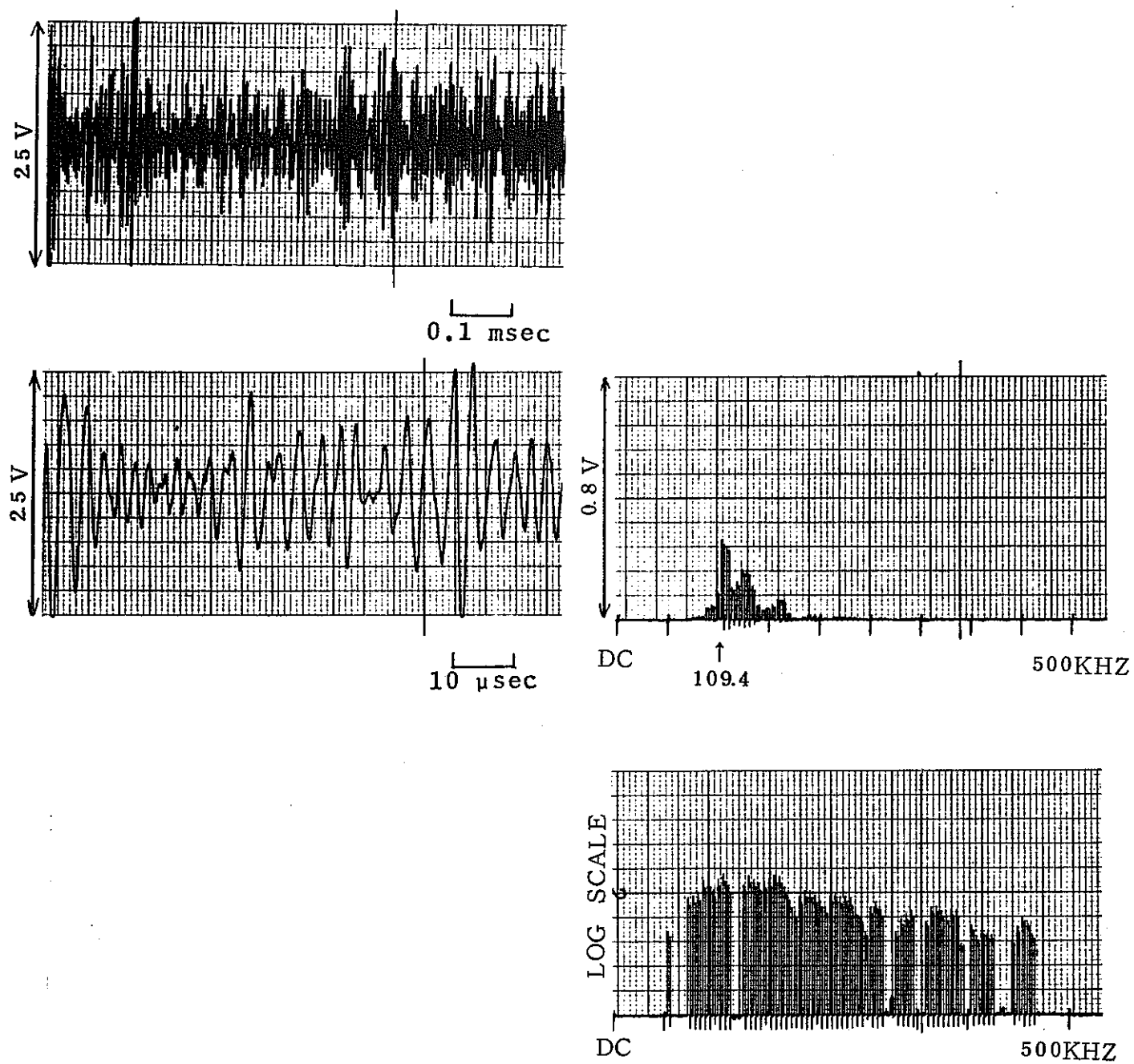


図 6 第1回加圧中AE波形とその周波数 ⑯  
(圧力 約  $23 \text{ kg/cm}^2$ )

N841-78-37

下端 № 16

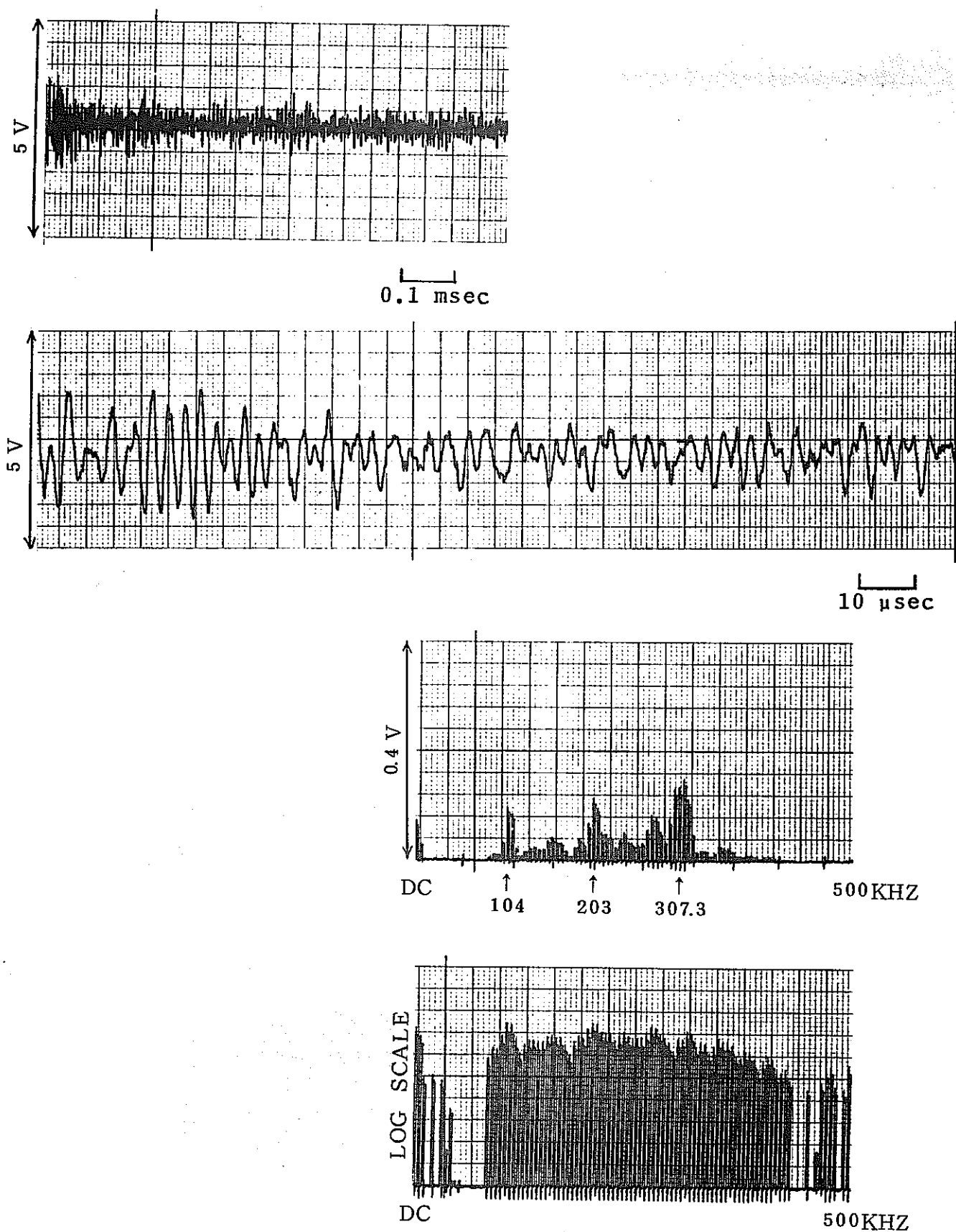


図 7 第1回加圧中AE波形とその周波数 ⑯  
(圧力 約 75 Kg/cm<sup>2</sup>)

N841-78-37

下端 No 22

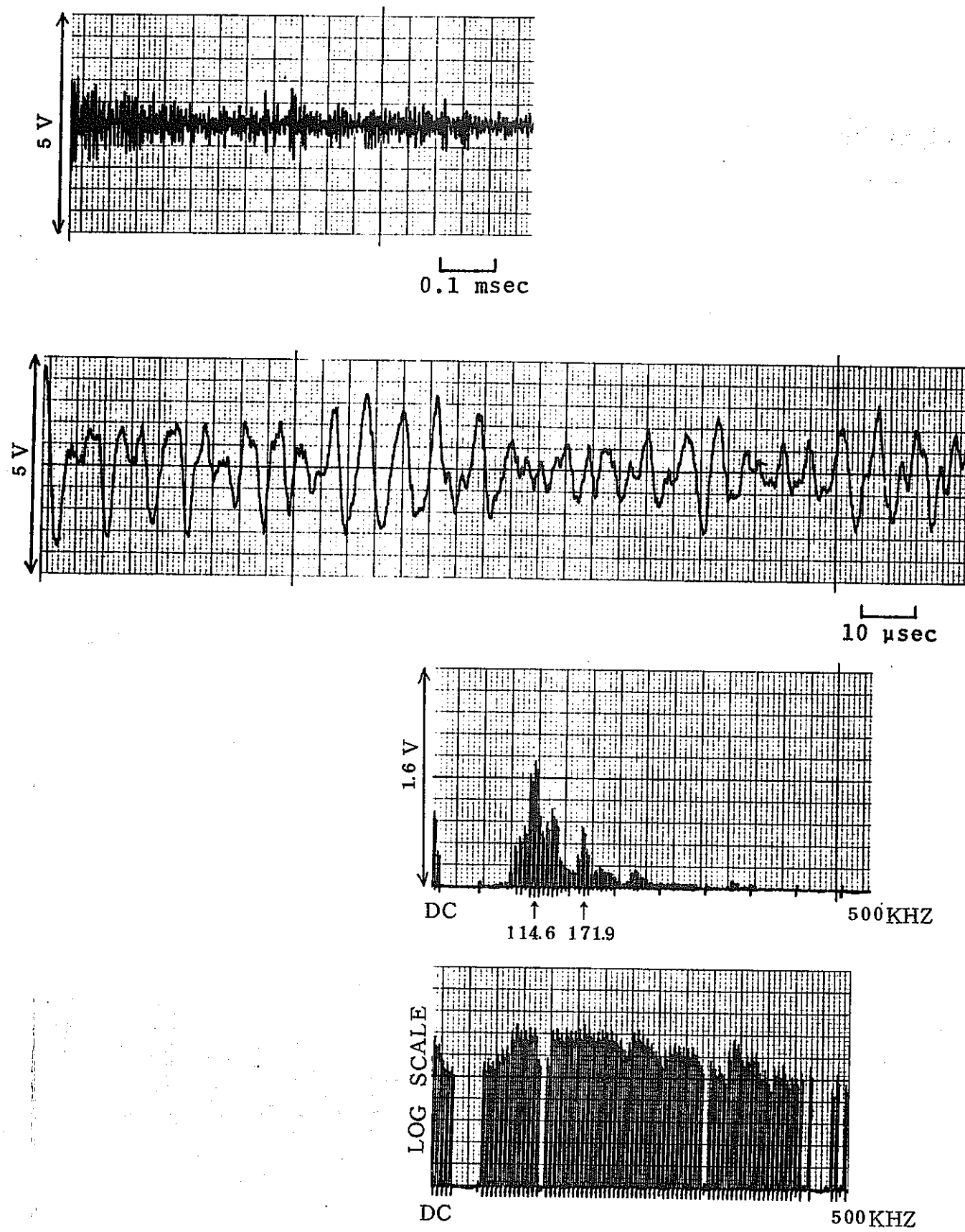


図 8 第1回加圧中AE波形とその周波数②  
(圧力 95 kg/cm<sup>2</sup>)

N 841-78-37

下端 № 26

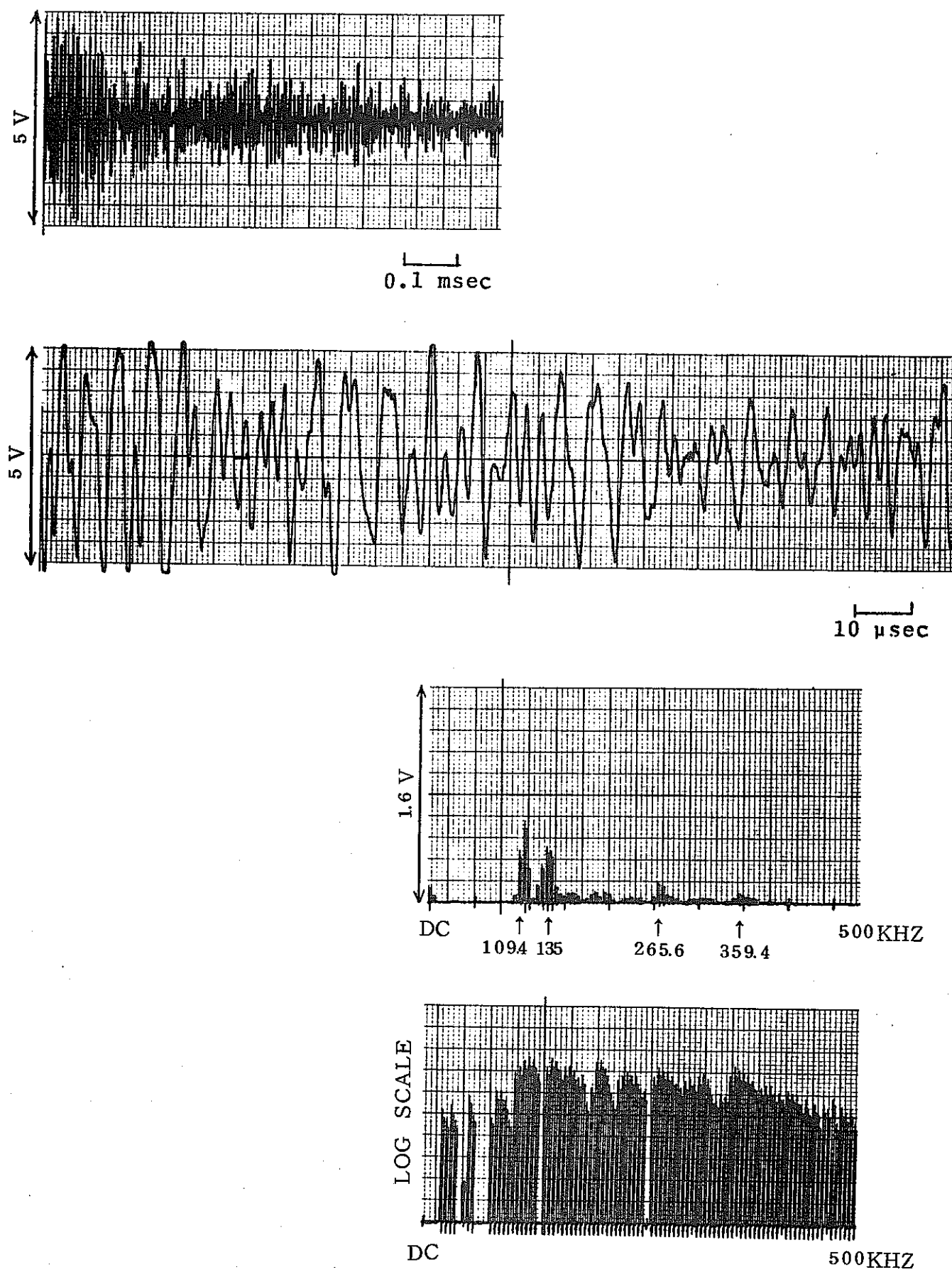


図9 第1回加圧中AE波形とその周波数②

(圧力  $105 \text{ Kg/cm}^2$ )

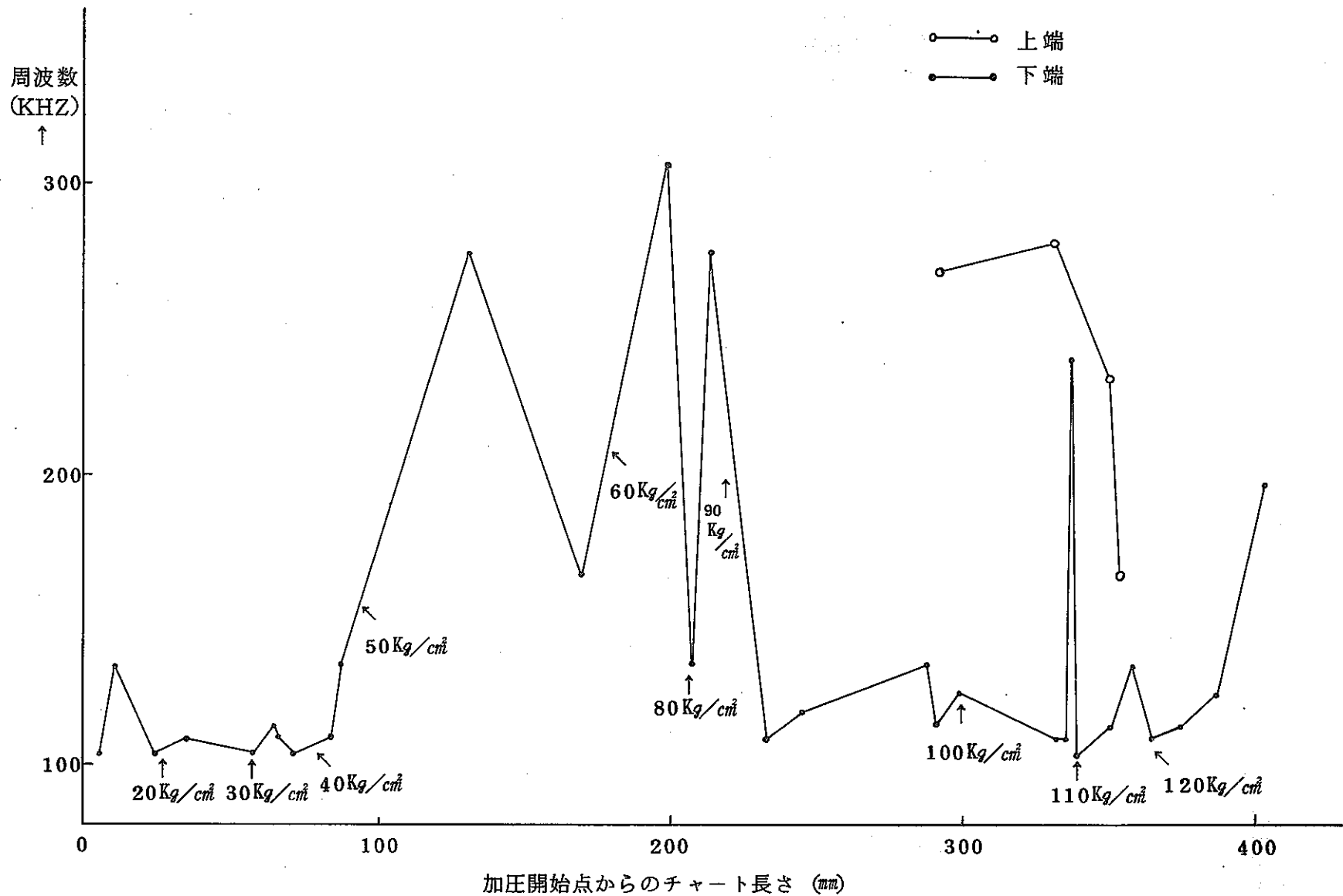
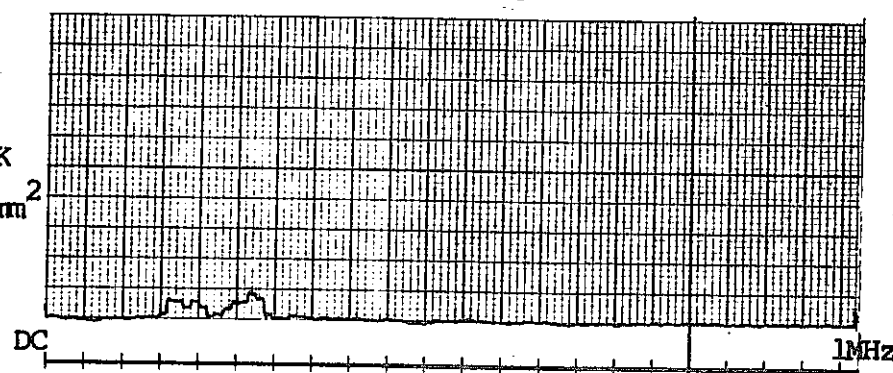


図10 最大ピーク周波数とチャート長さ及び圧力との関係  
(上端データ(白丸で示す)は、3.1.2.2で説明される)

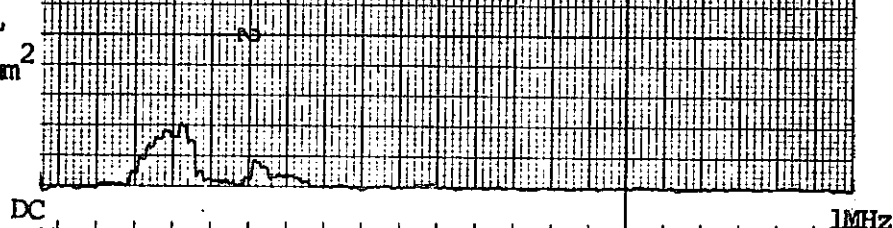
N 841-78-37

# SEN-M-9

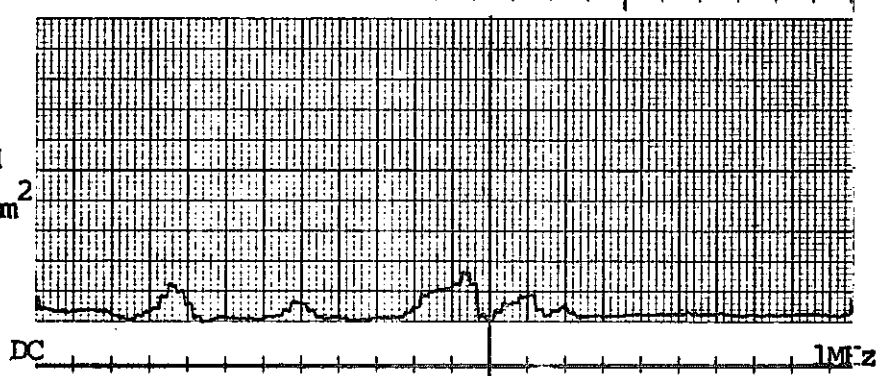
K  
18.66 Kg/mm<sup>2</sup>



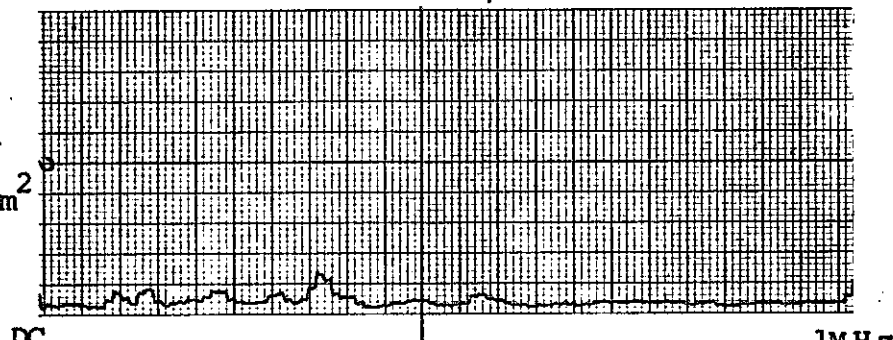
L  
19.46 Kg/mm<sup>2</sup>



M  
23.35 Kg/mm<sup>2</sup>



N  
24.50 Kg/mm<sup>2</sup>



O  
Failure

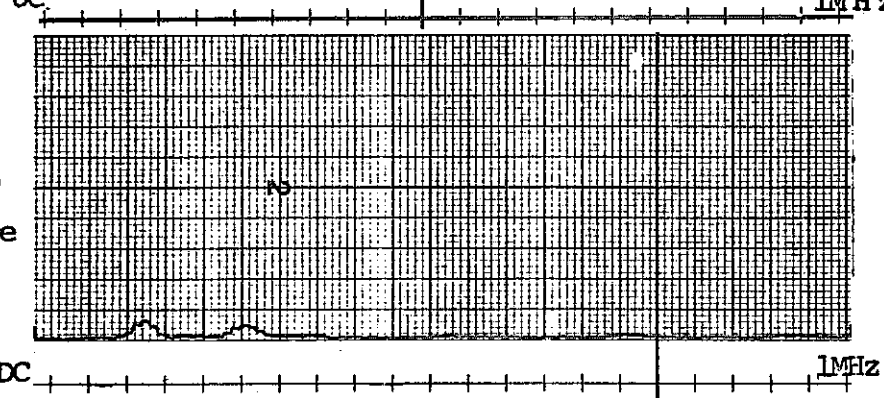


Fig 11. AE signal power spectrum.

N 841-78-37

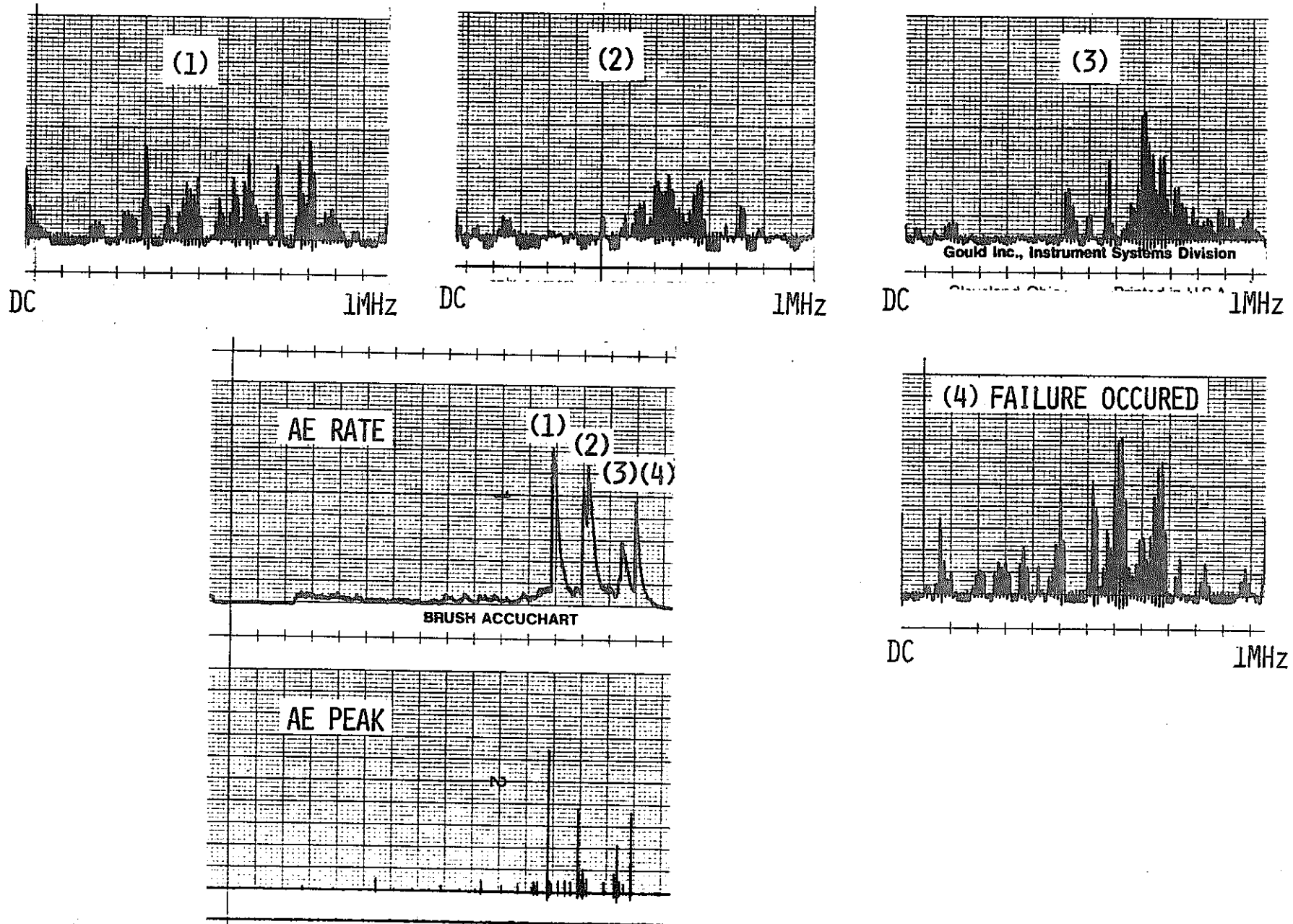


図 12 POWER SPECTRA DURING TENSION TEST  
FOR HYDRIDED SPECIMEN  
(Zr-2-5 Nb 合金)

ついて行なった。

測定範囲は、第1回目の大きなAEバーストの前およそ $90\text{ kg/cm}^2$ の圧力まで、第1回目のAEバーストを含み第2回目のAEバースト直前まで、そして第2回目バーストを含む最大圧力到達までの3つとした。

図13～15に結果を示す。

図の横軸は96点で、3Vを示し、縦軸はその電圧での累積数に関する自由目盛である。なお、左端のハッチング域はバックグランドノイズ等に関係して累積数が非常に多くなり飽和してしまった部分で、解析にあたっては除かねばならない部分である。3枚の図の比較から図番の進むほど、すなわち圧力が増加するほど大振幅のAE信号の比率が増加する傾向のあることがわかった。

### 3.1.2 Dチャンネル上端での測定結果

#### 3.1.2.1 カウント解析

AEカウント測定は、下端からのAEについてのみ、オンラインで行なったため上端についてのカウント解析結果は、データレコーダから再生した信号をAE測定装置へ入力しオフラインで得ることにした。この場合、生の信号と再生された信号とでは振幅が異なっているためAE測定装置の増幅度を調節し、オンラインで採取したカウントデータとほぼ同じレベルの出力が得られるような条件で測定を行なった。

図16に再生結果を示す。チャートが長くなったので、2つに分割して示した。また、比較が容易にできるように上段には下端から得たAEカウント率のデータレコーダ再生結果を示した。図より明らかなように、上端におけるAE発生はごく少なく、また下端から発生したAEと対応できる信号も見当らなかった。しかし、下端でのAEと同様に圧力が高くなるとAEの発生も増加するようであった。

今回の測定において上・下端で同時にAE測定を行なったのは管の軸方向に沿ったAE発生の位置標定に関する実験を目的としたためであったが、9mを越える全長についてのAE伝播はほとんど起らず当初の目的を達成することができなかった。これは、伝播経路が非常に長いこと及び、加圧媒体としての水の影響等が原因しているものと考えられる。ちなみに、加圧に先立って行った測定系統のチェックで、注水前後での模擬音変動を調べた結果からも水の存在による信号振幅の減少が見つかっている。

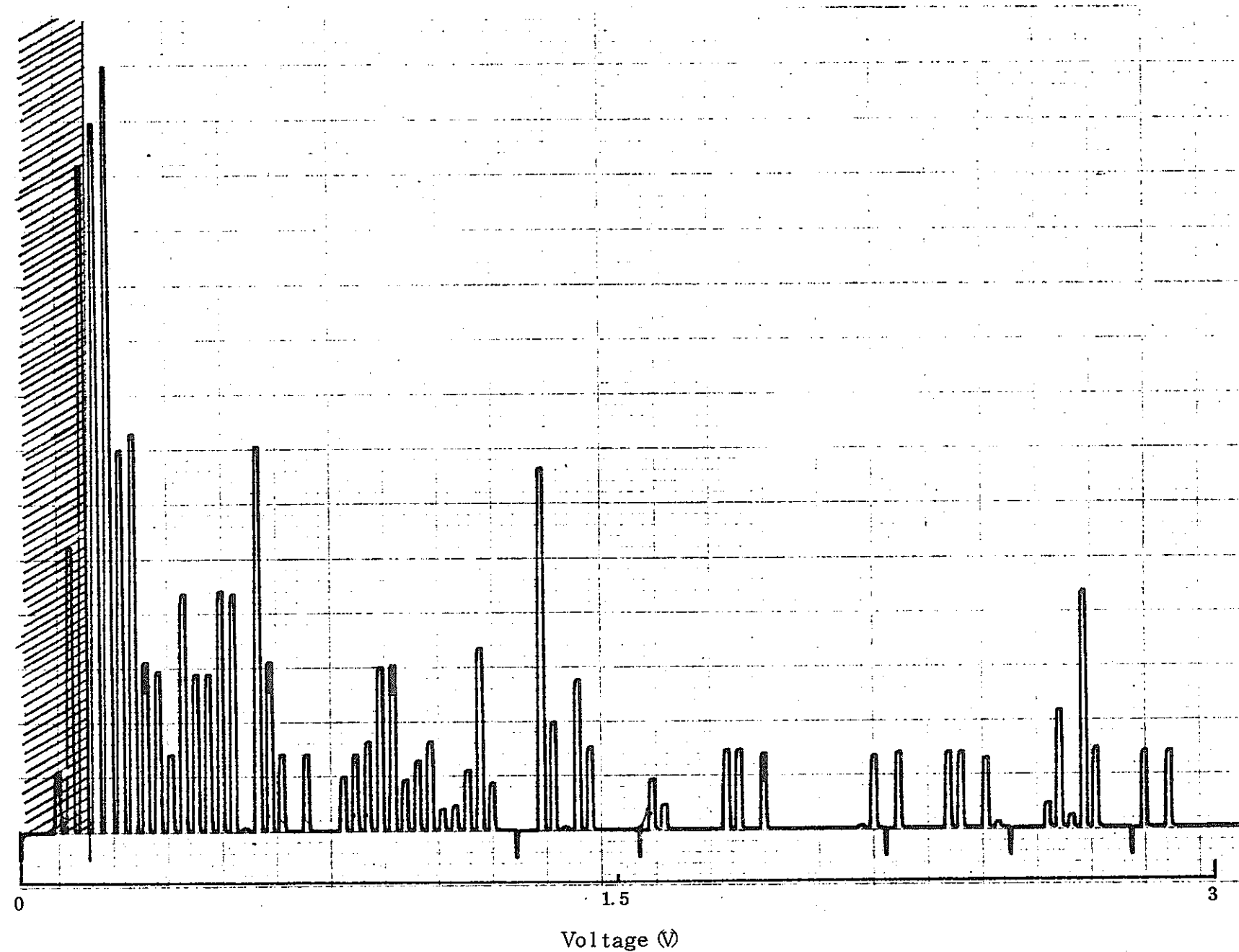


Fig 13 AE Signal ampritude distributiuon  
(Start to 90 Kg/cm<sup>2</sup>)

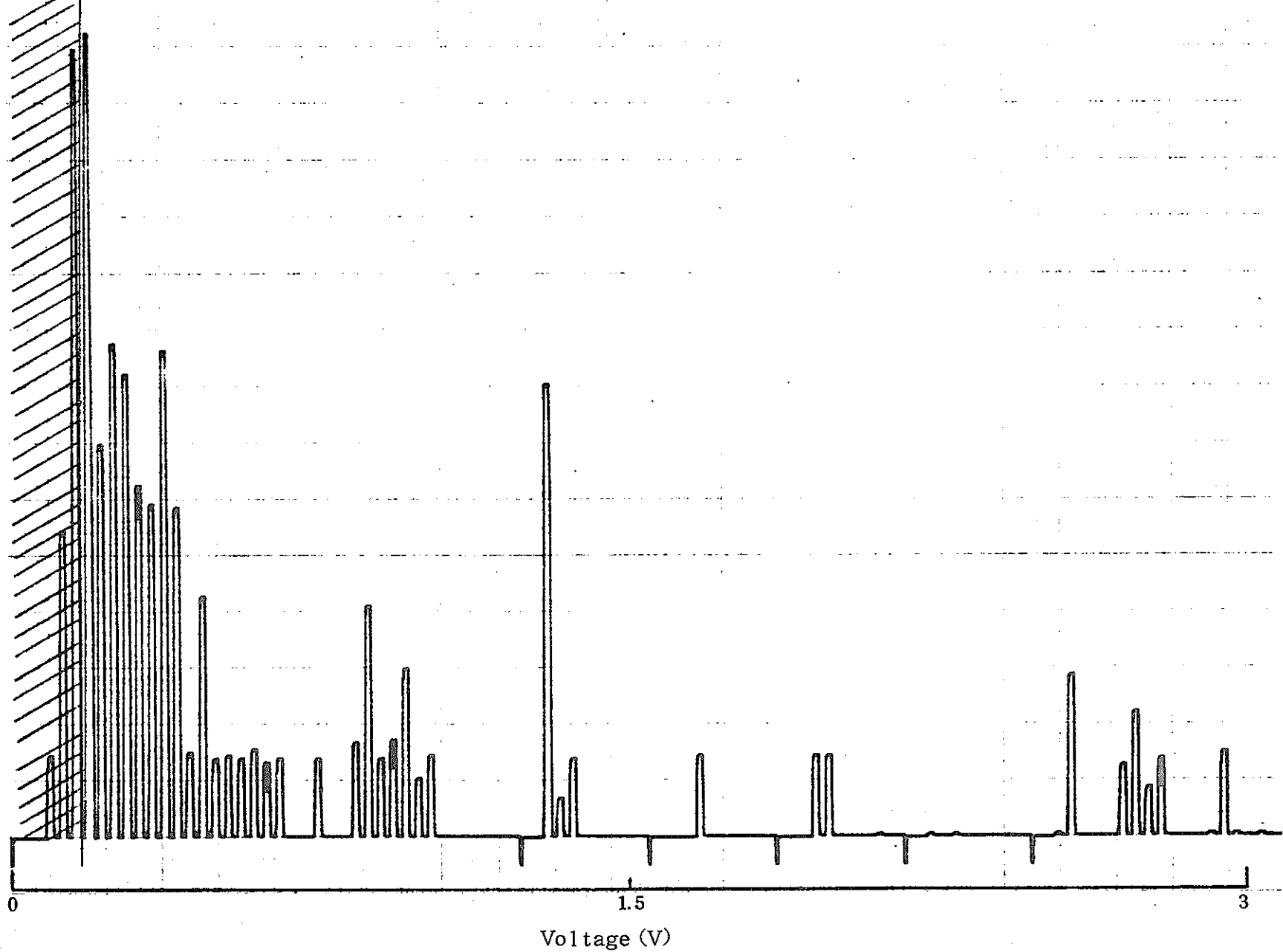


Fig 14 AE Signal ampritude distributiuon  
( $90 \text{ Kg/cm}^2$  to  $100 \text{ Kg/cm}^2$ )

N841-78-37

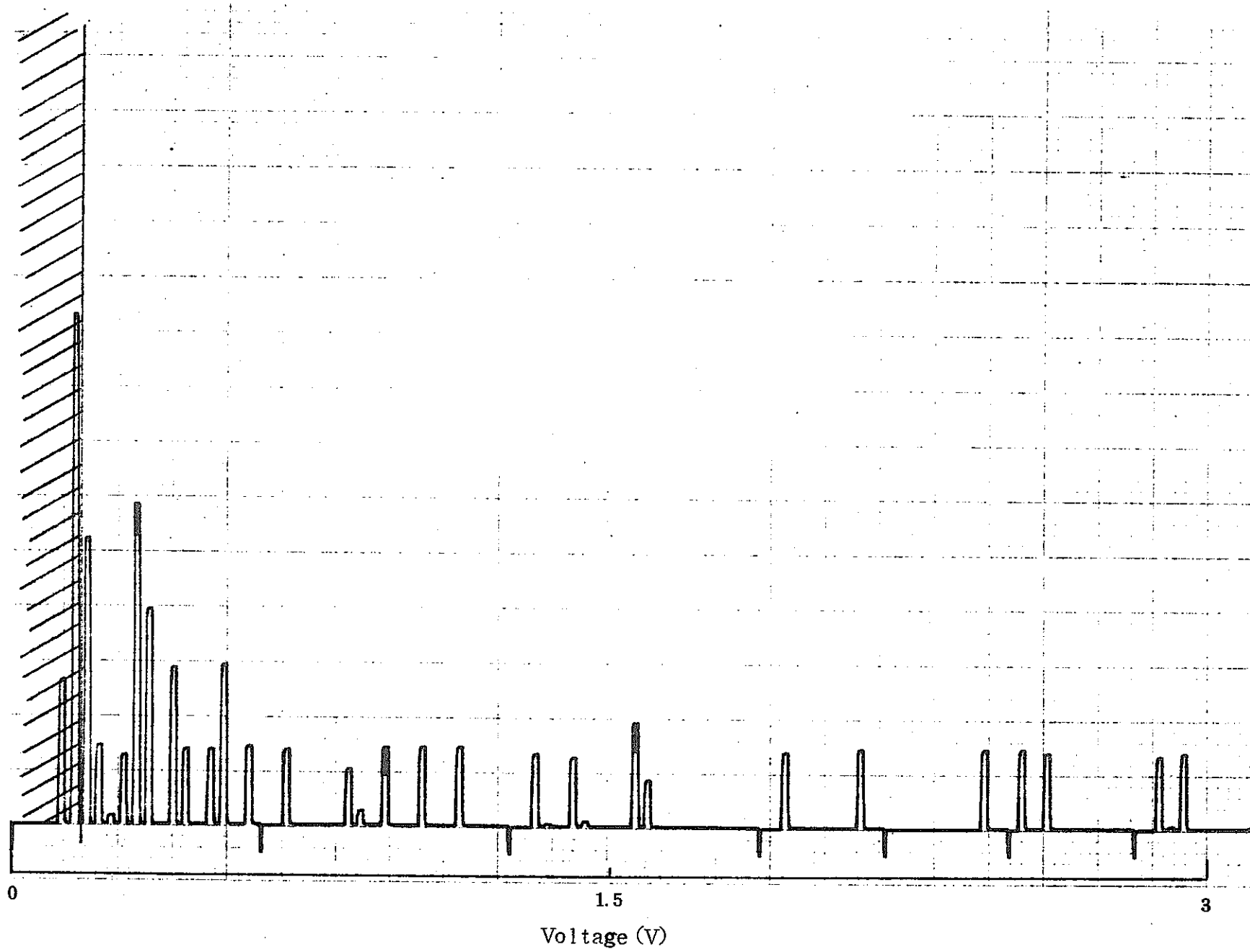


Fig 15 AE Signal amplitude distribution  
( $100\text{Kg/cm}^2$  to max pressure)

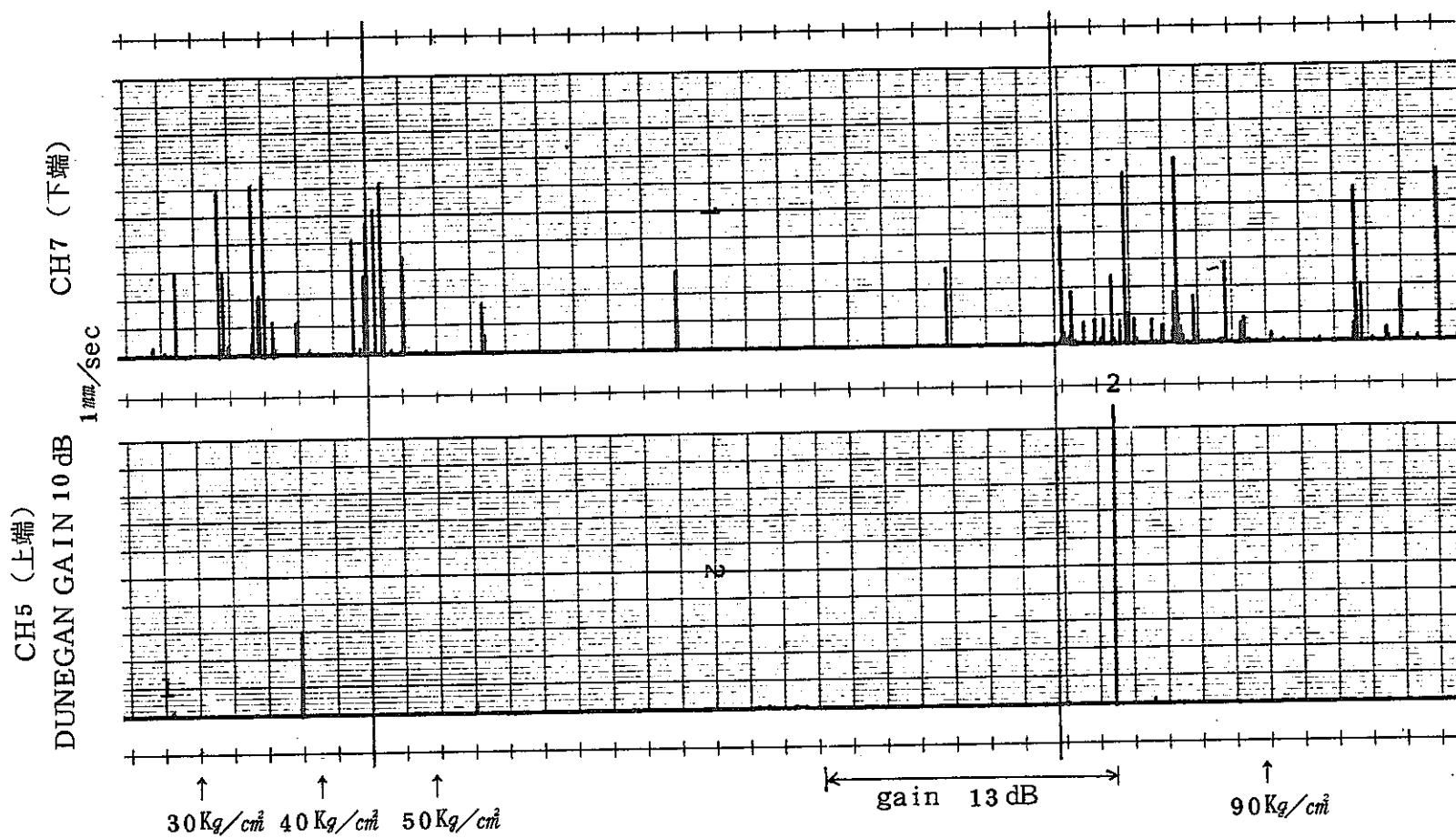


図 16-1 第1回加圧中AE測定結果（上端）

上段 比較のため再生した下端で測定されたカウント率（0.1 sec リセット）

下段 上端で測定されたカウント率（0.1 sec リセット）

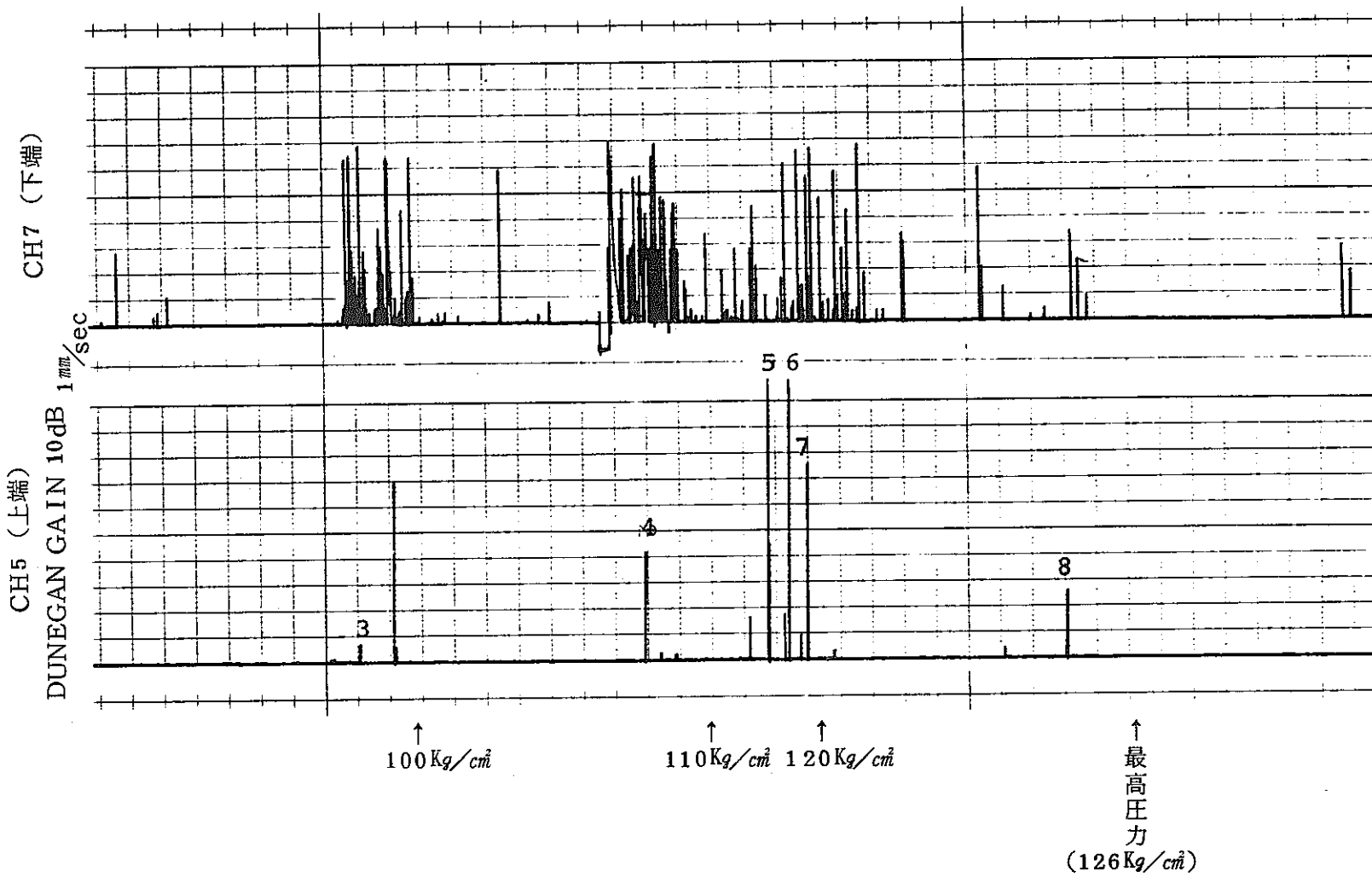


図 16-2 第1回加圧中 AE 測定結果（上端）

上段 比較のため再生した下端で測定されたカウント率（0.1 sec リセット）  
 下段 上端で測定されたカウント率（0.1 sec リセット）

表1にその例を示す。

表1 注水前後での模擬音源振幅

発振子	D/E S9201		
受信子	NORTEC D-Z-210		
注水前	注水後		
ノイズ振幅 (P-P)	信号振幅 (P-P)	ノイズ振幅 (P-P)	信号振幅 (P-P)
1.1 V	14 V	1 V	12 V

### 3.1.2.2 波形及び周波数分析

図17に第1回目加圧中に上端で得られたAE信号の波形及び周波数分析結果例を示す。

3.1.2.1でも述べたように上端で測定されたAEの数は極めて少なかったので、ほとんどのAEについて分析を行うことができた。しかし、ここでは代表例についてのみ示し、残りはAppendixに収容した。

図より明らかなように、下端からのAEに比べ非常に長いリングと比較的高い最大ピーク周波数を示した。リングが長すぎたためバックグラウンドノイズを、測つているのではないかとの懸念があったのでAE発生のなかった時点についてノイズ波形の再生を行い図17等と比較した。

図18に、バックグラウンドノイズの再生結果を示す。

図より明らかなようにAE信号とは全く異なる信号レベルと形態を示し、今回の測定が間違いなくAEについてなされたものであることが確認された。

AEの数そのものが少なかったため充分な比較はできなかつたが、3.1.1.2で行ったと同様な最大ピーク周波数についての整理を行つた。しかし、プロットする数が少なかつたため図10の内に下端からのデータと重ねてプロットした。図10での比較から明らかに上端で発生したAEの最大ピーク周波数は下端でのそれに比べかなり高いものであった。前述したように上端・下端といつても実際にAEの発生した位置がわからぬいため、これら周波数の相異の原因を明らかにすることはできなかつた。

### 3.1.2.3 原波形の全体再生

波形確認のため高速レコーダにより、データレコーダに記録されている第1回目加圧中に発生したAE信号を記録した。その結果を図19に示す。

記録時間が長かったため、数枚に分割して示した。

上端 № 3

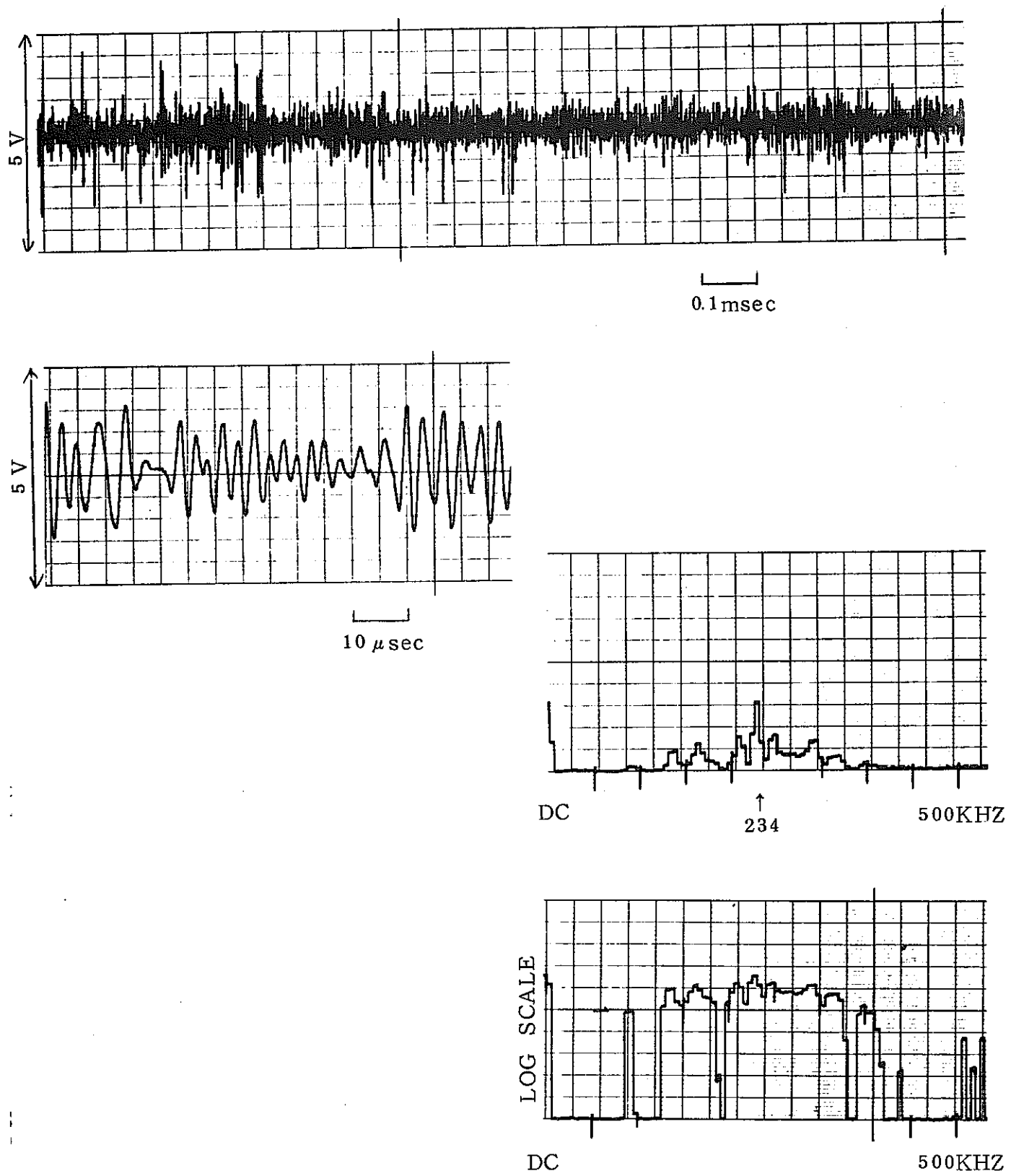


図 17 上端で測定された AE 信号波形 ③  
とその周波数分布

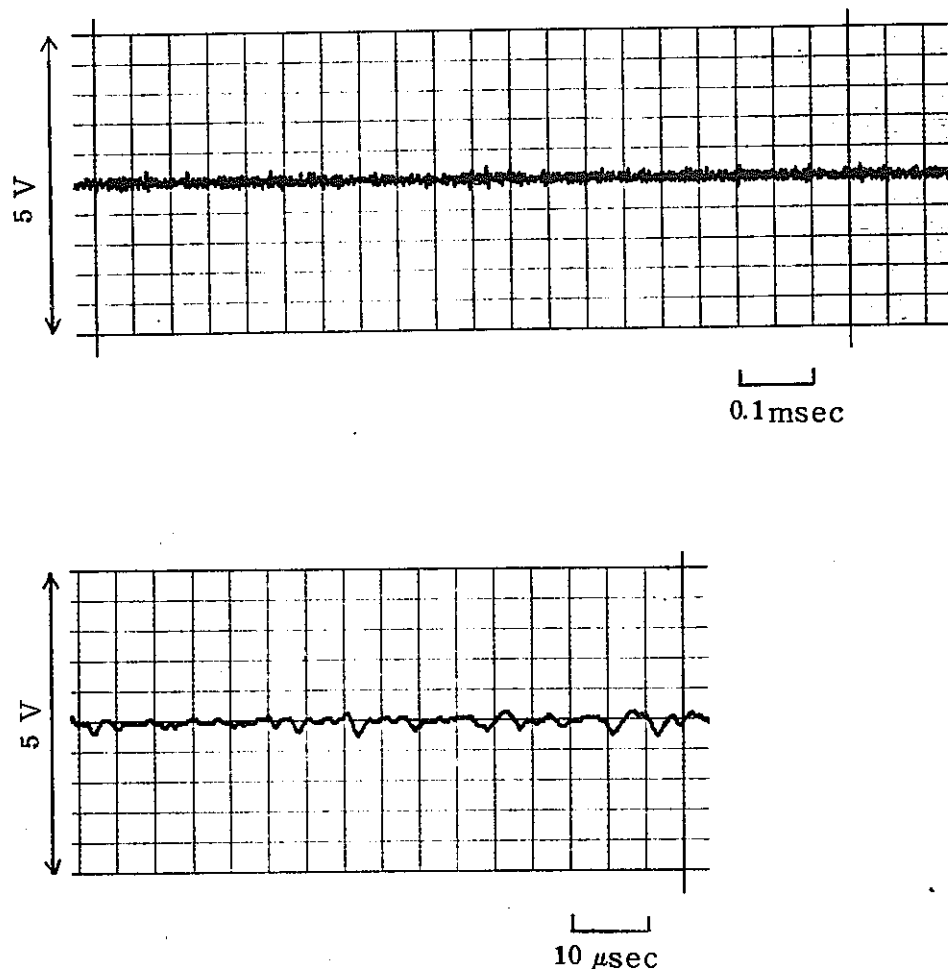


図 18 上端におけるバックグラウンドノイズ波形

図より明らかなように、全部がバースト型波形を示していた。また、ベースレベルが下端からの再生データ（図 12）に比べ小さいけれども、これは両測定個所における A E 現象の相異ではなく、むしろ使用した A E センサおよびデータレコーダのチャンネル間の特性に基いていると考えられる。高速レコーダの特徴を生かして、ここでもう一度個々の波形を再生し、上下端からの A E 信号を夫々比較した。

図 20 にその結果を示す。

記録された A E 信号は、第 1 回目加圧で  $120 \text{ Kg/cm}^2$  付近の圧力において発生したものである。リンクングの長さを比較するにはピークレベルを揃える必要があるため、ピークレベルがほぼ同じ信号を選び出し比較を行なった。図より明らかなように、上端からの A E のリンクングは、ほぼ同時期に発生した下端からのそれに比べ非常に長かった。これは、A E の発生原因が異なるというよりむしろ、上端での A E が、かなりの距離を伝播して来たため波形がなまつたものと考えるほうが自然である。

このような仮定にたつと、この A E はバースト型であり、また周波数も比較的高いことから、上端での A E は、センサ位置からおよそ  $1.64 \text{ m}$  のところにあるロールジョイントの機械的な変化が原因している可能性が考えられる。

### 3.2 第 2 回目加圧試験結果

#### 3.2.1 D チャンネル下端での測定結果

##### 3.2.1.1 カウント解析

図 21 に第 2 回目加圧試験時の A E 測定結果を示す。

図より明らかなように圧力が  $120 \text{ Kg/cm}^2$  を越えるあたりまで A E の発生はほとんど見られず、カイザー効果のようなものが表れたと考えられる。 $130 \text{ Kg/cm}^2$  を越えたところでポンプから漏れが発生し、その処置のため一時加圧を停止しなければならなかつた。

しかし、加圧の停止期間中 A E の発生は起つていなかつた。圧力が  $130 \text{ Kg/cm}^2$  を少し越えたところで非常に大きな A E の発生が起つた。原因が不明であったので、不必要的破壊をさける意味で、ただちに降圧に移つた。

この期間の A E は、それまで発生していた A E に比べ格段に大きな振幅と密度を持っていた。そのため、A E 測定装置は飽和てしまい、途中でカウンタレンジを変更しなければならなかつた。

##### 3.2.1.2 原波形の全体再生及び周波数分析

図 22 に高速レコーダによる、全体再生の結果を示す。

図 21 から、 $110 \text{ Kg/cm}^2$  の圧力まで A E の発生がなかったことが明らかであったため、ここでは  $110 \text{ Kg/cm}^2$  以上の圧力についてのみ示した。

N841-78-37

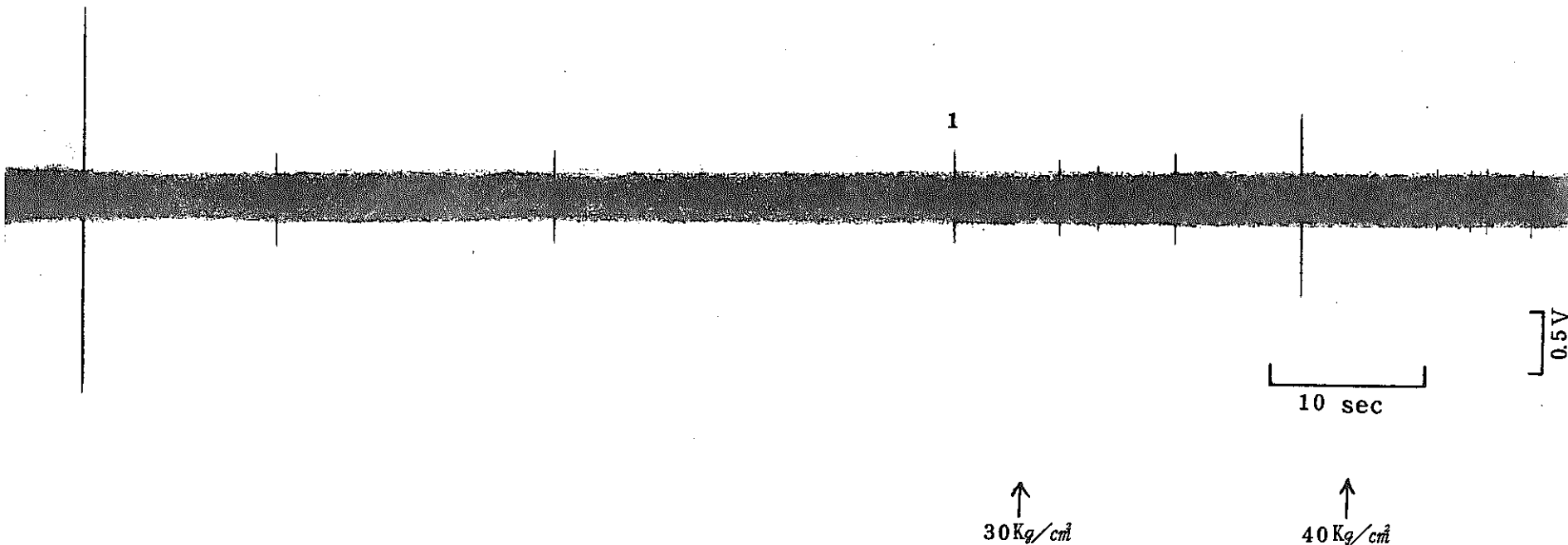


図 19-1 第1回目加圧中に発生したAE信号（下端）  
5 KHZ ハイパス

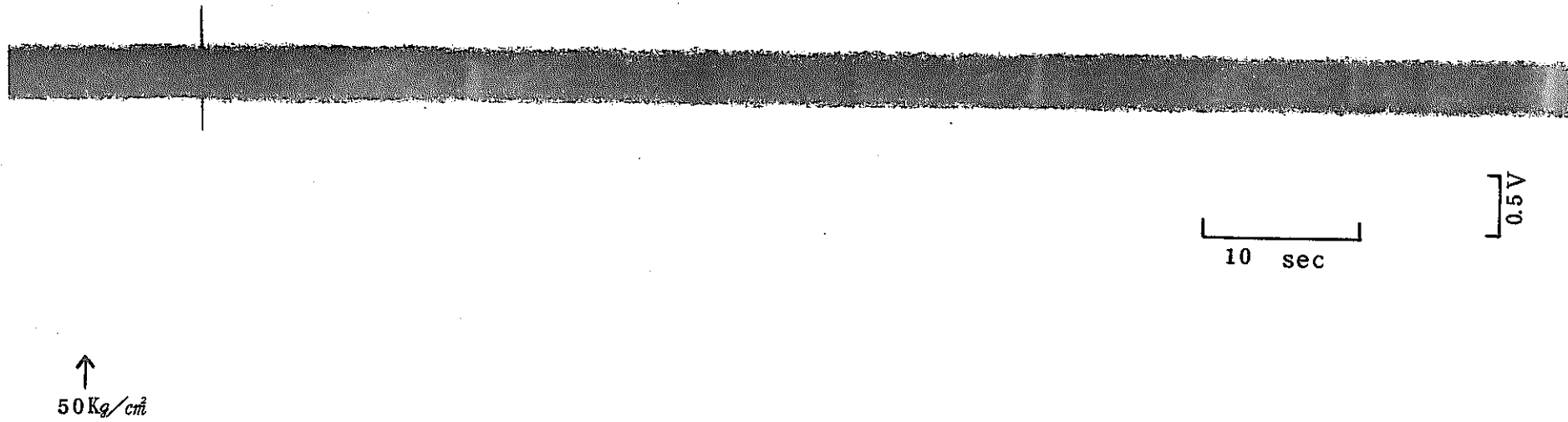


図 19-2 第1回目加圧中に発生したAE信号（上端）  
5KHZ ハイパス

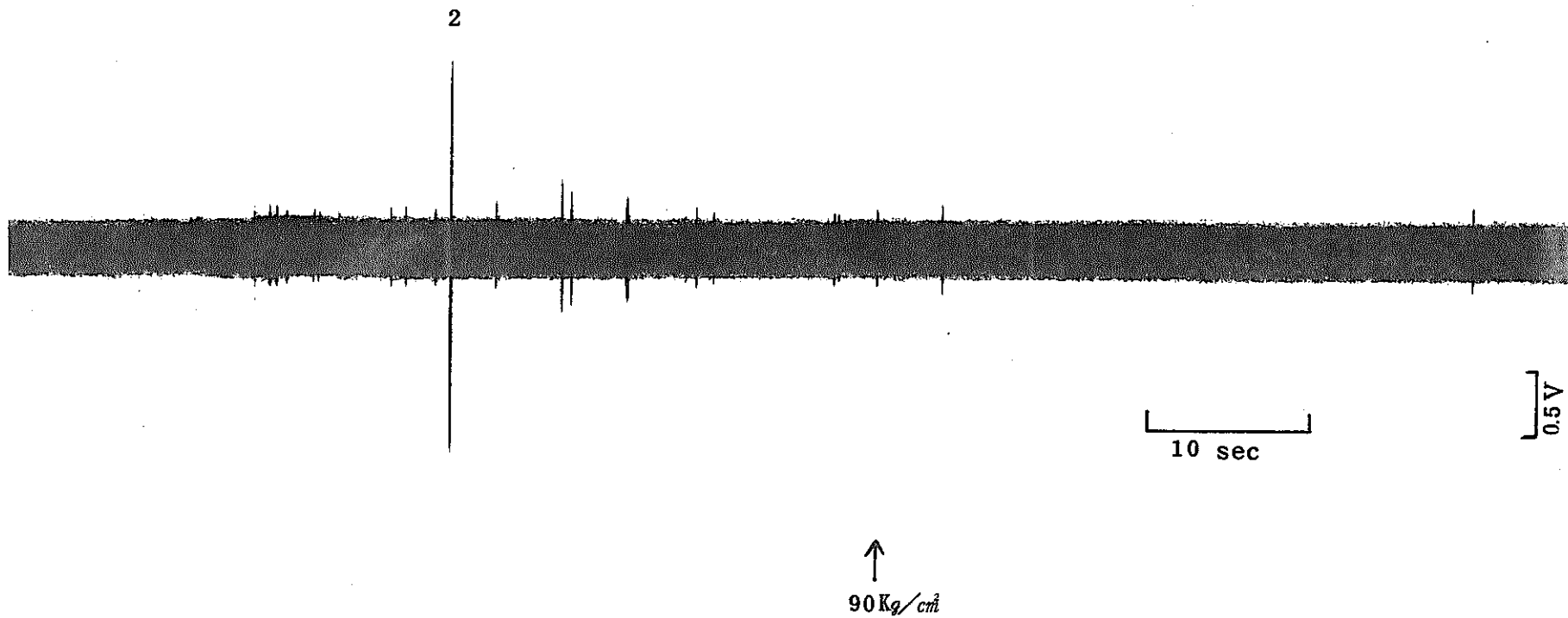


図 19-3 第1回目加圧中に発生したAE信号（上端）  
5 KHZ ハイパス

N841-78-37

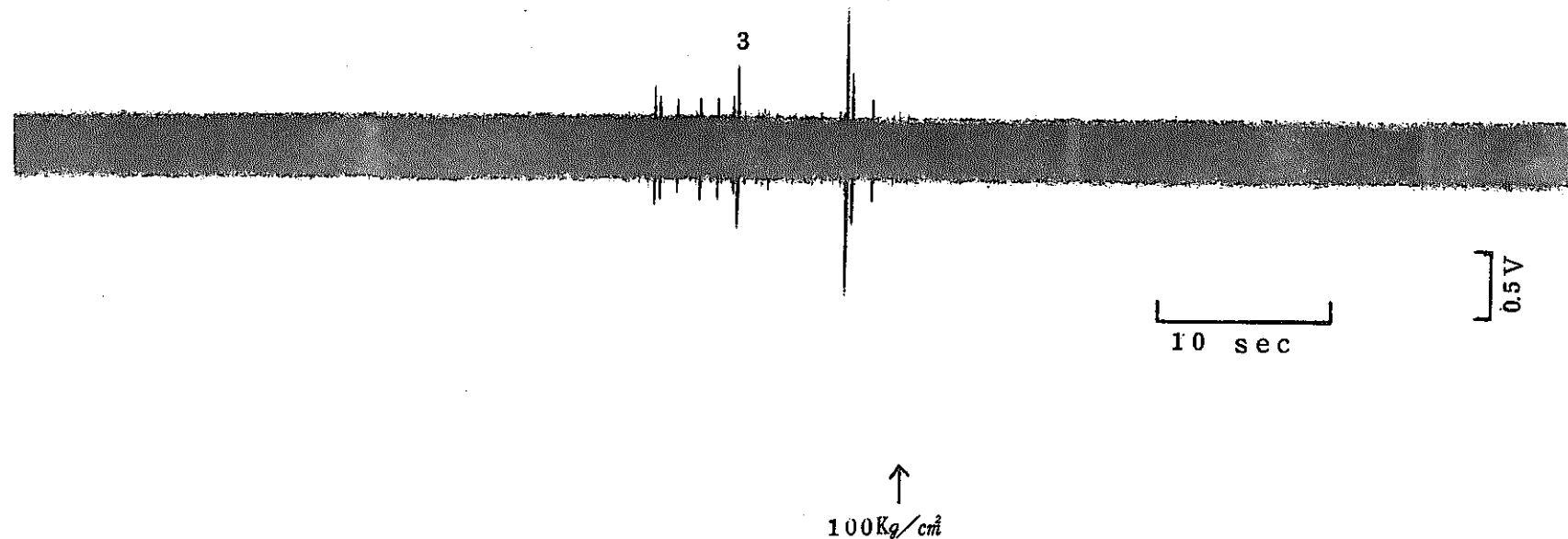


図 19-4 第1回目加圧中に発生したAE信号（上端）  
5KHZハイパス

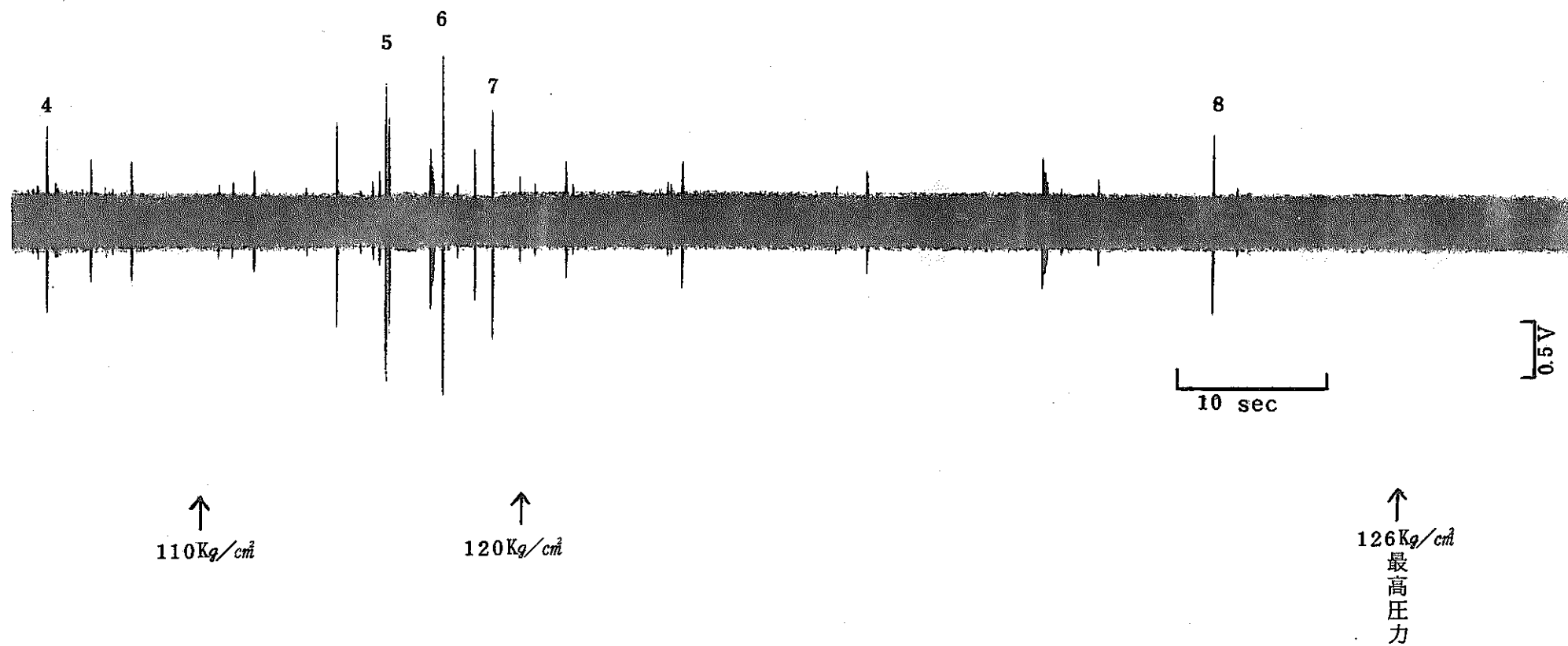


図 19-5 第1回目加圧中に発生したAE信号（上端）  
5 KHZ ハイパス

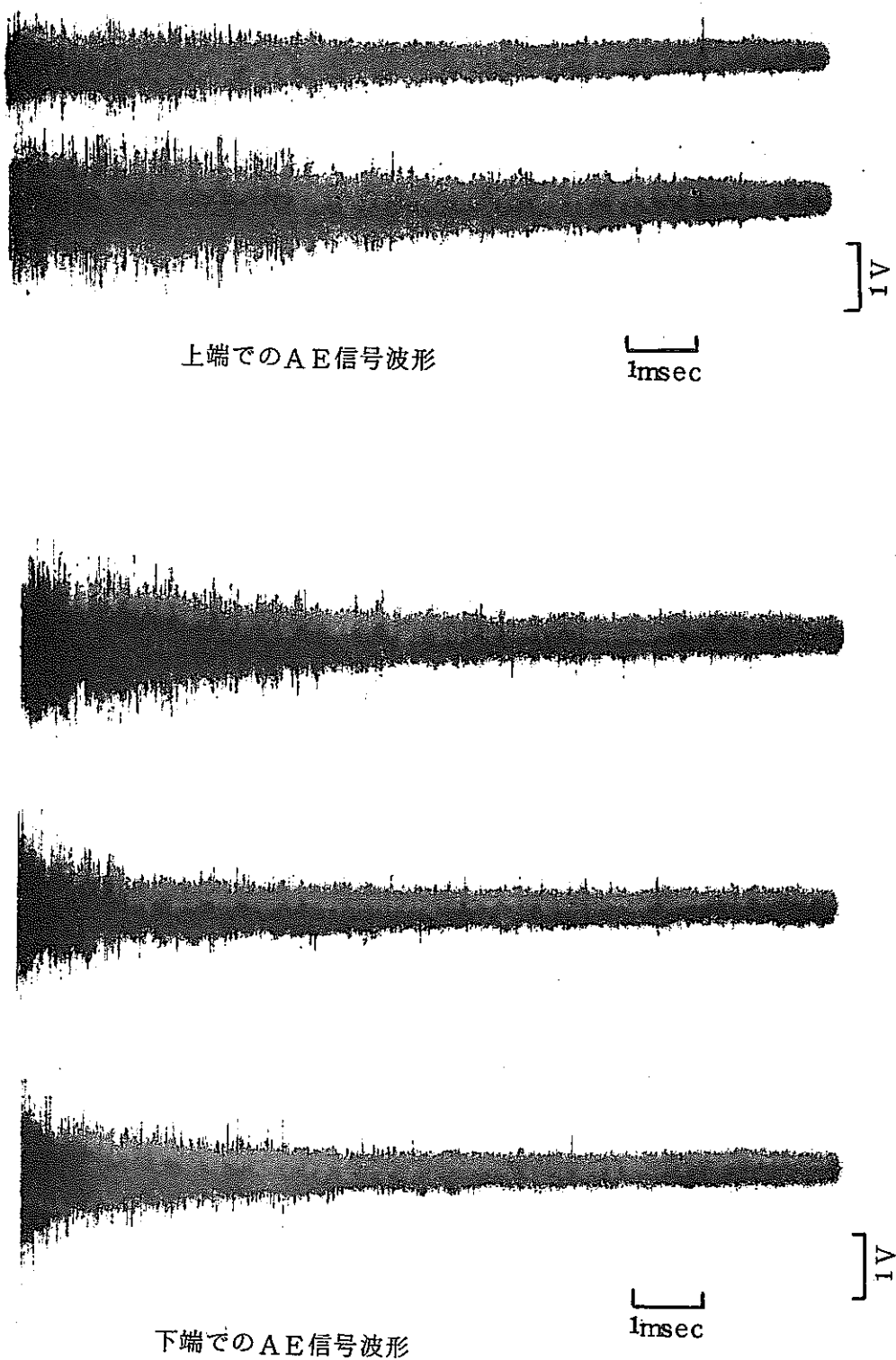


図20 上・下端夫々で発生したAE信号のリングング比較

紙送り  $10 \text{ cm/sec}$ , 縦 軸  $1\text{V/cm}$

横 軸  $1\text{msec/cm}$ , 漚 度 5.0

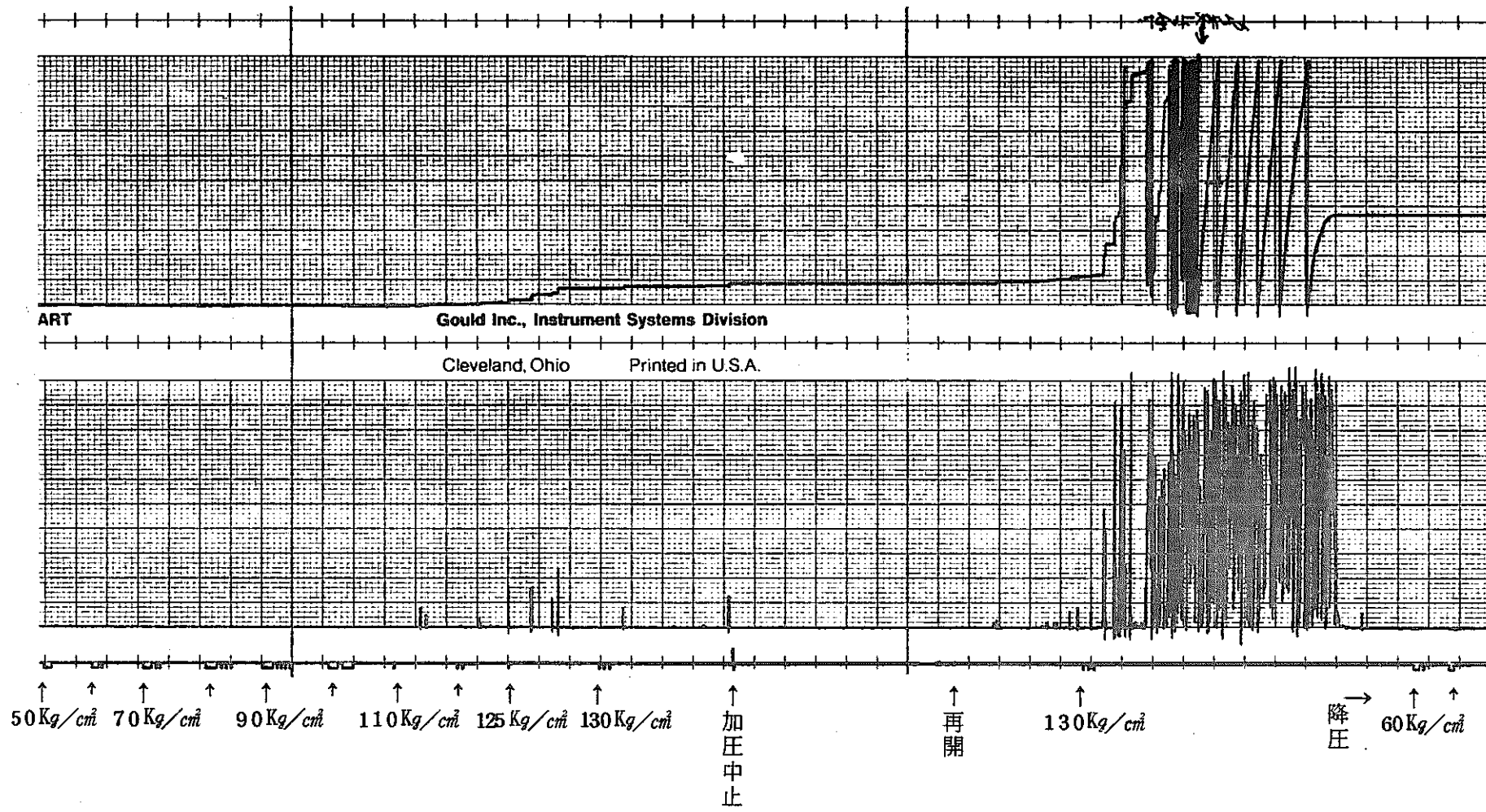
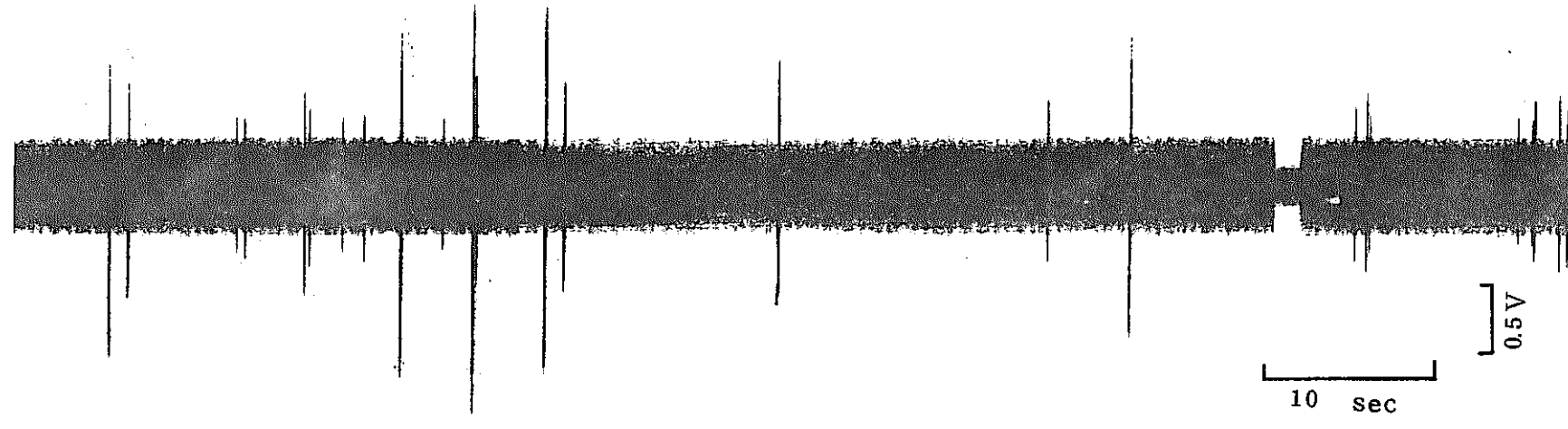


図 21 第2回目加圧中AE測定結果（下端）

上段 累積カウント

下段 カウント率 (0.1 sec リセット)



110  $\text{kg}/\text{cm}^2$       120  $\text{kg}/\text{cm}^2$       125  $\text{kg}/\text{cm}^2$       130  $\text{kg}/\text{cm}^2$       Pause

図 22-1 第2回目加圧中に発生したAE信号（下端）  
5KHZ ハイパス

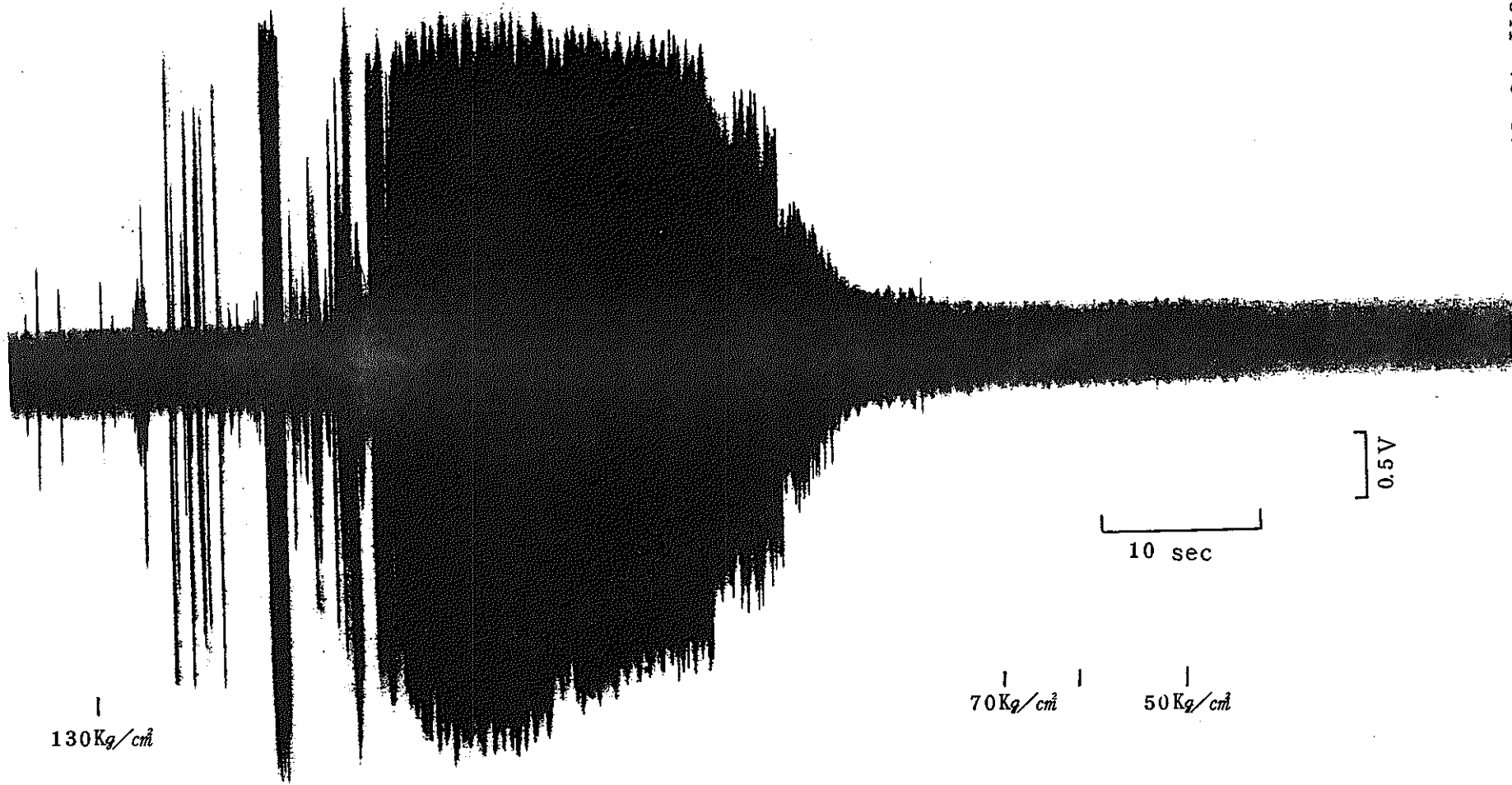


図 22-2 第2回目加圧中に発生したAE信号（下端）  
5 KHZ ハイパス

また、高速レコーダはオシログラフペーパを記録用紙としているため比較的低いコントラストしか得られず、印刷に際して不利である。そこで今回は原図を一度電子複写し、トレース及び切り抜きによって、コントラストの良い図面が得られるようにした。

図に、Pauseとあるのは測定の都合で昇圧およびデータレコードを中断したことを示すものである。この中断期間中に漏れなどが原因して、圧力がわずかに低下したため、昇圧が再開されてからまもなく、もう一度  $130 \text{ Kg/cm}^2$  の表示が表れている。

図より明らかなように、第1回目加圧時の最高圧付近である  $125 \text{ Kg/cm}^2$  までは、AEの発生は少なかったがその圧力を越えたあたりから大きな振幅を持ったAEの発生が見られた。この時期のAEは、第1回目加圧時に得られたものとあまり変わらないバースト型であった。圧力が  $130 \text{ Kg/cm}^2$  に到達してからまもなく、大振幅のバースト型AEが発生し、続いて大量のAE発生が起った。このAEは、それまでに発生していたバースト型とは著しく異なった形態を示しており、図22の検討及び測定時のシンクロスコープ観察から連続型であることが明らかとなった。

実験そのものは、この大発生が見られるとすぐ中断され、ただちに降圧操作に移ったが降圧の初めも、しばらくは連続型AEの発生が続いていた。しかし、何  $\text{Kg/cm}^2$  の圧力まで連続型AEの発生が続いたか確認することはできなかった。

一般に、このような連続型のAE発生はリーク等に伴って見られるため、どこかでわずかな漏水が起っているのだろうと考え、周囲のバルブの確認、フランジの観察等を行なったが、この段階では明らかにすることはできなかった。この連続型AE発生期間に相当するAEの周波数分析を行なった。

図23にその結果を示す。

上段は、リニヤスケールで下段はログスケールで表した結果である。図より明らかなように最大ピーク周波数は、 $276 \text{ KHZ}$  であり第1回目加圧時に得られた信号と比較すると、最大ピークが高い周波数側に寄っている傾向を示した。しかし、このような特徴がリーク特有のものかどうかは周波数分析の結果だけからは判定することはできなかった。<sup>(3)</sup>しかし、後述されるように再現加圧におけるリーク音のスペクトルは、ほぼ同一の周波数にピークを持つという特徴を示していた。

### 3.2.2 Dチャンネル上端での測定結果

#### 3.2.2.1 カウント解析

図24に第2回加圧中に得られたAEのカウント解析結果を示す。

3.1.2.1で述べたと同様に上段が比較を容易にするため併記した下端から得られたAEのカウント率で、下段が上端から得られたAEのカウント率である。

図より明らかなように上端において、AEはほとんどキャッチできず、わずかに数パ

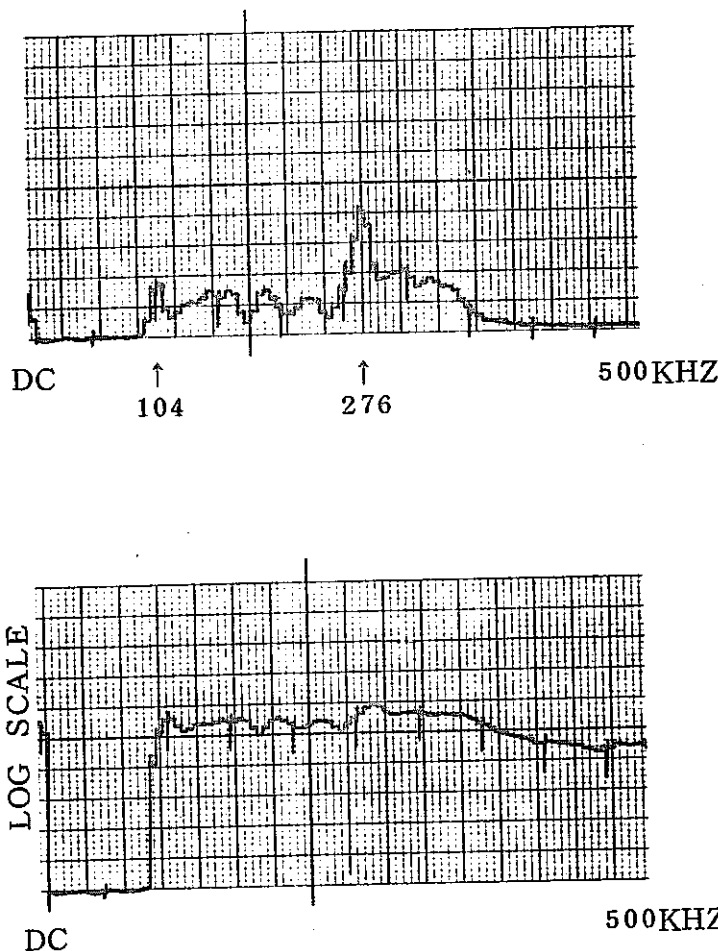


図 23 第2回目加圧中に下端で得られた  
連続型A-E信号のパワースペクトル  
データレコーダから直接解析した。

C-120 Av 8192, S.P.  $1\ \mu\text{sec}$   
Range 1V, MLT X 1  
F-120 MLT X 16  
BRUSH 20 mv/div, 1 mm/sec

N841-78-37

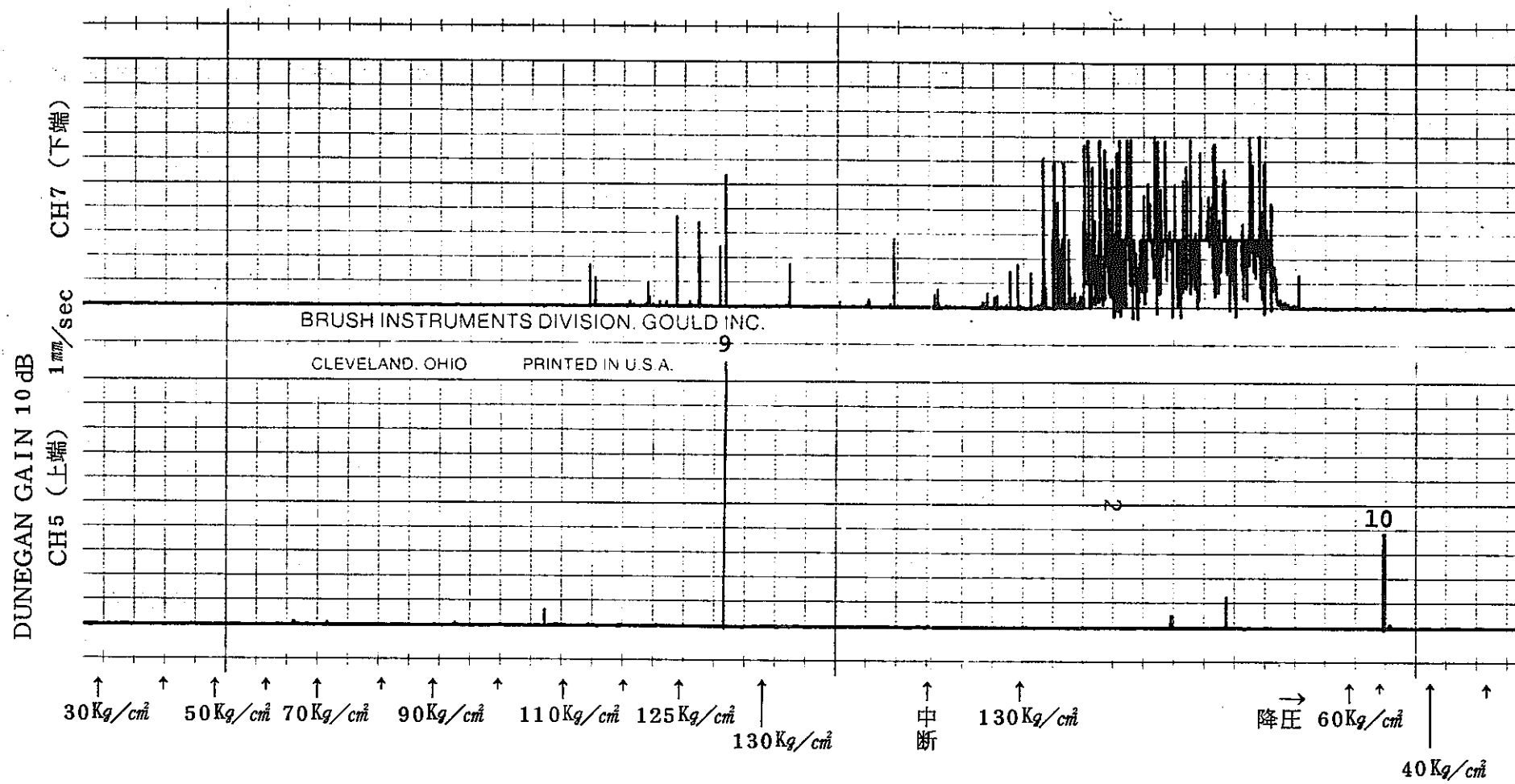


図 24 第 2 回加圧中 AE 測定結果（上端）

上段 比較のため再生した下端で測定された  
AE カウント率 (0.1 sec リセット)

下段 上端で測定された AE カウント率 (0.1 sec リセット)

ルスを数えるのみであった。しかも前に説明したリークによると考えられる極めて大振幅の連続型AEが下端のセンサでキャッチされているにもかかわらず上端ではカウントされていなかった。このことから、今回の再生での測定装置ゲインの問題もからんでいるが9.5mの内部に水を張ったATR圧力管等の模擬構造は、その全長にわたって振幅レベルの小さなAEを伝播させることはほとんど出来ないのでないかと考えられる。

しかし、どれほどの長さまで伝播可能かという問題については、適当な模擬音源を用いて伝播距離をパラメータとした実験を行わねば解決しないことであり、保温材に囲まれたDチャンネルでは明らかにすることができなかった。

### 3.2.2.2 原波形の全体再生

図25にDチャンネル上端で採取されたAE信号の原波形を高速レコーダにより再生した結果を示す。図より明らかなように、第2回目加圧の最高圧力までバースト型AEの発生であった。しかし、かなり小さなレベルの信号を含めて考えても、その発生数は非常に少なかった。これは、下端におかれたAEセンサが燃料集合体から3m以上も離れているにもかかわらず、多くのAEを測定したということから、これらAEの原因がなんであれ、下端のAEのはほとんどは集合体とは直接関係ないことを示している。

また、上端でのAE信号には連続型らしきものが見られず、リークは起っていなかったものと考えられる。しかし、下端において連続型AEの発生している時期に対応したところで、わずかではあるがバックノイズのレベルが増加しており、これが下端から伝播して来た連続型AEによるものであると考えられた。高速度レコーダ再生の結果は、このように大きなAE信号は充分約9.5mのDチャンネルを伝播可能であることを示したが、この信号をAE測定装置に入れてカウント解析するには、あまりにもS/N比が小さすぎることがわかった。

### 3.2.2.3 波形及び周波数分析

データレコーダより再生した信号をデジタルメモリに書き込みその波形再生及び周波数分析した結果例を図26に示す。対象とした信号は図24において、9と番号付けされたものである。図17との比較より明らかなように、第1回目加圧時に得られた信号と同じ傾向を示す長いリングングと最大ピーク周波数を持ち、大きな相異は見られなかった。

## 3.3 第3回目加圧試験結果

### 3.3.1 Dチャンネル下端での測定結果

#### 3.3.1.1 カウント解析

図27に第3回目加圧中に得られたAEのカウント解析結果を示す。

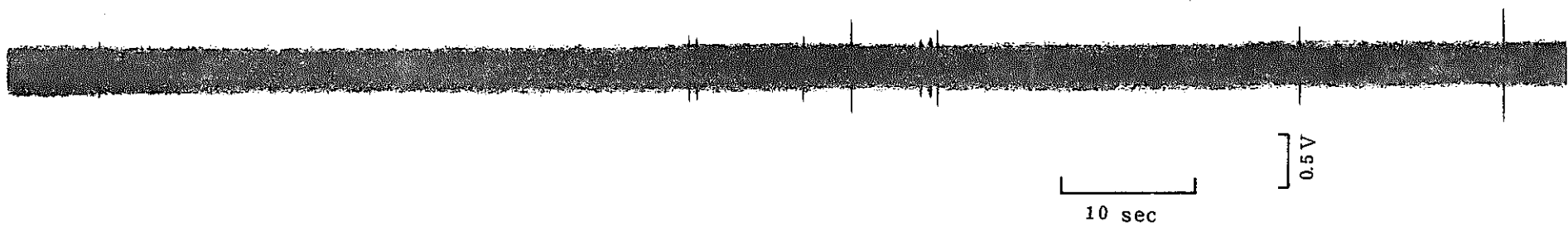


図 25 - 1 第 2 回目加圧中に発生した AE 信号（上端）  
5 KHZ ハイパス

9

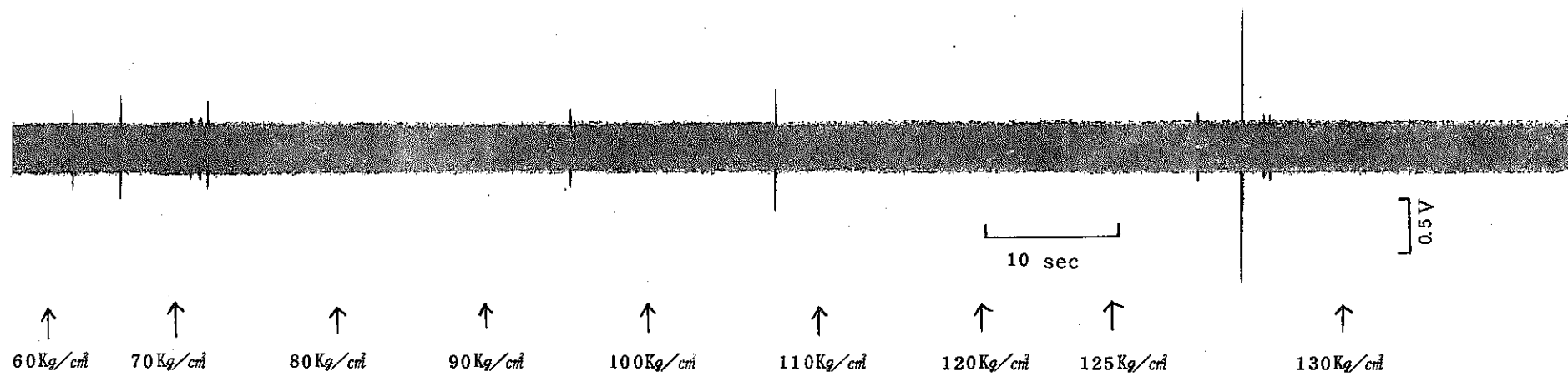


図 25-2 第2回目加圧中に発生したAE信号（上端）

5 KHZ ハイパス

N841-78-37

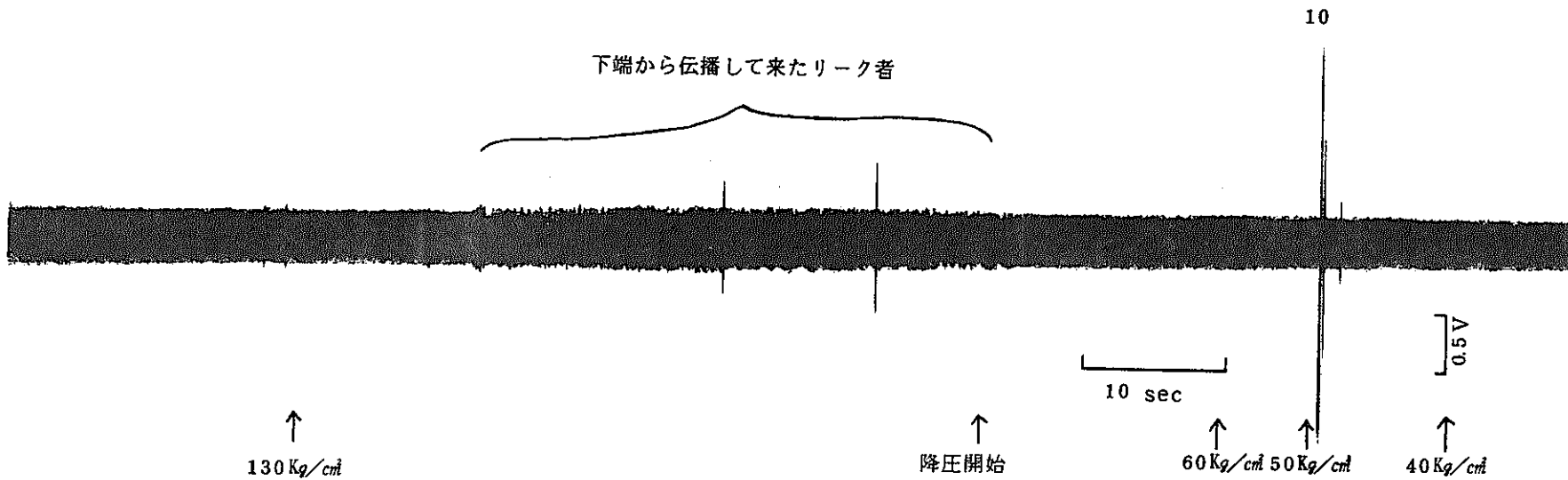


図 25-3 第2回目加圧中に発生したAE信号（上端）  
5 KHZ ハイパス

上端 No 9

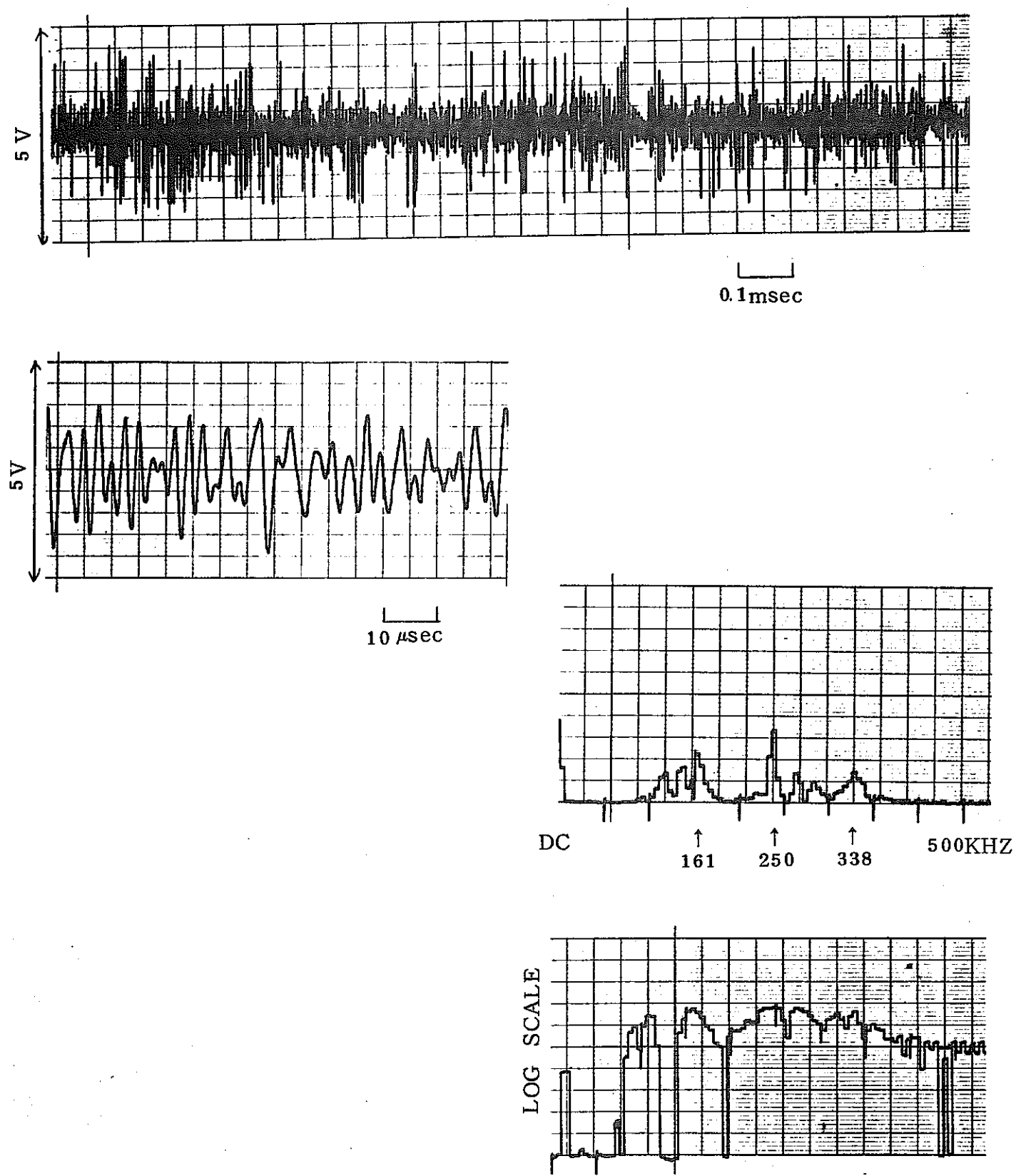


図 26 上端で測定された AE 信号波形と ⑨  
その周波数分布

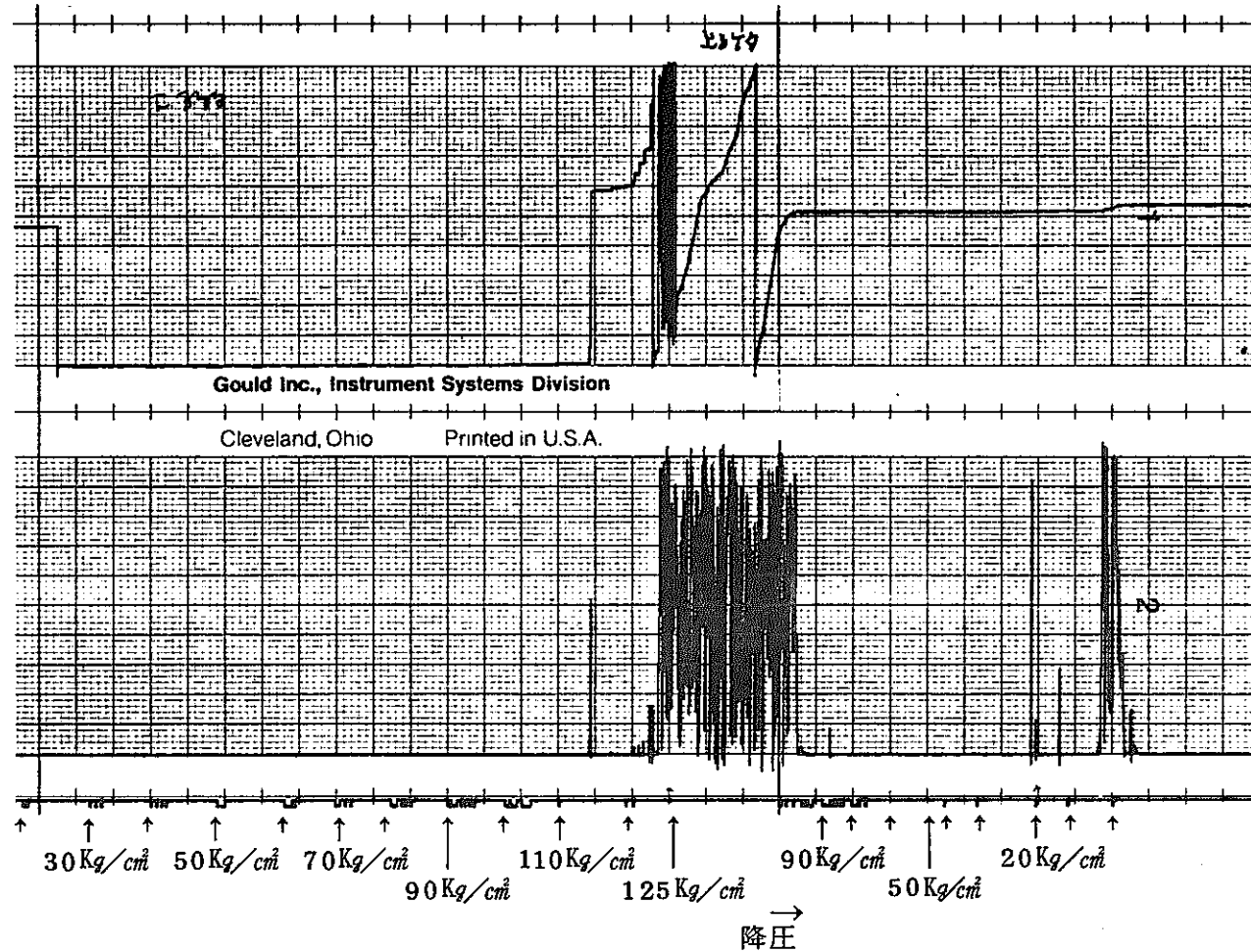


図 27 第3回加圧中AE測定結果（下端）

上段 累積カウント数

下段 カウント率（0.1 sec リセット）

今までと同様上段が累積カウント、下段がカウント率である。図より明らかなようにAEの急激な増加は圧力が $125\text{ Kg/cm}^2$ の時に始まっており、これは第2回目加圧時よりやや低い圧力であった。

このように繰り返し加圧によってAE発生の時期が、低圧力側に移ってくることはこれらAEの原因がどこかの割れに起因するものと仮定すると、このような現象はその割れが加圧により成長していることを示している。そのため第3回目の加圧はAE発生が低圧力側に移ったことを確認した後、ただちに中止し、すみやかに降圧に移った。

### 3.3.1.2 原波形の再生及び周波数分析

図28に第3回目加圧中に得られたAEの原波形再生結果を示す。図より明らかなように、第2回加圧時のAEと同じような連続型の信号であった。

したがって、これもリークによるものであると考えられた。しかし連続発生中のAE信号振幅は、第2回加圧時のそれと比べ比較的小さく、しかもその振幅変動が大きかった。このような平均振幅レベルの減少は、加圧の回を追うごとに著しくなる傾向を示し、繰り返しにより、AEの発生原因が影響をうけることを示していた。

第3回目加圧中に連続発生したAE信号の周波数分析結果を図29に示す。

図より明らかなように主なピーク周波数は、低い周波数側から104KHZ、146KHZ、276KHZで前回の分析結果と一致しており、AEの原因としては全く同一のものであると考えられた。第3回目加圧中に得られた波形の一部を拡大して連続型AEの細部を図30、31に示す。しかし、20倍もの拡大によっても要素に分解されなかった。

### 3.3.2 Dチャンネル上端での測定結果

#### 3.3.2.1 カウント解析

図32に上端についてのAEカウント解析結果を示す。

上段は比較のため再生した下端でのAEカウント率であり、下段はここで述べるところの上端におけるAEカウント率であるが、図より明らかなようにほとんどAEの発生はなかった。

#### 3.3.2.2 原波形の再生

高速レコーダにより再生した第3回加圧中の上端におけるAE信号を図33に示す。

図より明らかなように、バースト型のAEは、ほとんどがなかったが下端において連続型AEの発生している時期に対応してわずかな信号レベル増加がみられ、これは下端から伝播して来た連続型AEによるものと考えられた。

### 3.4 増縮め後の測定

試験はこの後、加圧、降圧を2回繰り返し、そのつどAE測定が行われたが、採取された

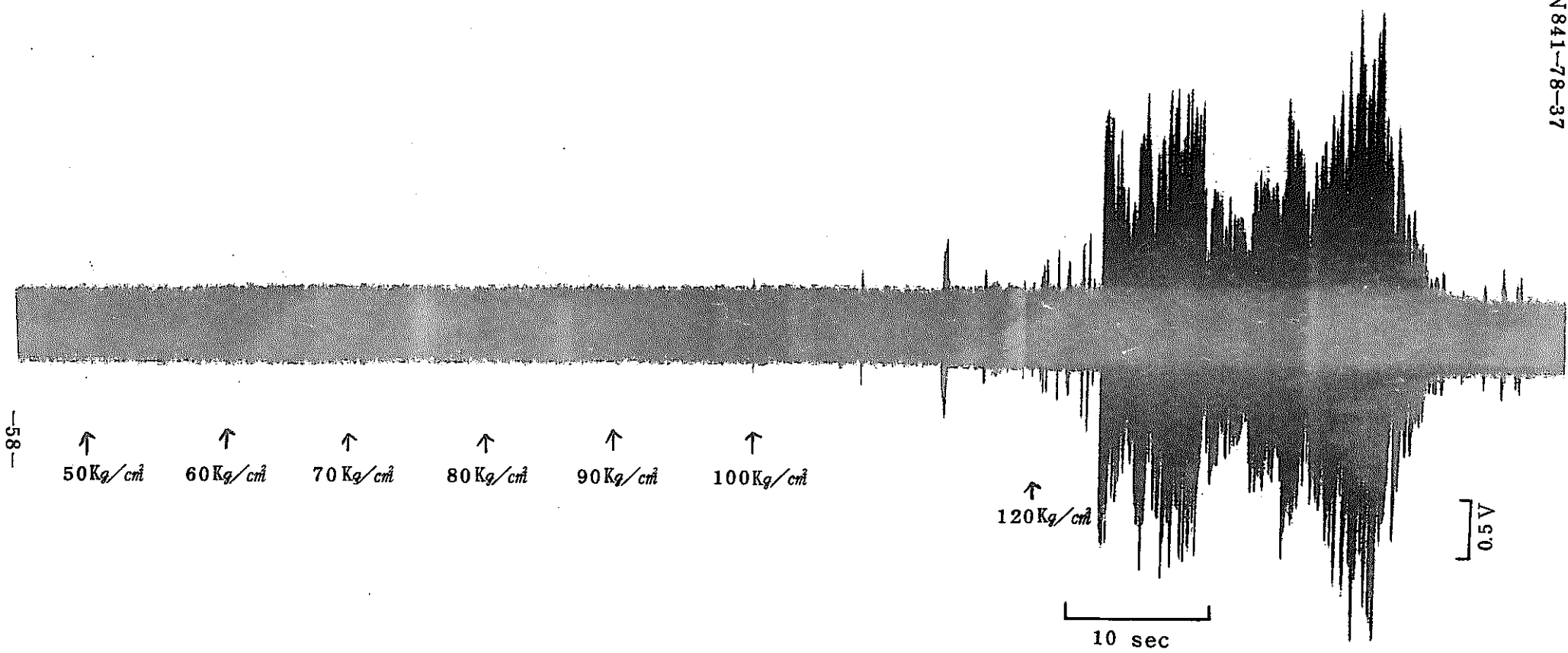


図 28 第3回目加圧中AE信号(下端)

5 KHZ ハイパス

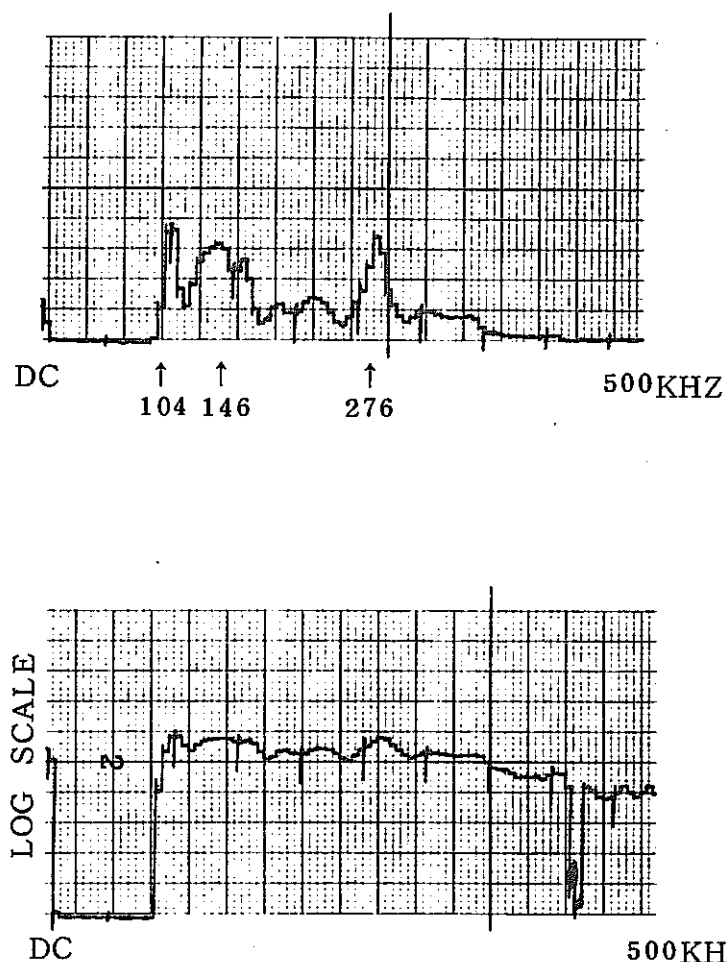


図 29 第3回目加圧中に下端で得られた  
連続型AEのパワースペクトル  
データレコーダから直接解析した。

( C - 120 Av 8192, S.P 1  $\mu$ sec  
Range 1V, MLT X 4  
F - 120 MLT X 16  
BRUSH 20mv/diw, 1 mm/sec )

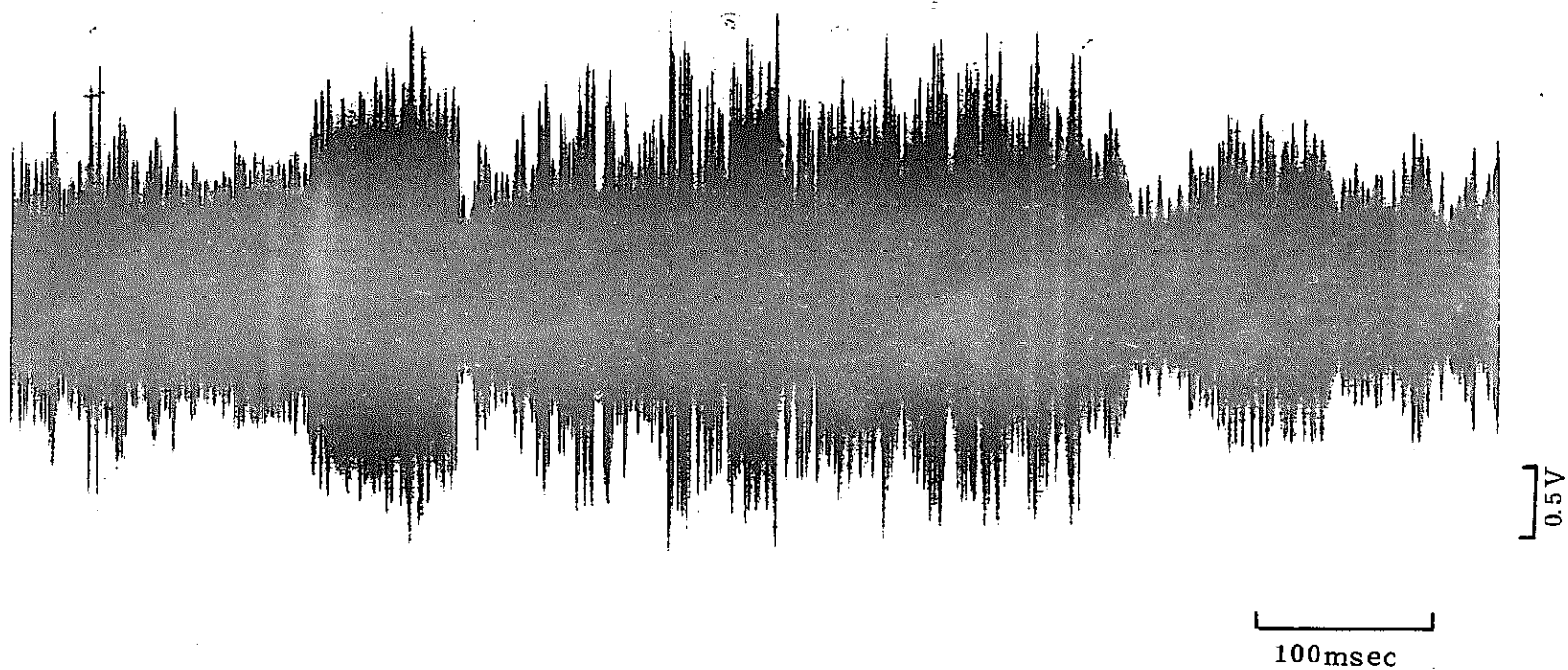


図 30 第3回目加圧時に発生した連続形AE信号波形の  
高速度レコーダによる拡大記録(1)  
5 KHZ ハイパス

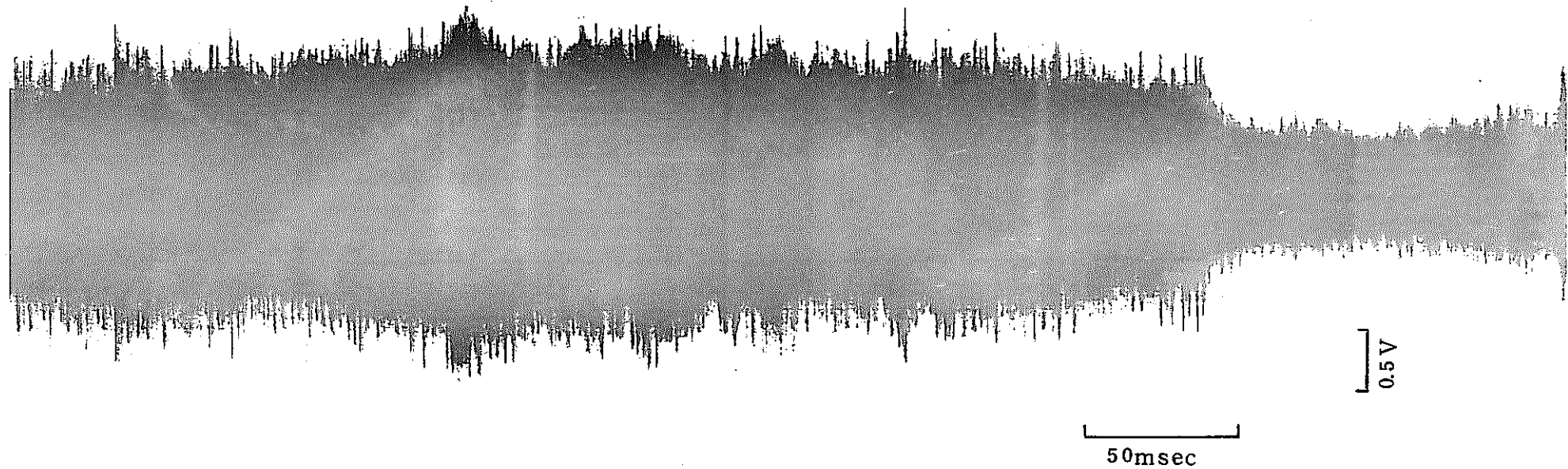


図 31 第3回目加圧時に発生した連続形AE信号波形の  
高速度レコーダによる拡大記録(2)  
5KHZ ハイパス

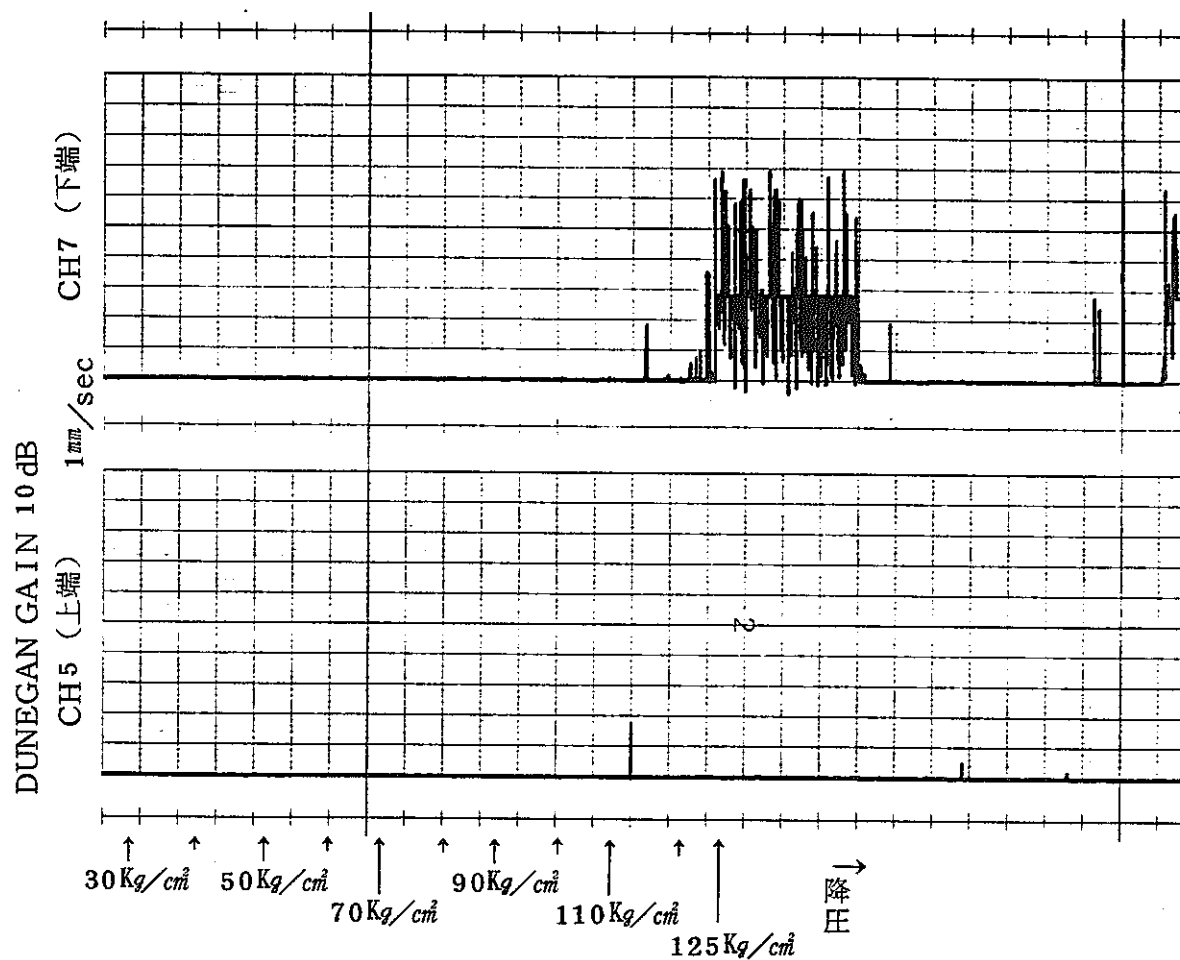


図 32 第3回加圧時AE測定結果（上端）

上段 比較のため再生した下端で測定された  
AEカウント率（0.1 secリセット）

下段 上端で測定されたAEカウント率（0.1 secリセット）

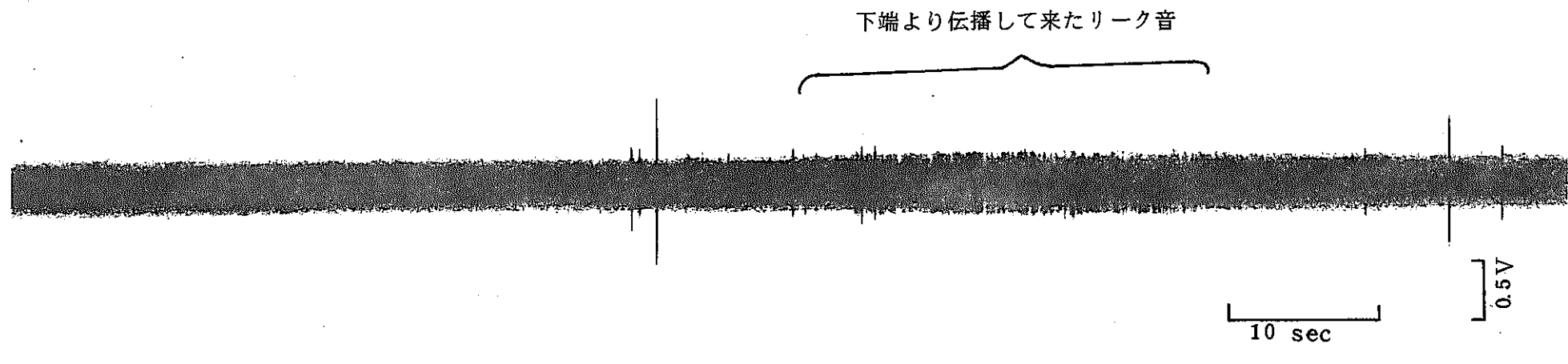


図 33 第3回加圧中AE信号(上端)

5 KHZ ハイパス

AEの特性等は、それまでの結果と大差なかったためここでは割愛する。

五回目の加圧試験中にフランジから極めて微量の漏水が発見された。

そのリーク率は、測定されていないが数滴／分程度のものであった。このため下端めくらフランジの増締めを行なったがゆるみは少なくほとんど締め込みはできない程であった。

増締め後に行った $130\text{Kg/cm}^2$ までの加圧中AE測定結果を図34に示す。図より明らかにように、AEの発生は見られなくなり、今まで測定されていた連続型AEが前述のリークによるものであることが確認された。なお、図において圧力 $0\text{Kg/cm}^2$ 直前で発生しているAEは急激な降圧操作が原因するポンプからのノイズである。

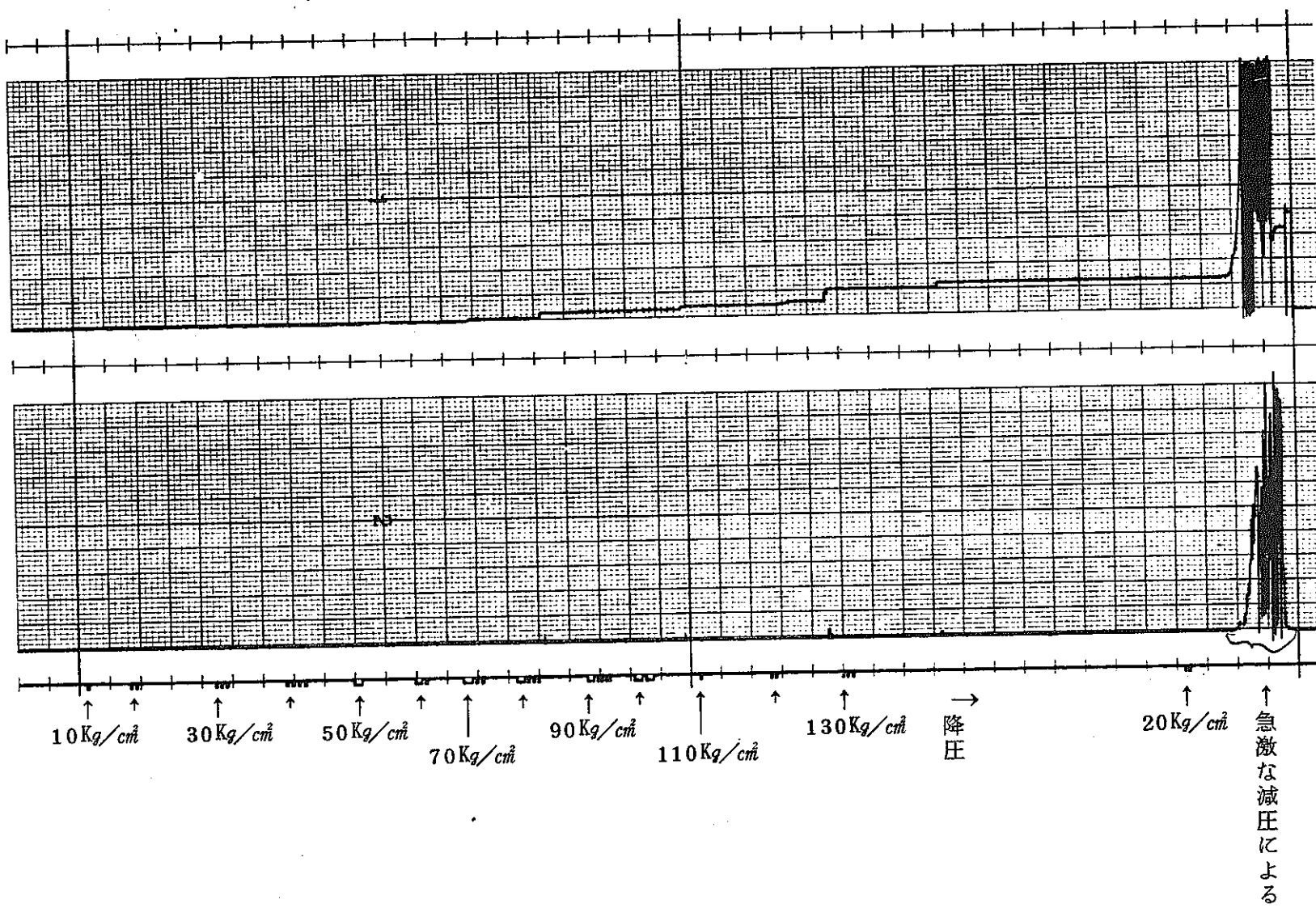


図 34 フランジ増締め後加圧中の AE 測定結果

上段 累積カウント

下段 カウント率 (0.1 sec リセット)

#### 4. ま　と　め

A E 法による A T R 壓力管定期検査法開発のための基礎データ収集を目的として大洗工学センターの C T L - D チャンネル加圧試験時 A E 測定を行なった。

加圧は数回にわたって繰り返され、加圧過程の A E 測定が行なわれた。

第 1 回目加圧中に下端で測定された A E は、すべてバースト型であり、その最大ピーク周波数はおよそ 110 K H Z であることがわかった。また、D チャンネル上・下端それぞれで採取された A E 信号は、下端のものと比べてリング長さに差が見られ上端での A E 信号のほうが長いリング時間を見ていた。

第 2 回目加圧では前回の最大圧力付近までほとんど A E の発生は見られなかつたが、 $130 \text{ kg/cm}^2$  の圧力において非常にレベルの高い連続型 A E の発生があつた。

この後も行われた再加圧の時も連続型 A E が発生しており、それは下端めくらフランジにおける極くわずかな漏水によるものであることが確認された。

また、このリークによる連続型 A E のピーク周波数は 276 K H Z で各再現試験の結果も同じであつた。これらの結果より A T R 壓力管の定期検査において水圧加圧を行いリークの有無を見るためには、A E 法が非常な高感度で適用可能であることがわかつた。

しかし、リークによる A E が下部・上部延長管を含めた長さ 9.5 m を伝播すると非常に減衰してしまうため、ロールジョイント部のリークテストのためには、上部・下部夫々に A E センサをつける必要のあることがわかつた。

## 5. 謝 辞

今回の試験を実施するにあたり、機会を提供され、また御援助下されたHTL小堀哲雄氏、CTL小鷹幸三氏、成尾一輝氏、鴨志田洋氏、そして敦賀、太田猛男氏に深く感謝いたします。

## 6. 参 考 文 献

- (1) マルエージ鋼のAcoustic Emission特性の測定 (I)  
E S N 828-76-05                       五十嵐・近藤・他
- (2) ATR用圧力管材料のAcoustic Emission (II)  
原子力学会昭和52年の分科会       五十嵐・近藤・他
- (3) 原子炉冷却機漏洩検出法の開発  
P N C S N 941-77-183               清野・渡辺・他

7. Appendix I

第1回加圧中に下端で採取されたAE信号の  
波形とパワースペクトル

ここで示したデータは、データレコーダから再生したAE信号を一旦ディジタルメモリに取り込み、その後、波形再生、周波数解析を行なったものである。

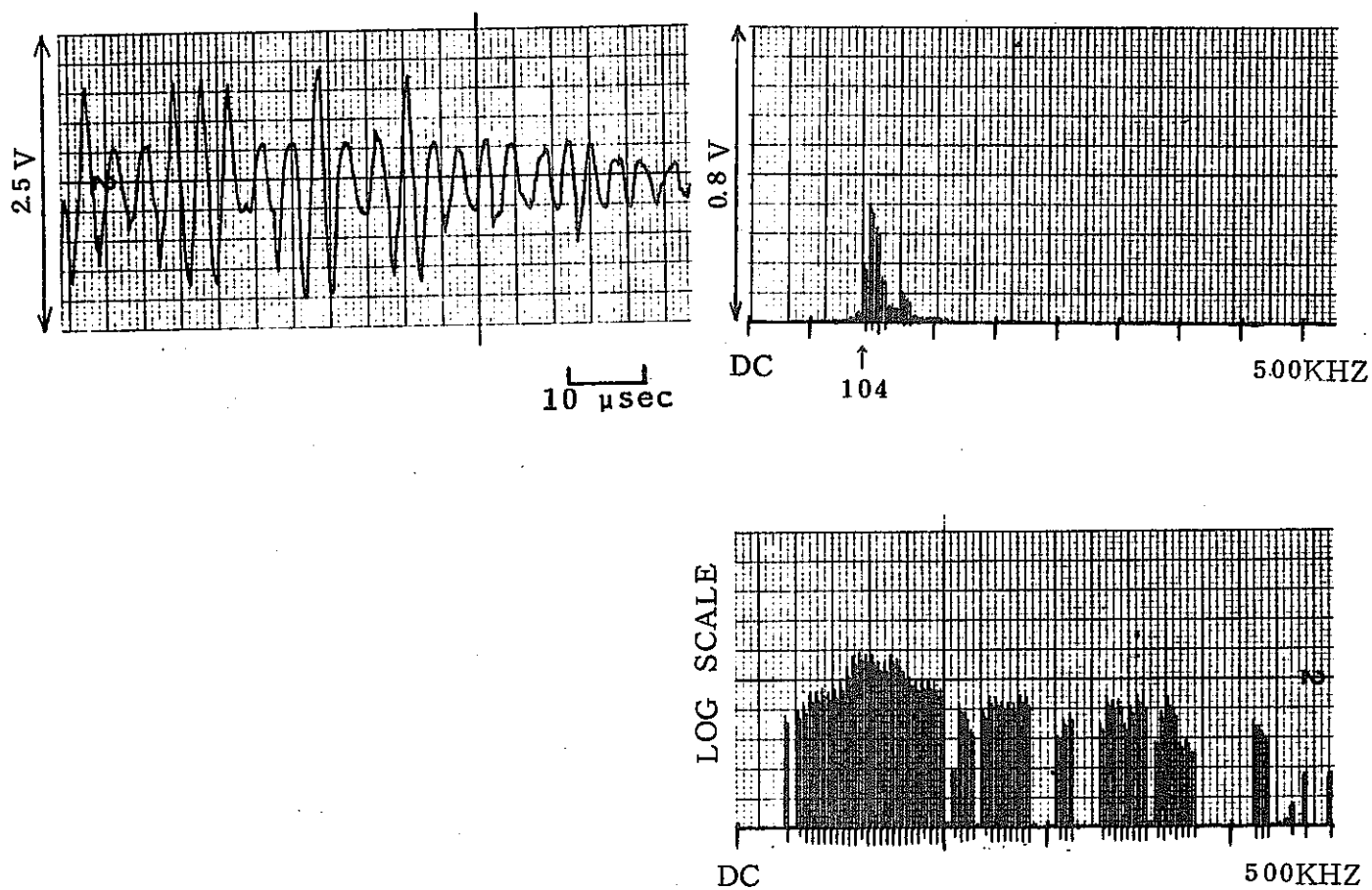
データは全部で36あるが、このうちのいくつかは本文中で使用しているため、番号は必ずしも連続していない。

尚、波形再生及び周波数解析時には、信号の振幅にしたがって、レコーダおよび測定装置のレンジを変更した。

これら解析のための信号採取は、オンラインで得られたカウント率のチャートをガイドにして、発生状況に変動がみられた個所から行なった。どの信号を採取したかは、カウント率のチャート中に示した番号で明らかにしてある。

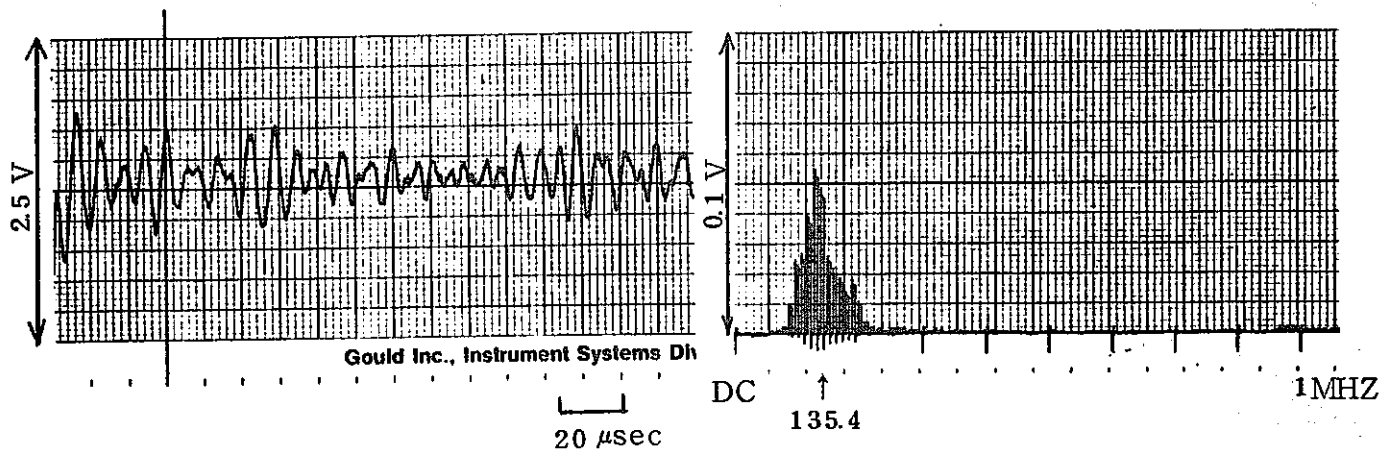
下端についてのこのような解析は第1回目の加圧中に得られた信号についてのみ行なっている。これは、第2回目の加圧以降では、下端ではリークだけが起っていたため、リーク音の解析を主としたからである。

下端 No. 1

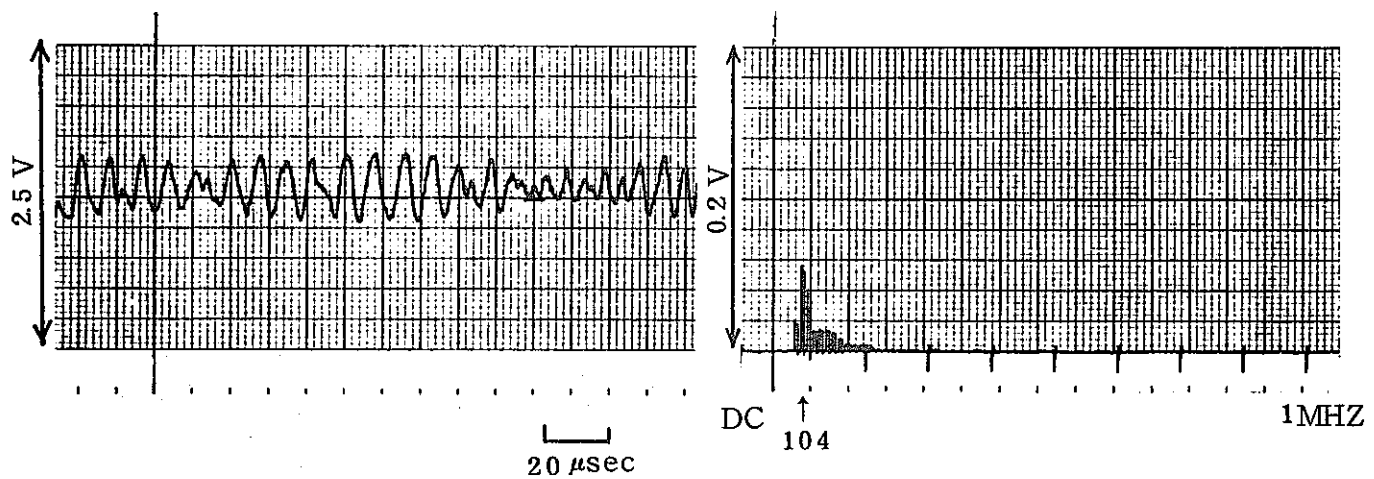


第1回加圧中に下端で採取された  
AE信号の波形とそのパワースペクトル ①

下端 No. 2



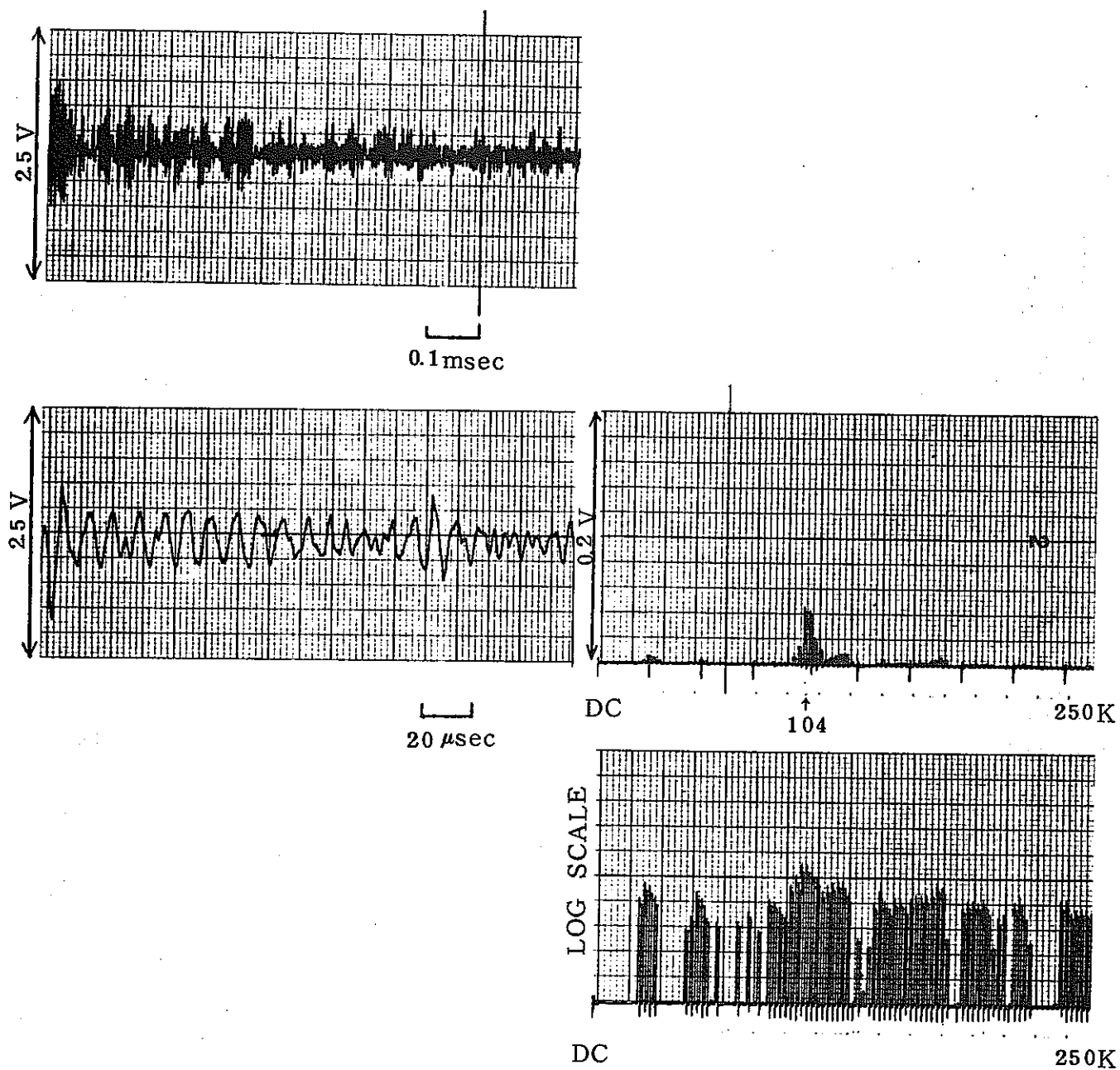
下端 No. 4



第1回加圧中に下端で採取された  
AE信号の波形とそのパワースペクトル ②,④

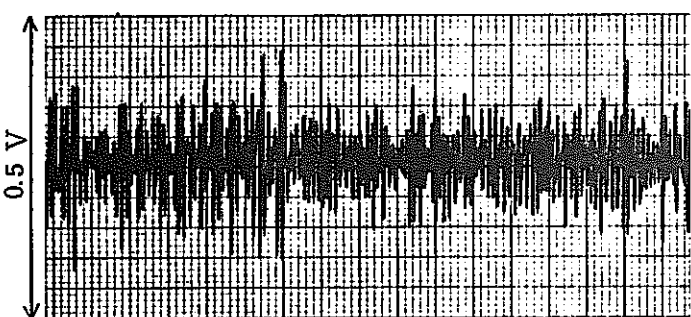
N 841-78-37

下端 No. 7

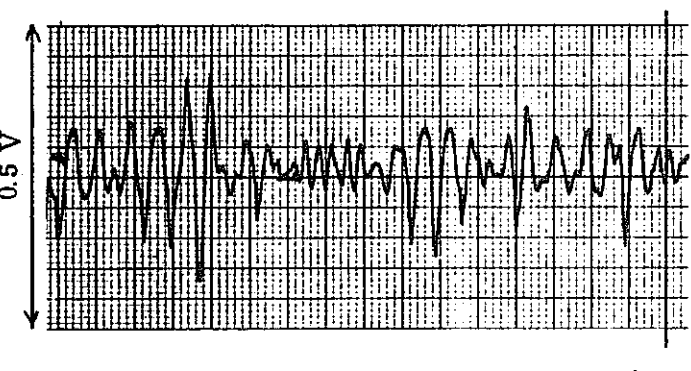


第1回加圧中に下端で採取された  
AE信号の波形とそのパワースペクトル ⑦

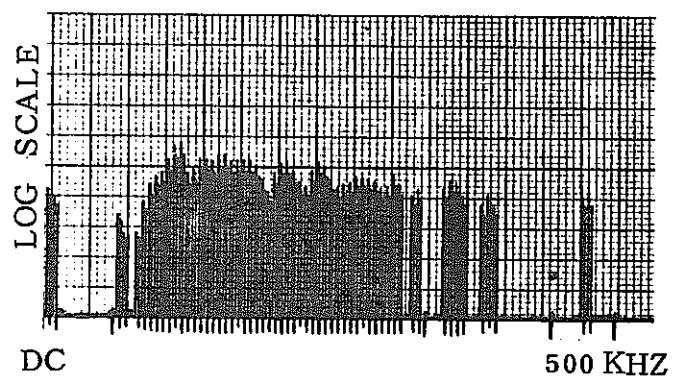
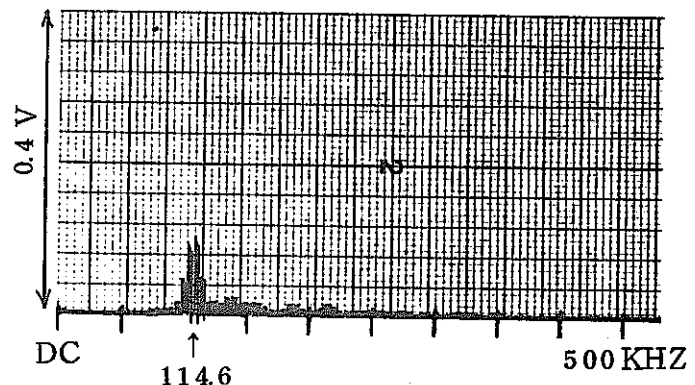
下端 No. 8



0.1 msec

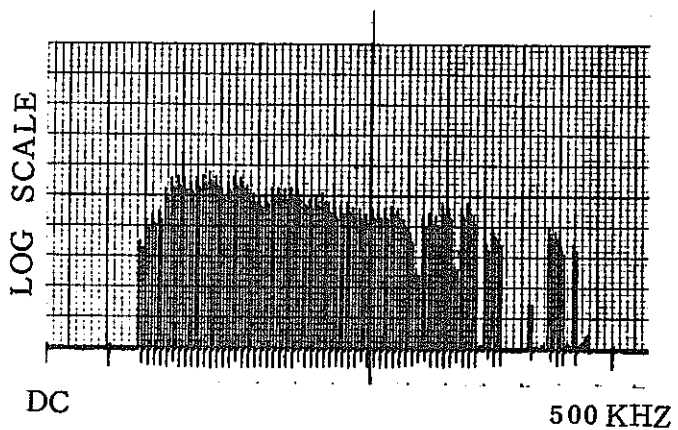
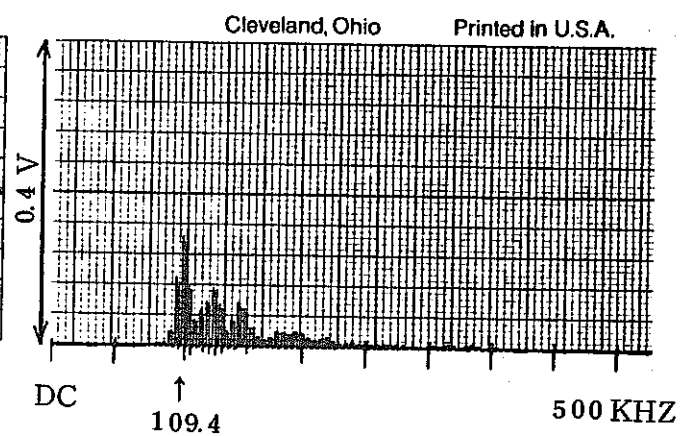
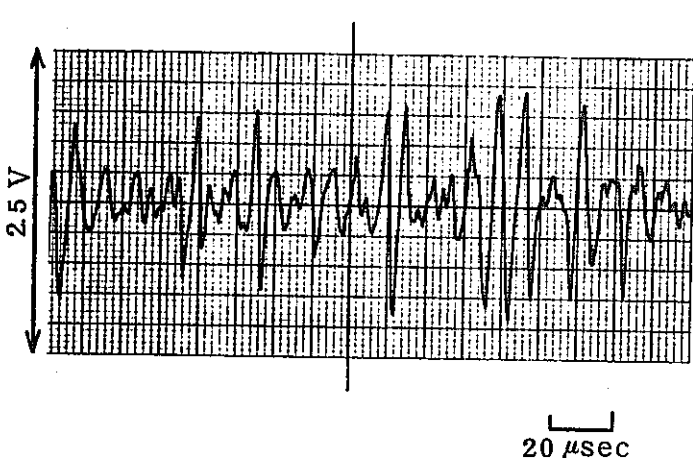
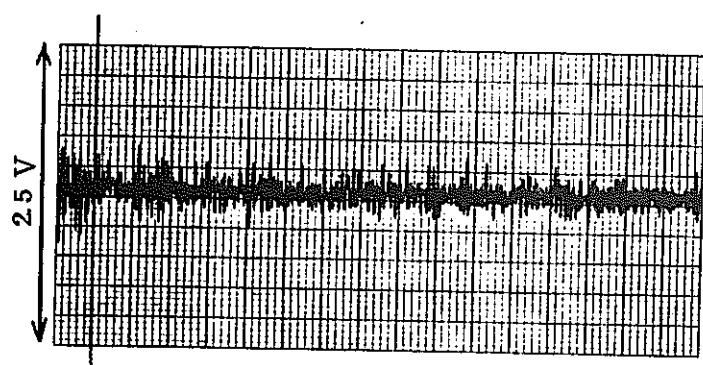


10 μsec

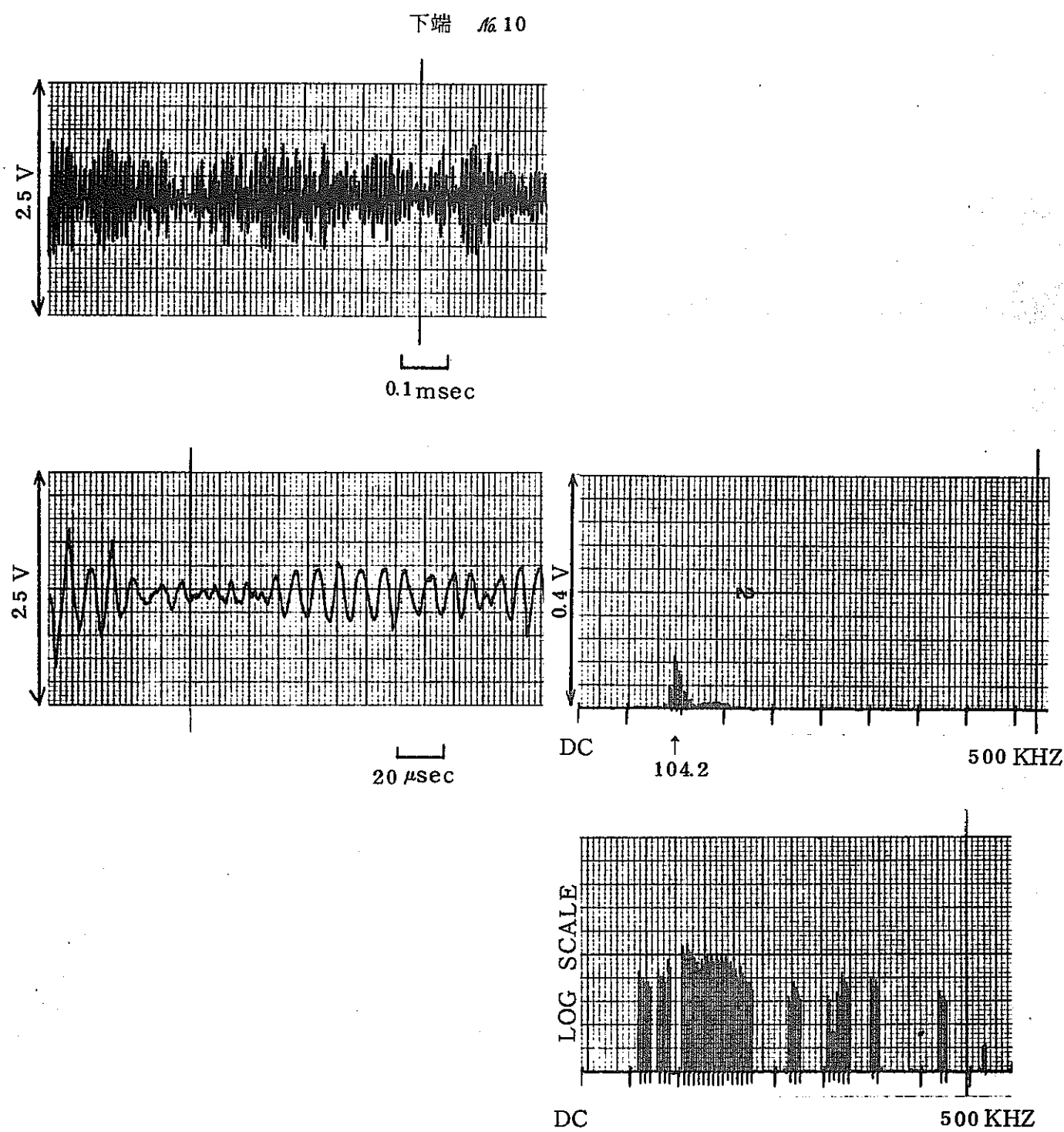


第1回加圧中に下端で採取された  
AE信号の波形とそのパワースペクトル ⑧

下端 №9

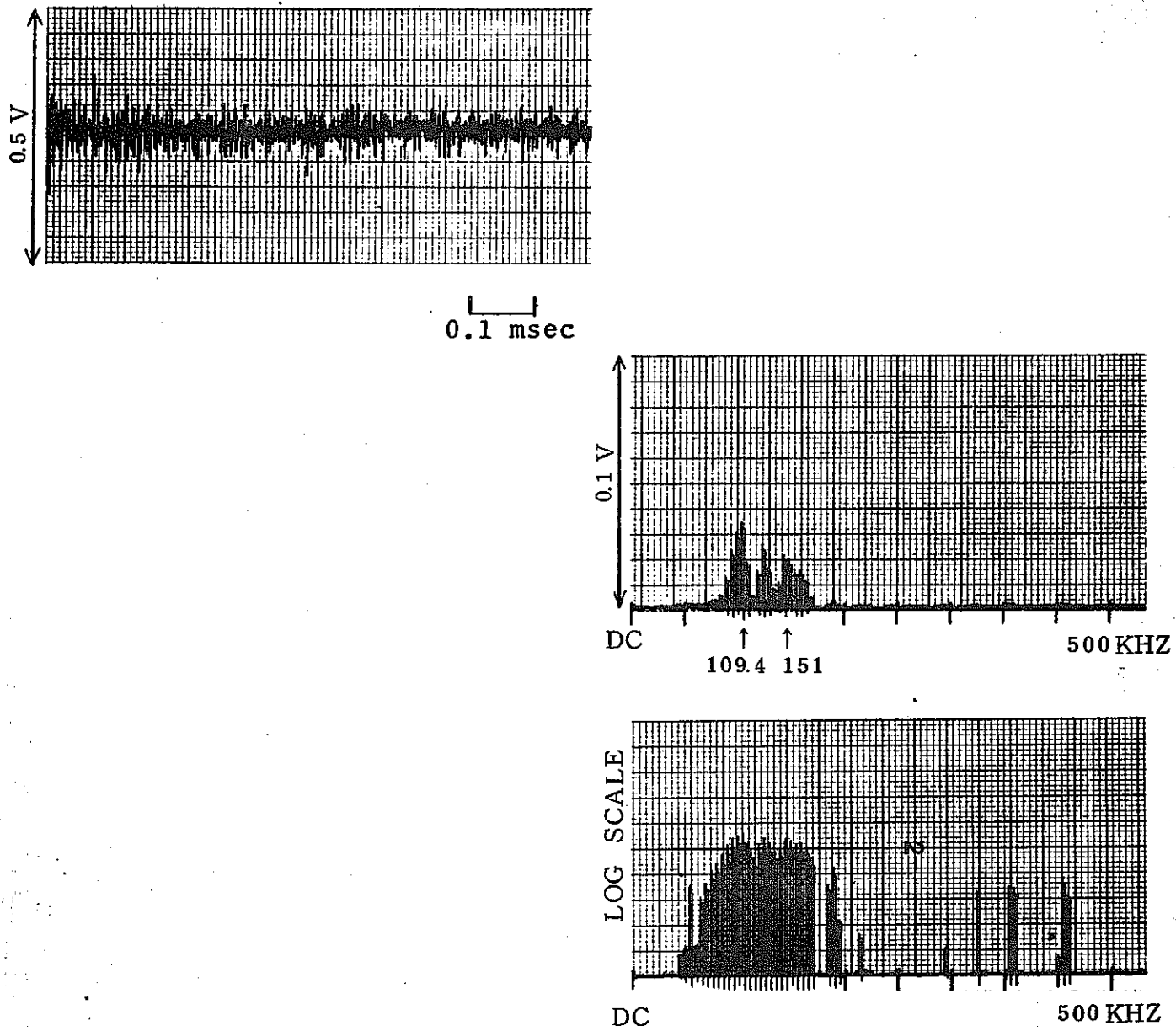


第1回加圧中に下端で採取された  
AE信号の波形とそのパワースペクトル ⑨



第1回加圧中に下端で採取された  
AE信号の波形とそのパワースペクトル ⑩

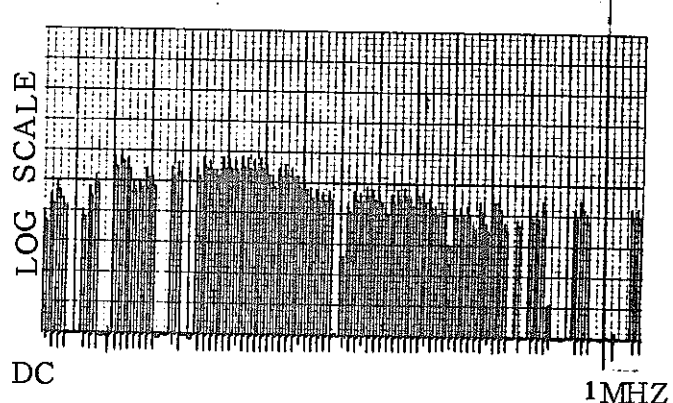
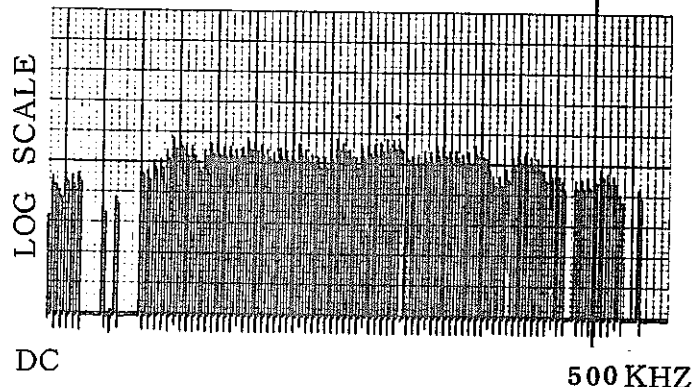
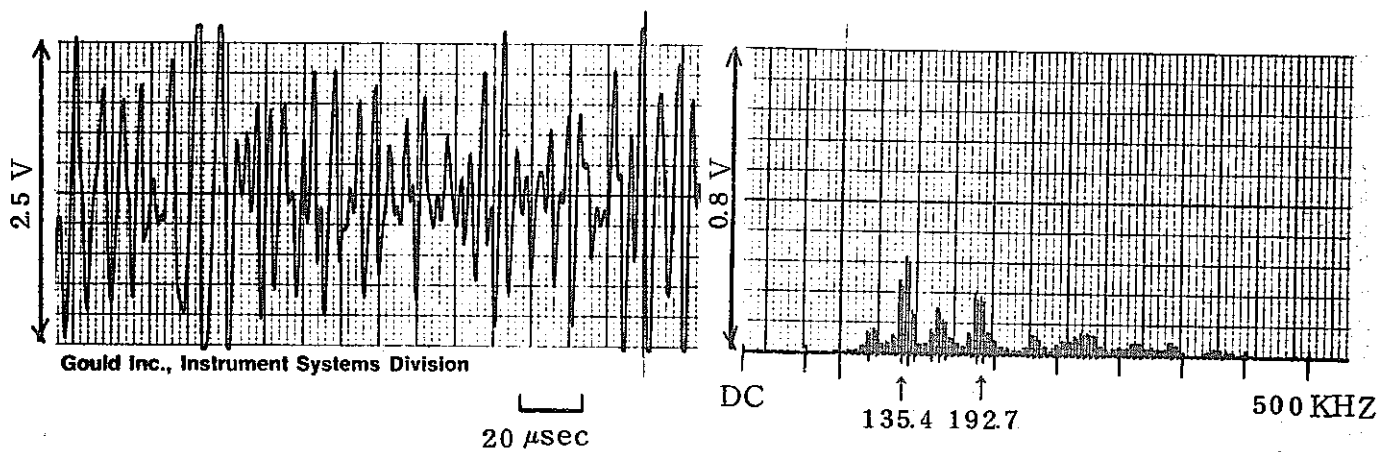
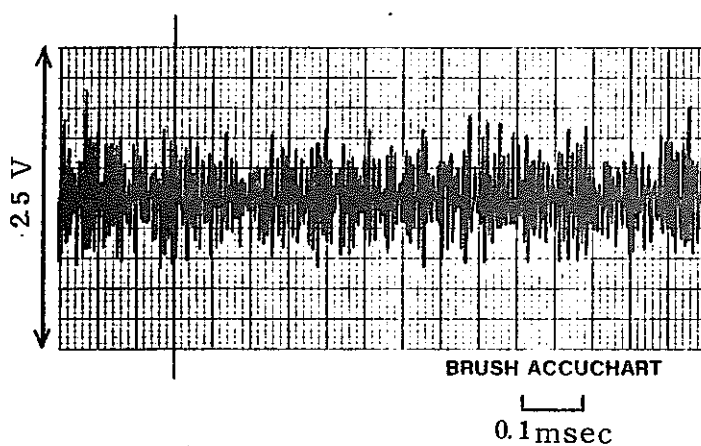
下端 № 11



第 1 回加圧中に下端で採取された  
AE 信号の波形とそのパワースペクトル ⑪

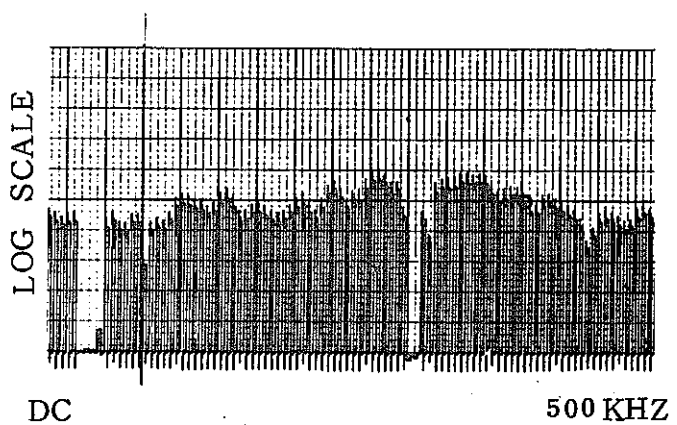
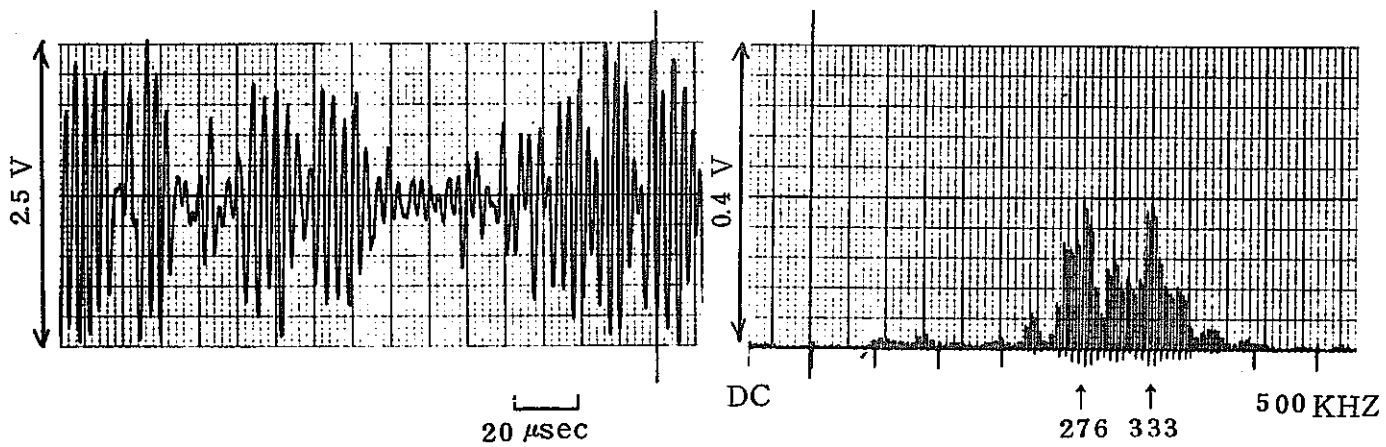
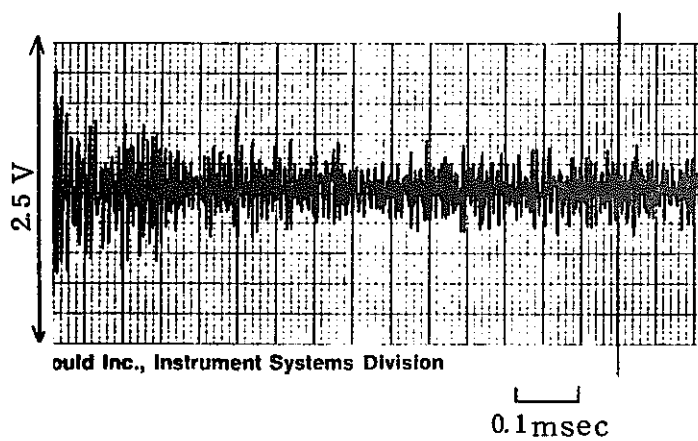
N841-78-37

下端 No 12



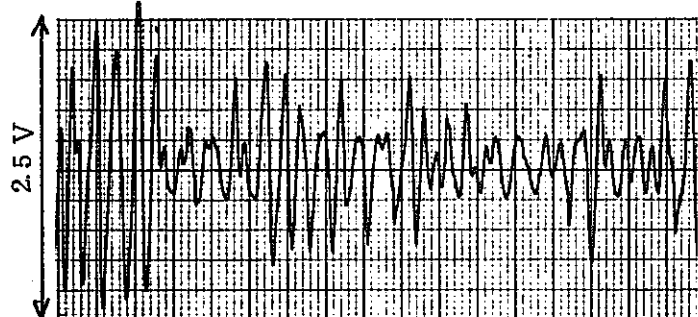
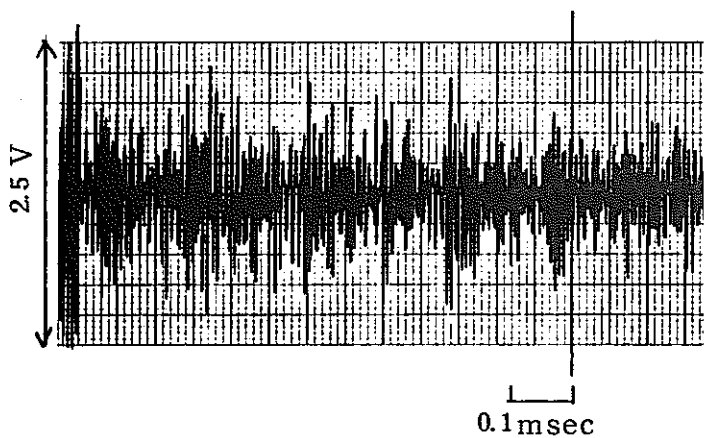
第1回加圧中に下端で採取された  
AE信号の波形とそのパワースペクトル ⑫

下端 No. 13

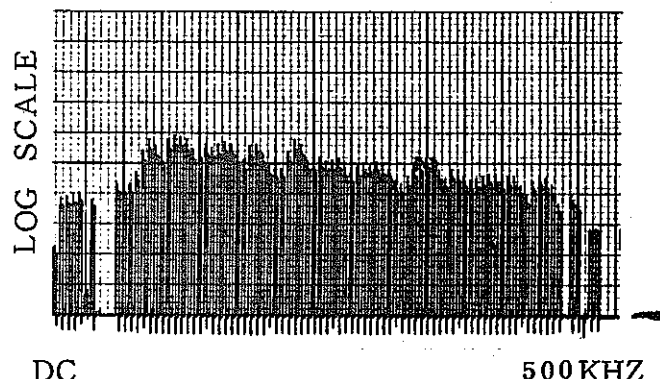
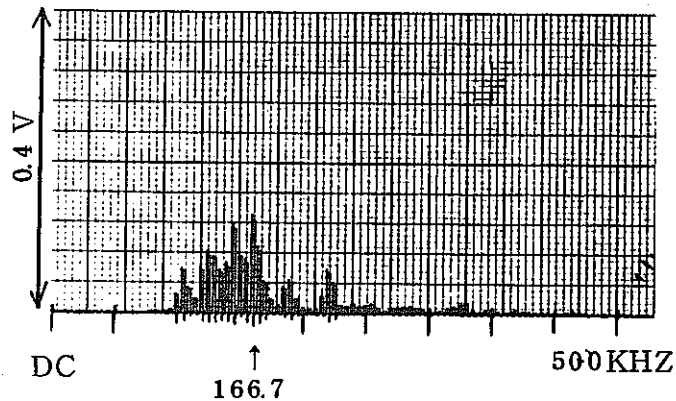


第1回加圧中に下端で採取された  
AE信号の波形とそのパワースペクトル ⑬

下端 No. 14



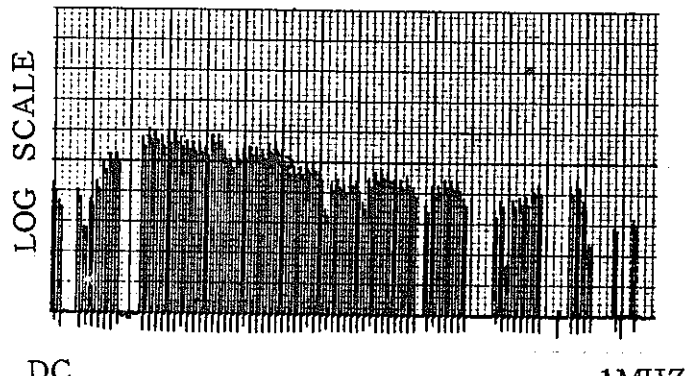
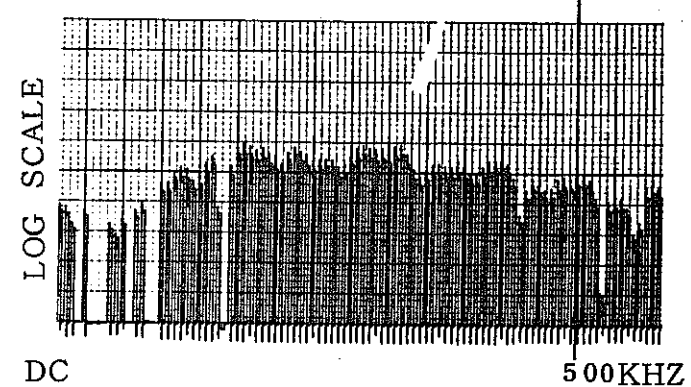
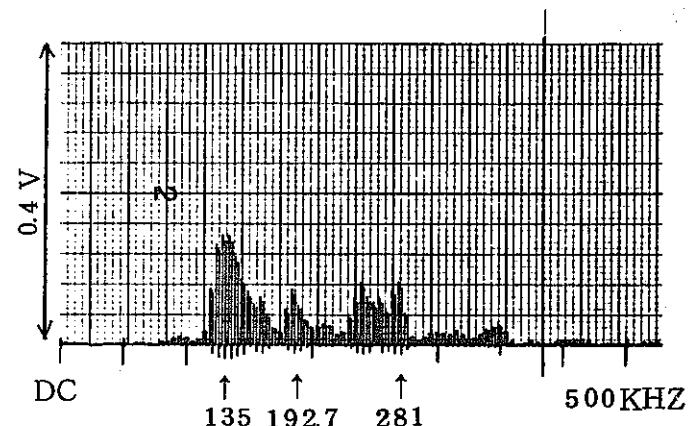
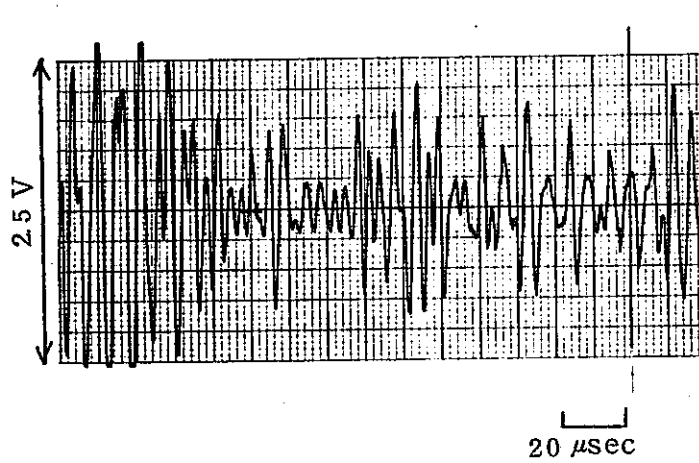
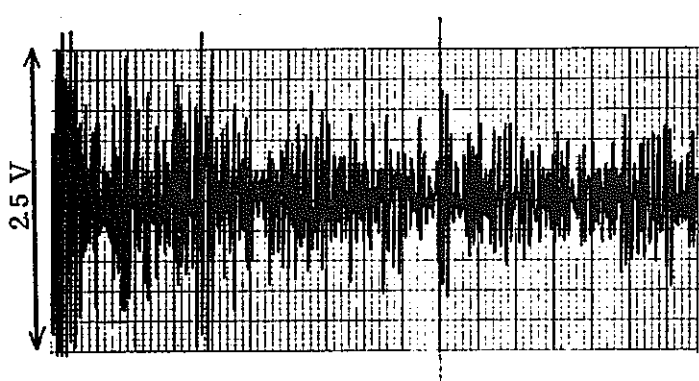
Gould Inc., Instrument Systems Division



第1回加圧中に下端で採取された  
AE信号の波形とそのパワースペクトル ⑭

N 841-78-37

下端 No 17

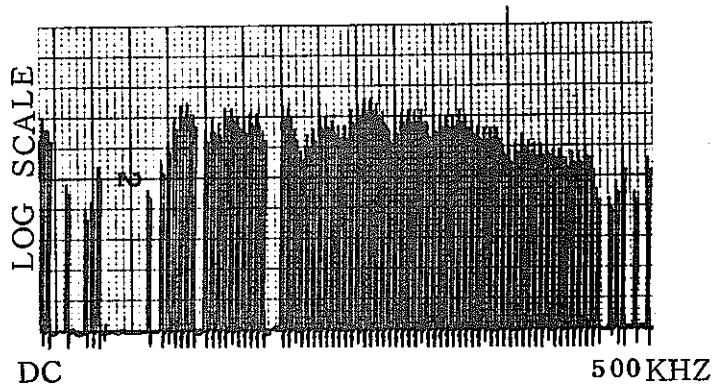
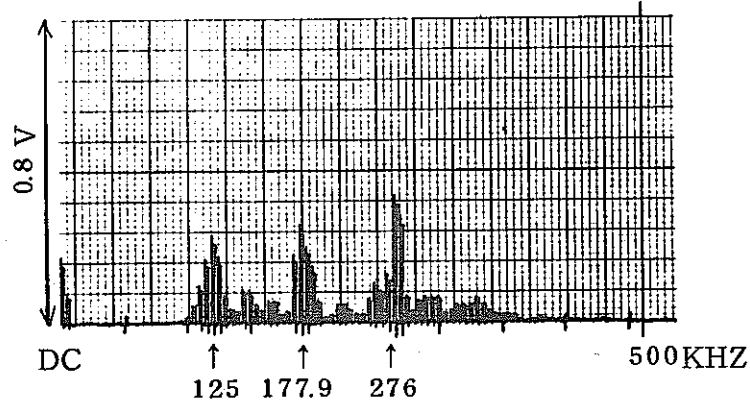
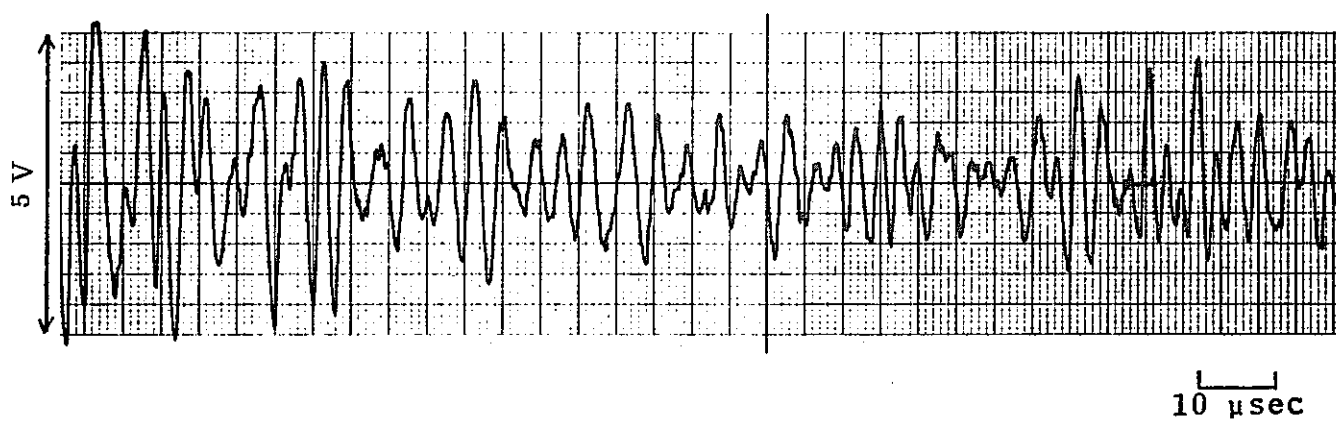
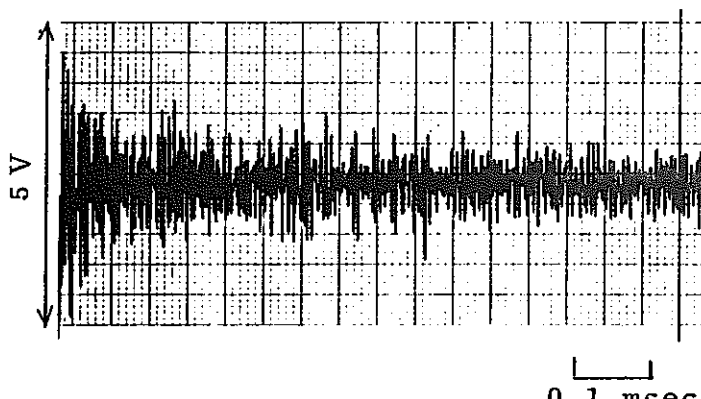


第1回加圧中に下端で採取された

AE信号の波形とそのパワースペクトル ⑯

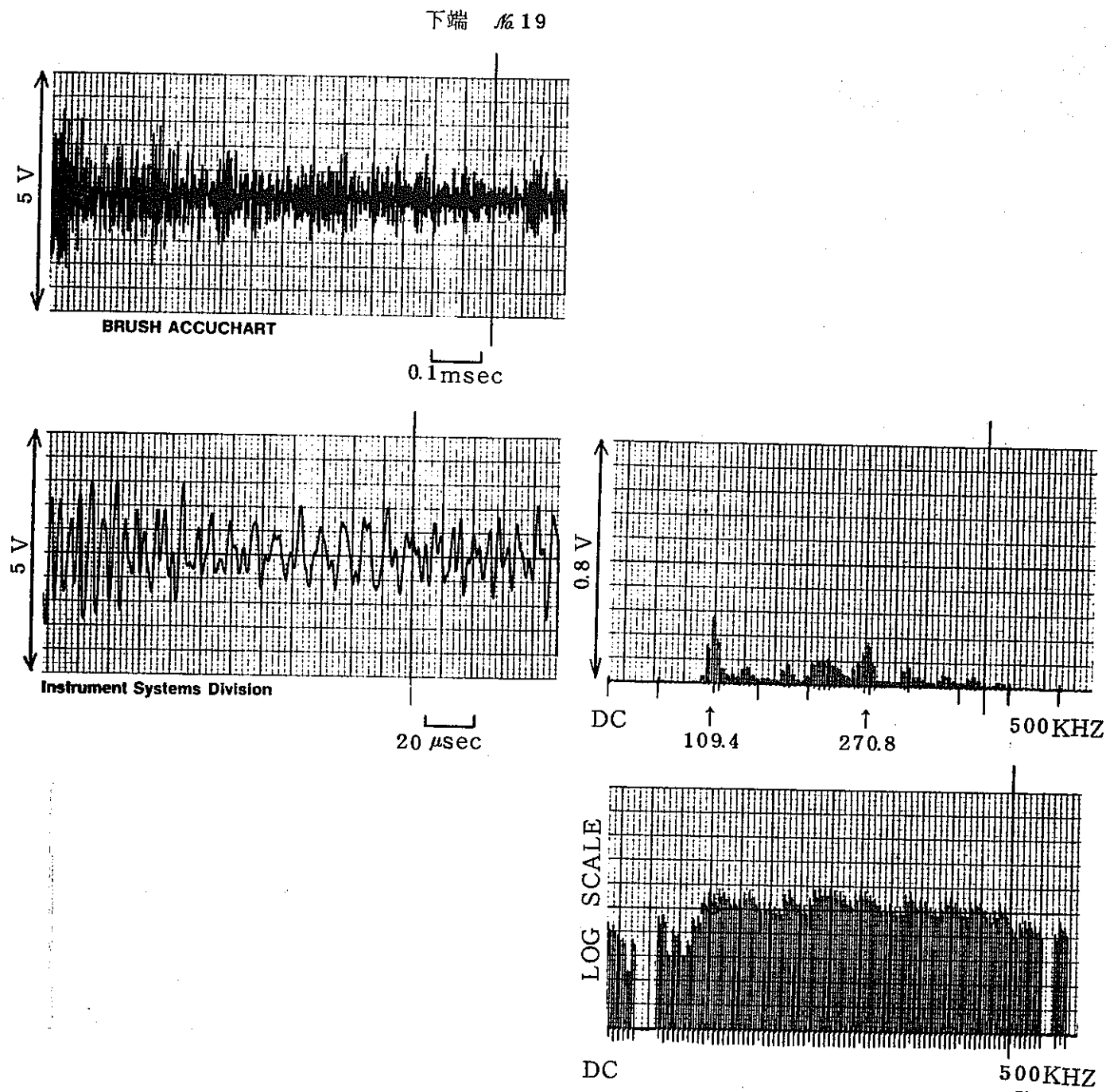
N 84I-78-37

下端 No. 18



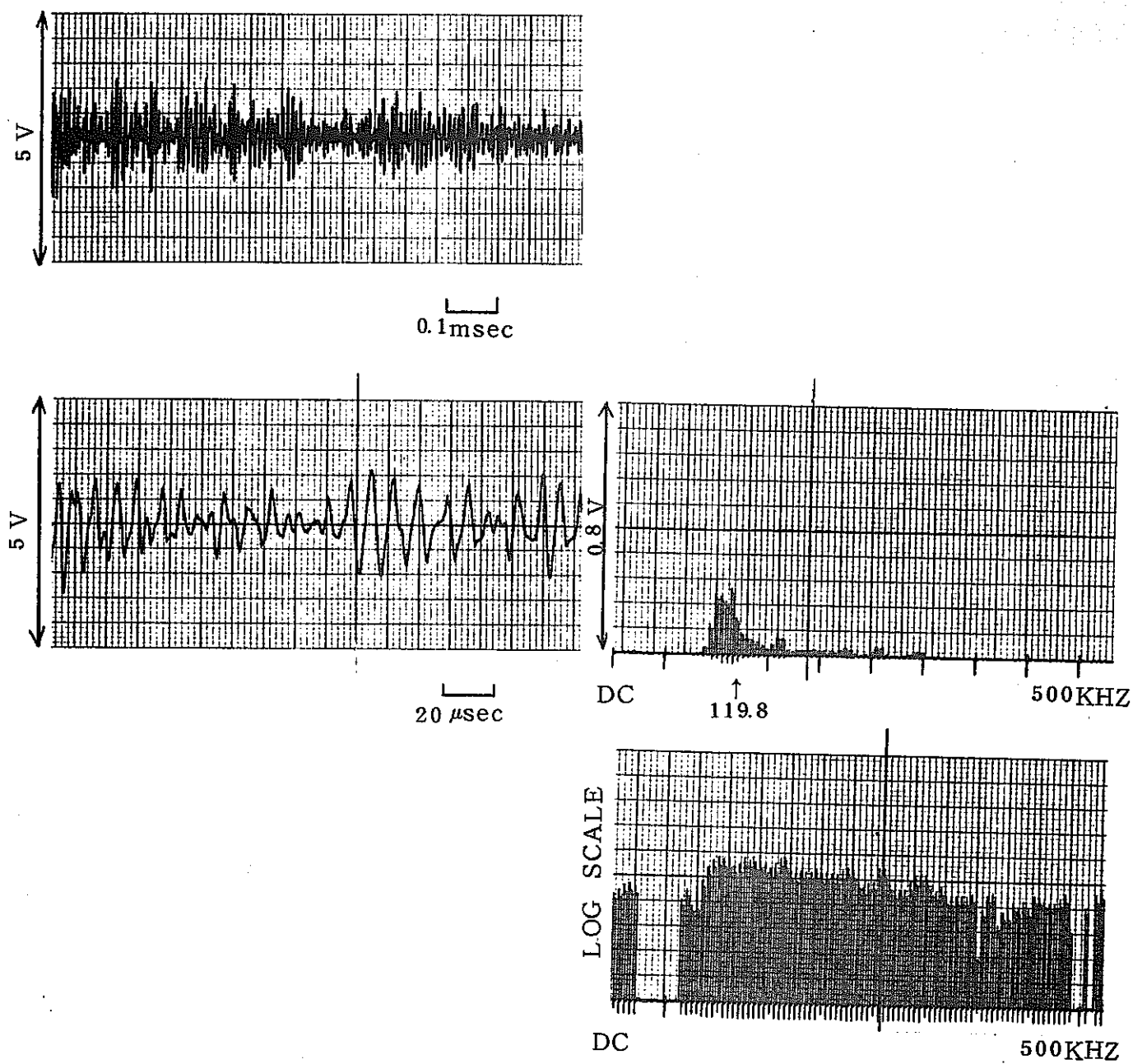
第1回加圧中に下端で採取された  
AE信号の波形とそのパワースペクトル ⑯

N 841-78-37



第1回加圧中に下端で採取された  
AE信号の波形とそのパワースペクトル ⑯

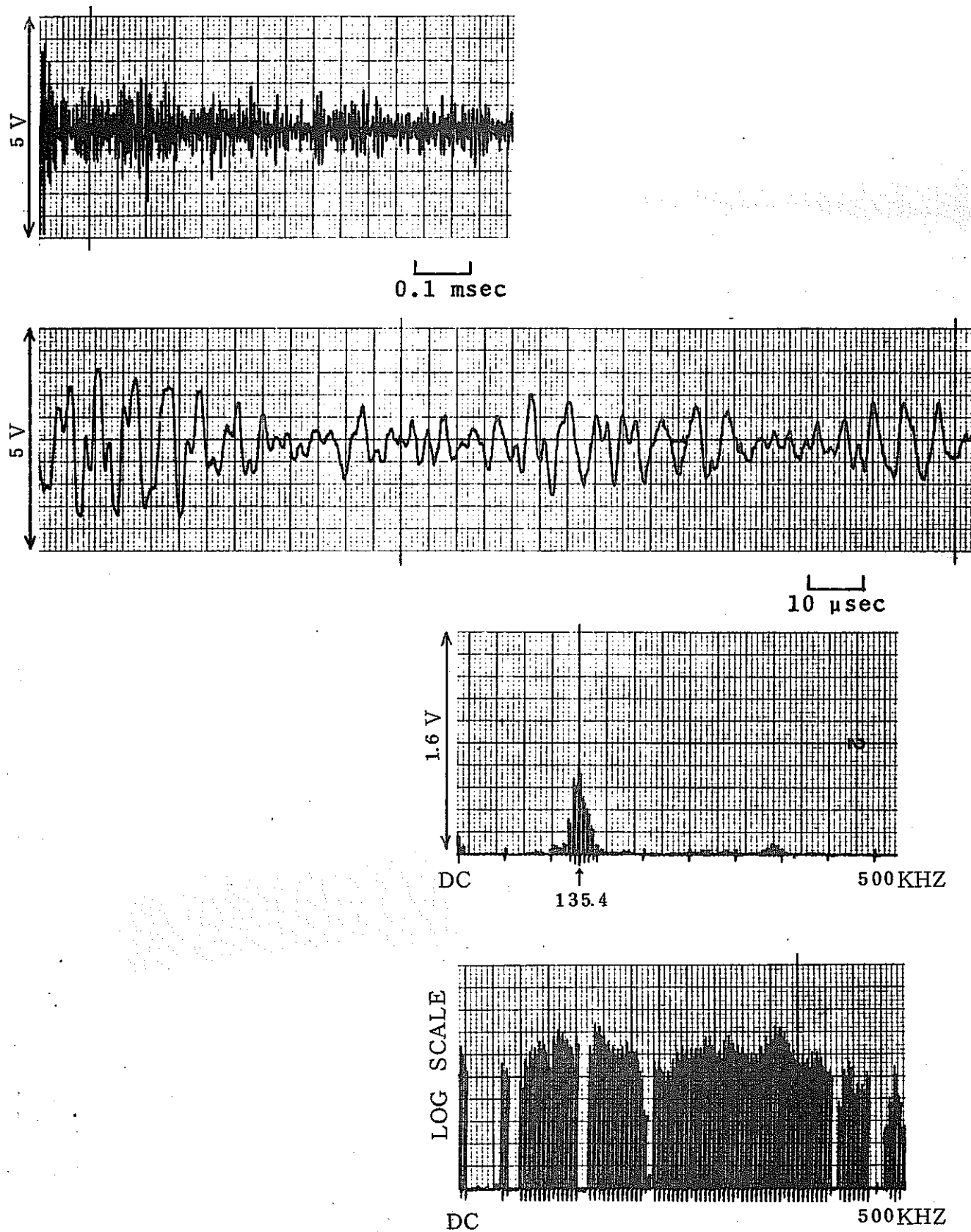
下端  $\mu$  20



第1回加圧中に下端で採取された  
AE信号の波形とそのパワースペクトル ②

N841-78-37

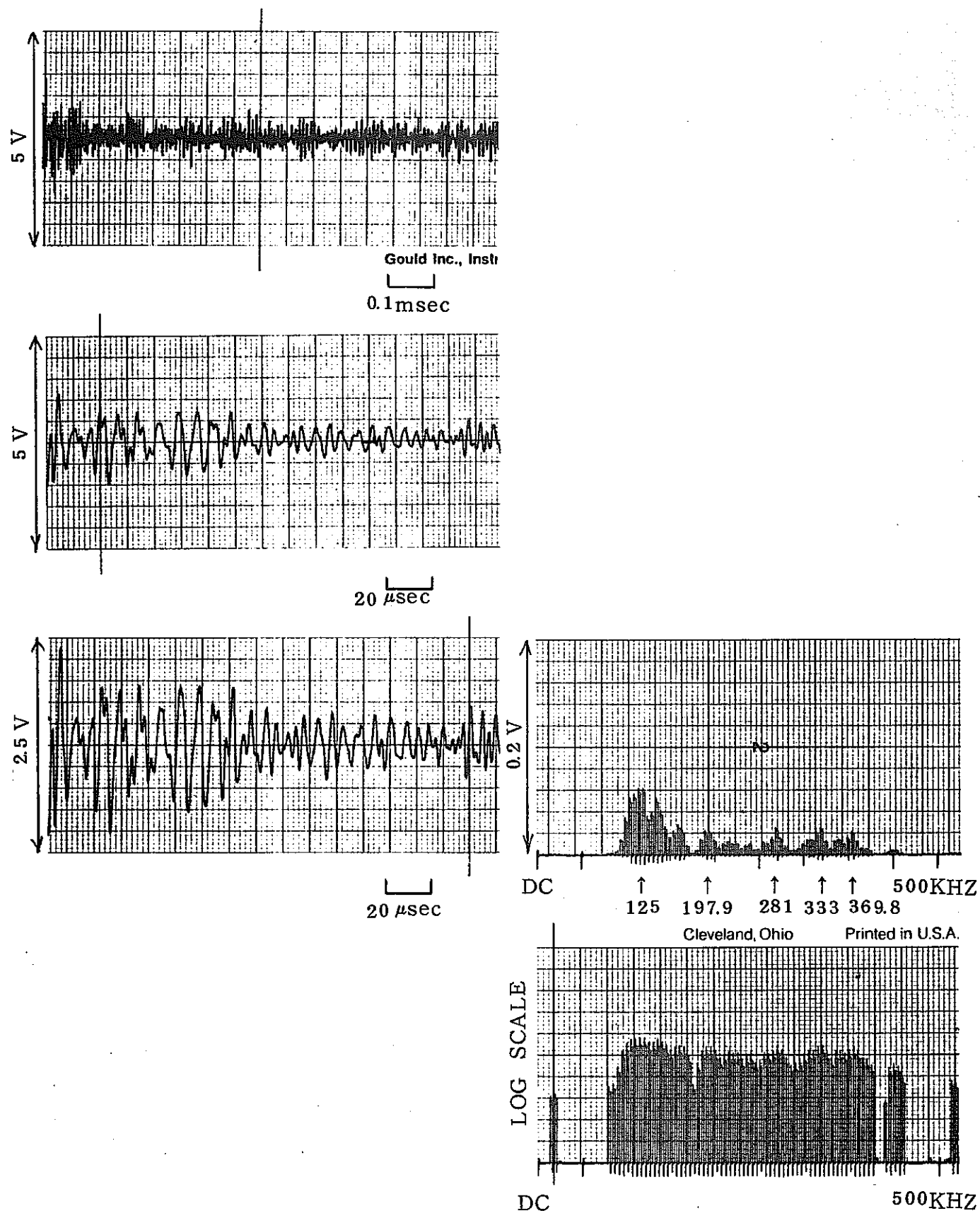
下端 №21



第1回加圧中に下端で採取された  
AE信号の波形とそのパワースペクトル ⑪

N 841-78-37

下端 A6.23

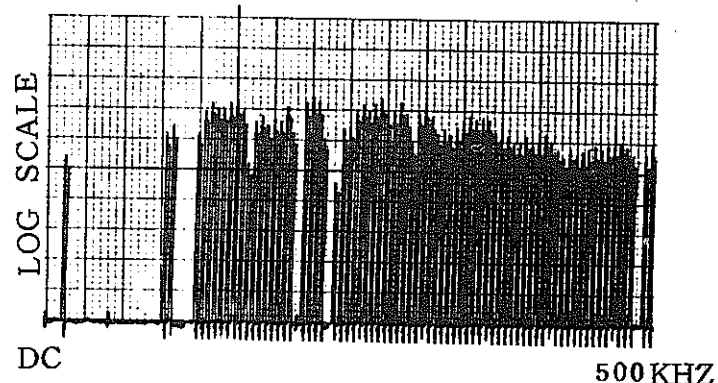
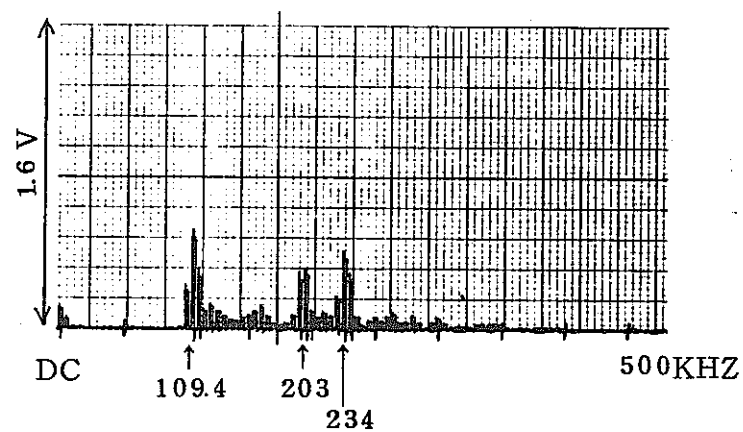
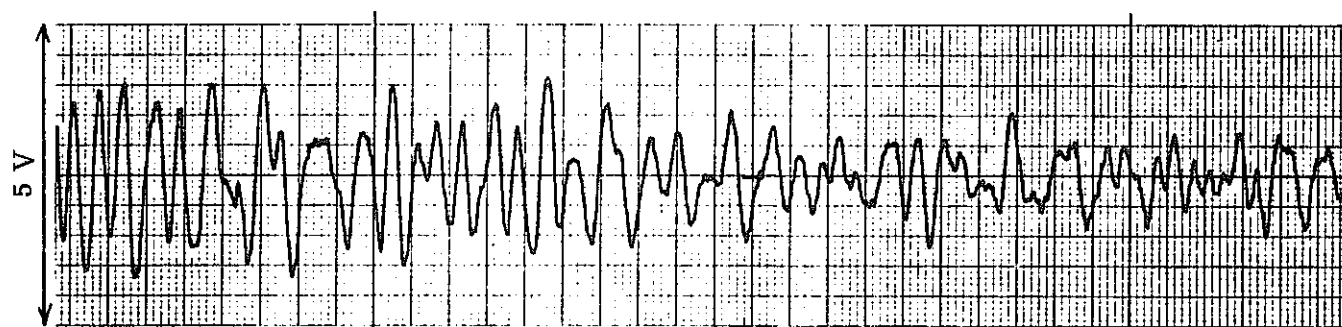
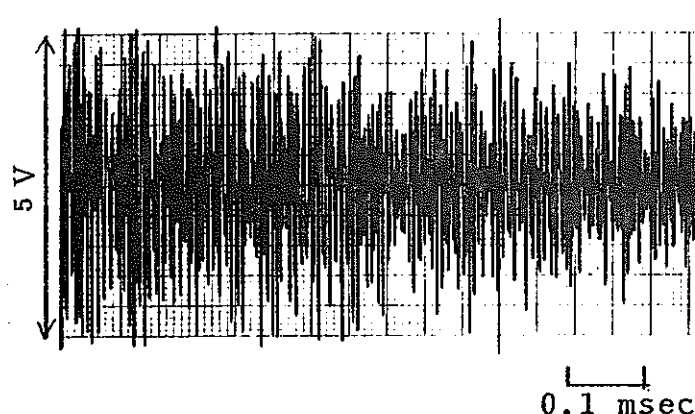


第1回加圧中に下端で採取された

AE信号の波形とそのパワースペクトル ②

N841-78-37

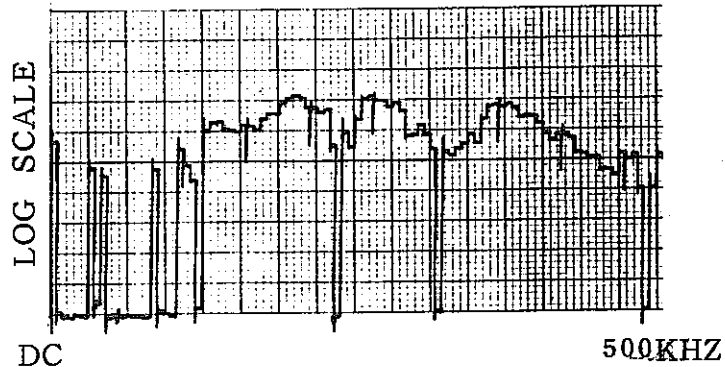
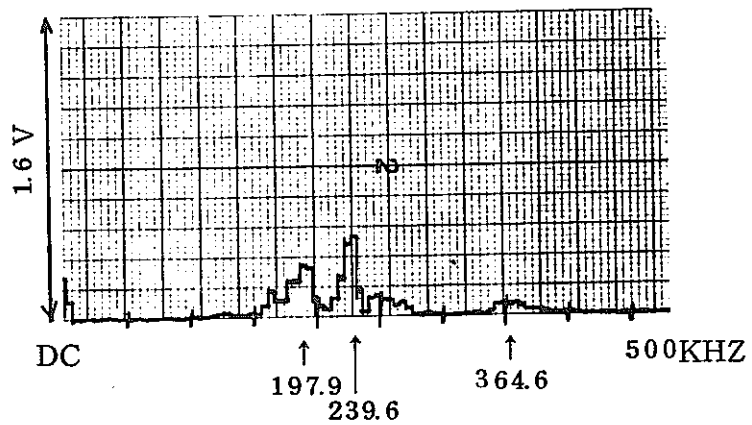
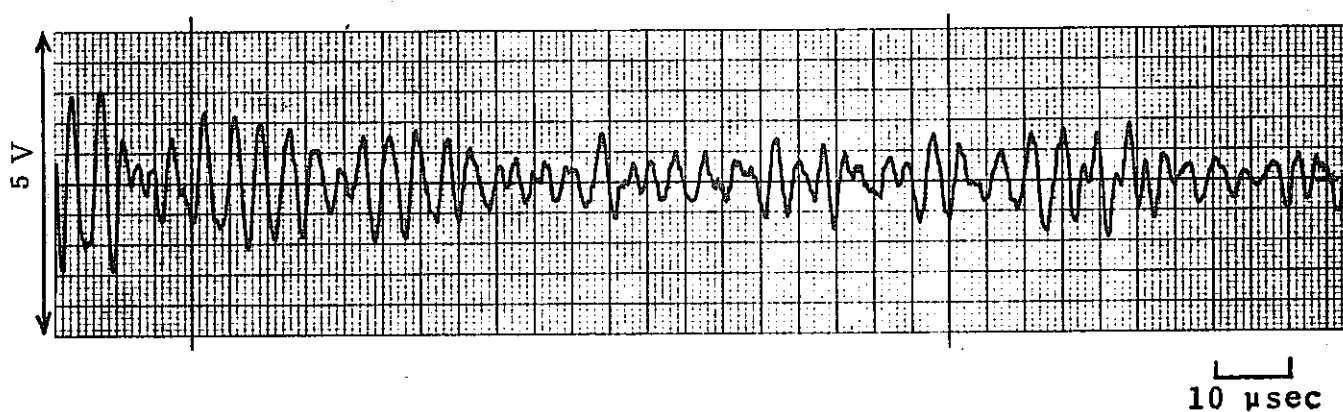
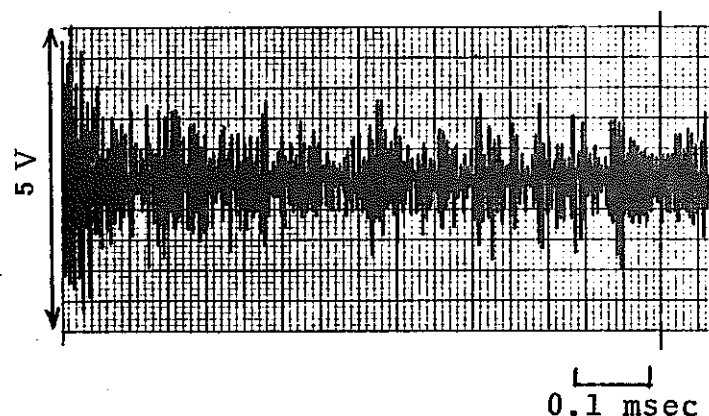
下端 №.25



第1回加圧中に下端で採取された  
AE信号の波形とそのパワースペクトル ㉙

N841-78-37

下端 1627

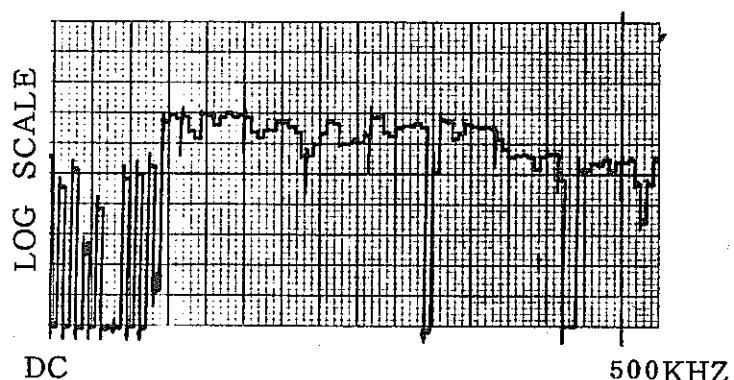
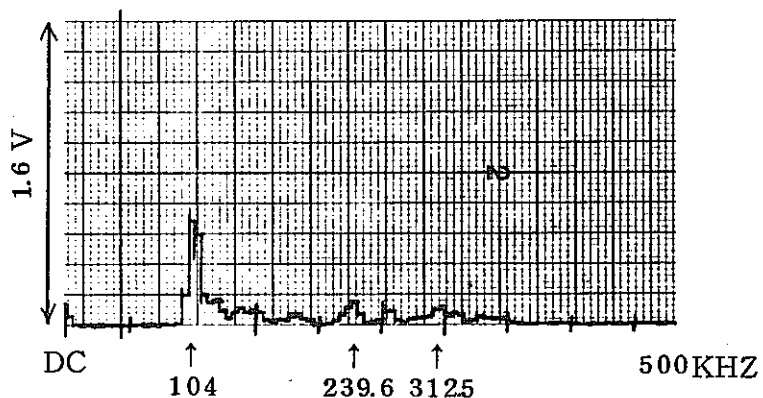
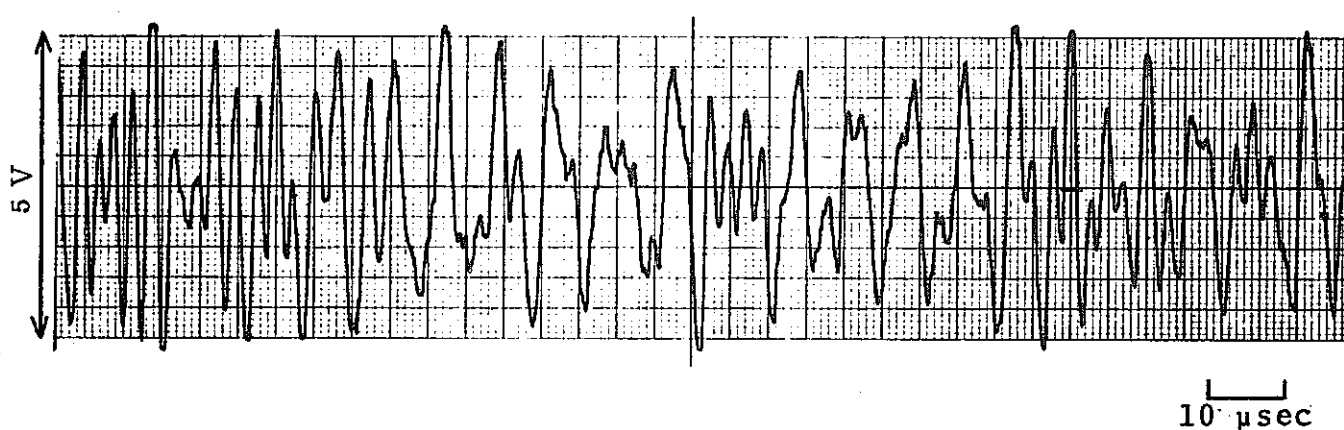
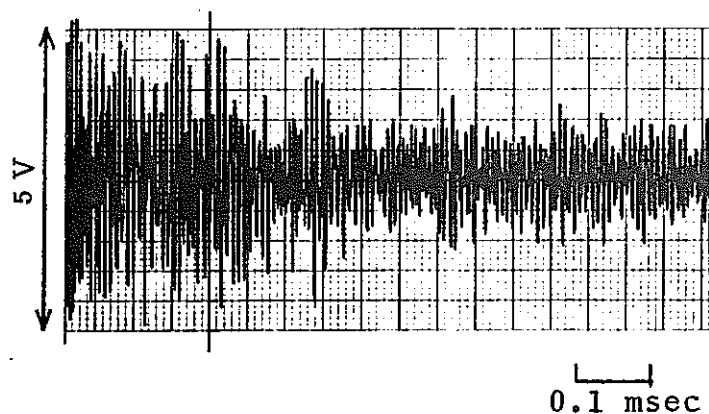


第1回加圧中に下端で採取された

AE信号の波形とそのパワースペクトル ②

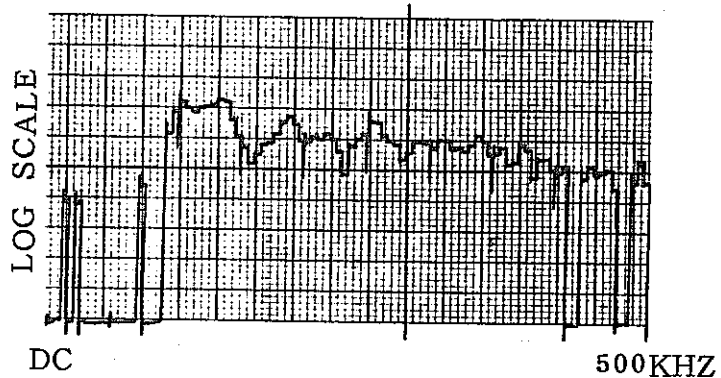
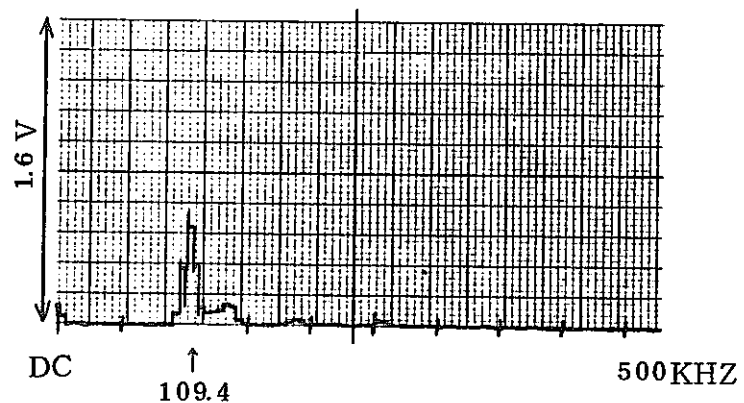
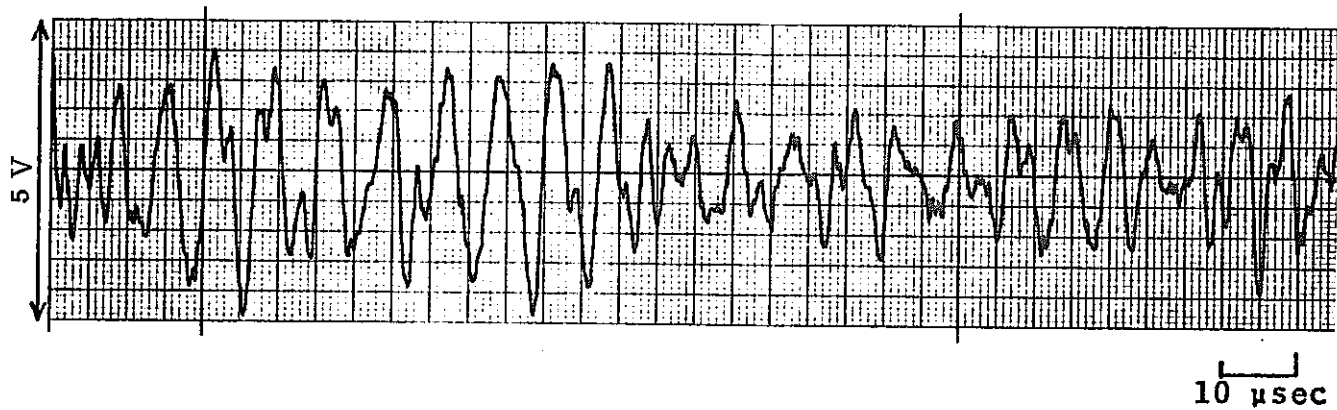
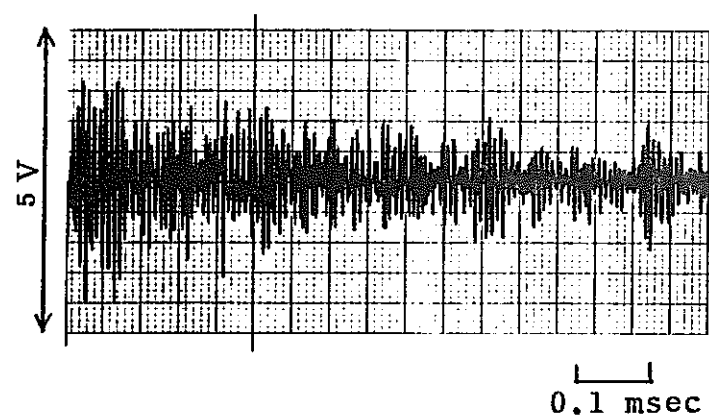
N 841-78-37

下端 No. 28



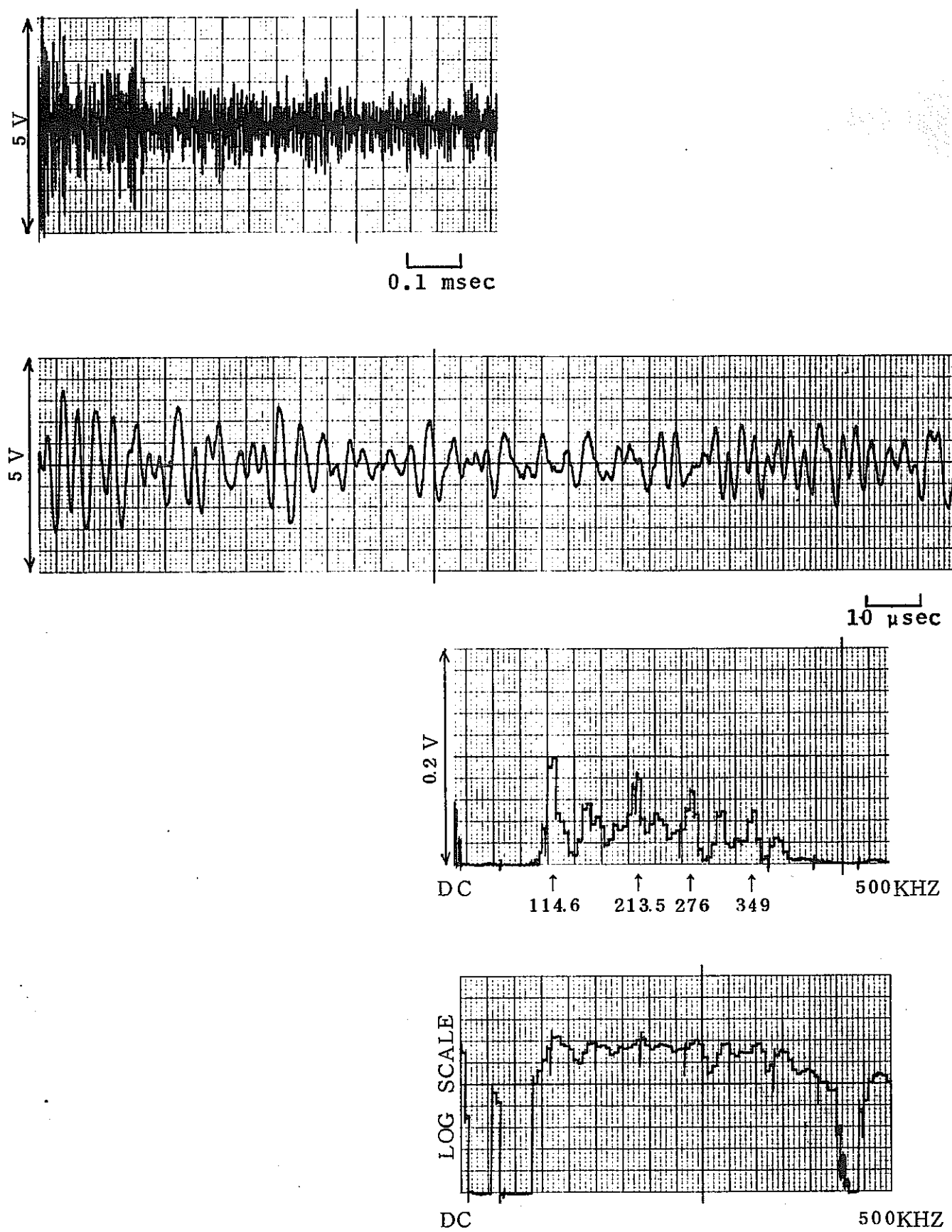
第1回加圧中に下端で採取された

AE信号の波形とそのパワースペクトル ⑧



第1回加圧中に下端で採取された

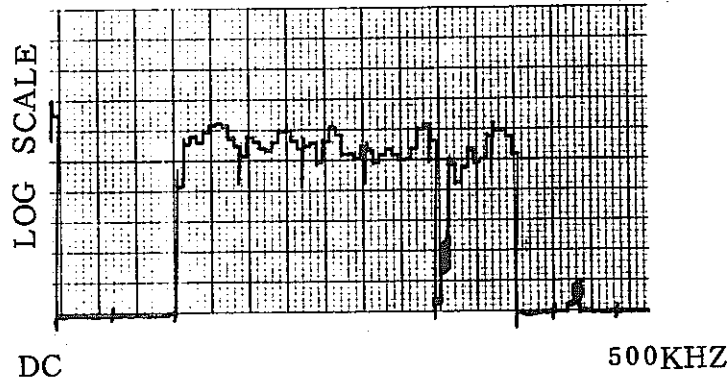
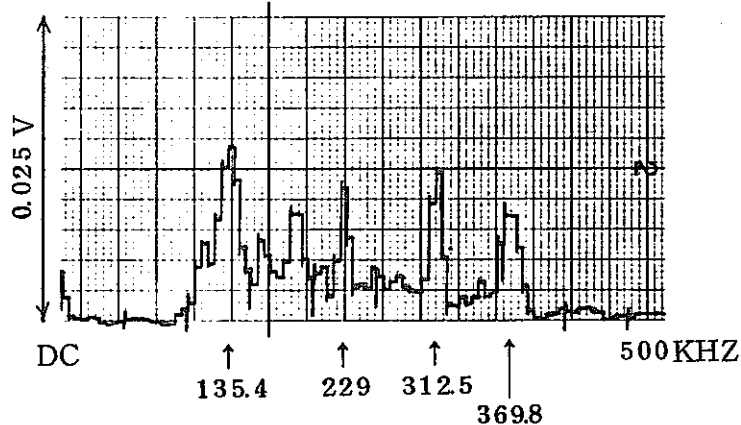
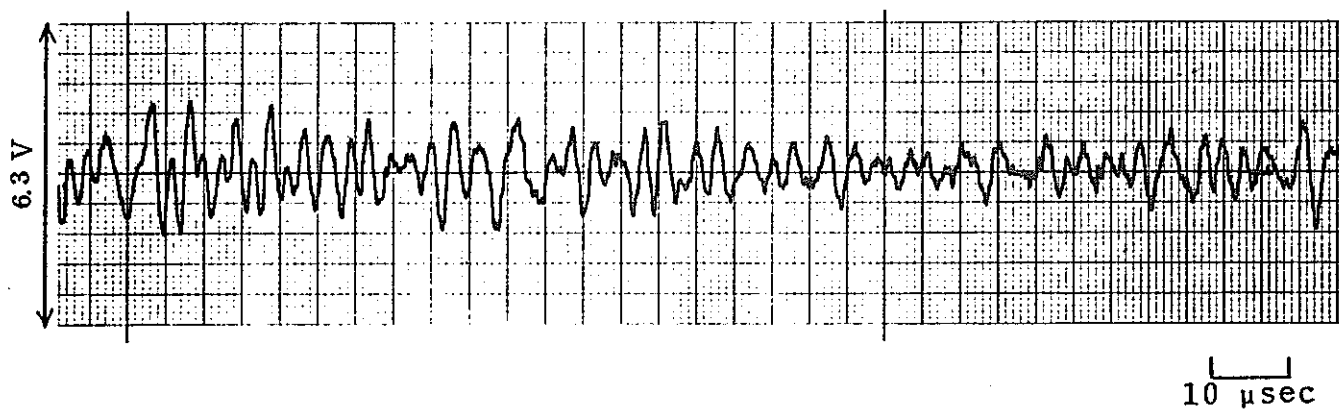
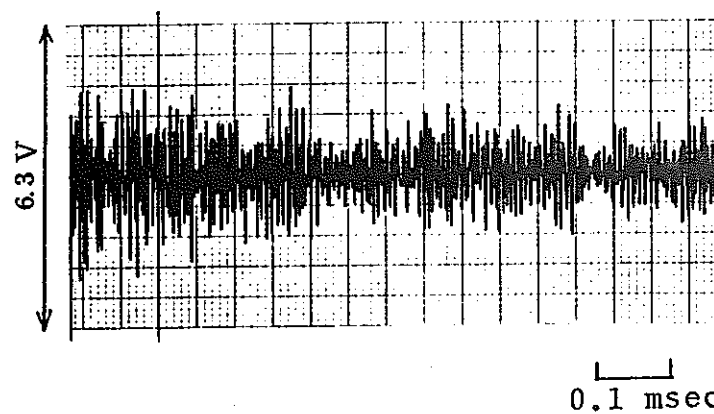
AE信号の波形とそのパワースペクトル ②



第1回加圧中に下端で採取された  
AE信号の波形とそのパワースペクトル ⑩

N841-78-37

下端 No.31

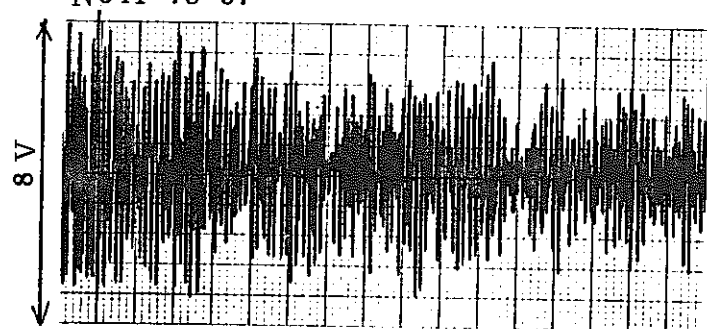


第1回加圧中に下端で採取された

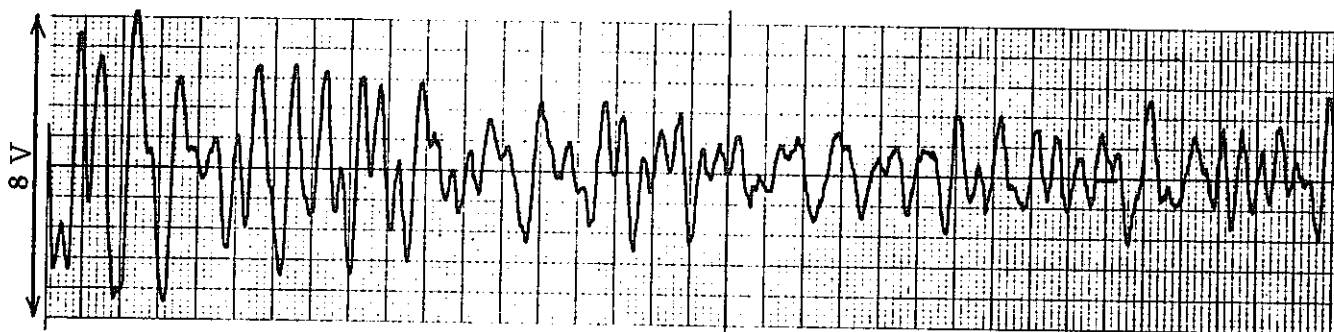
AE信号の波形とそのパワースペクトル ⑧

下端 № 32

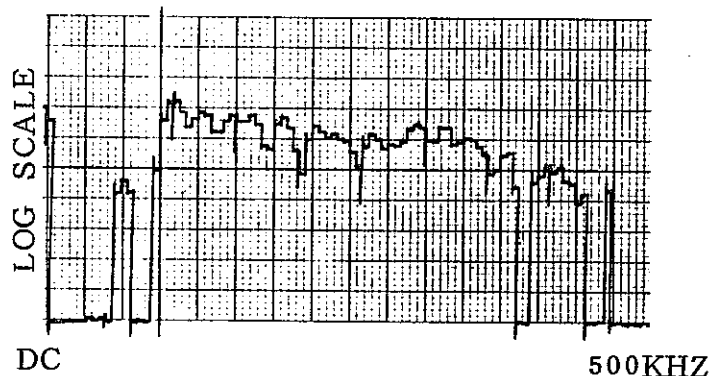
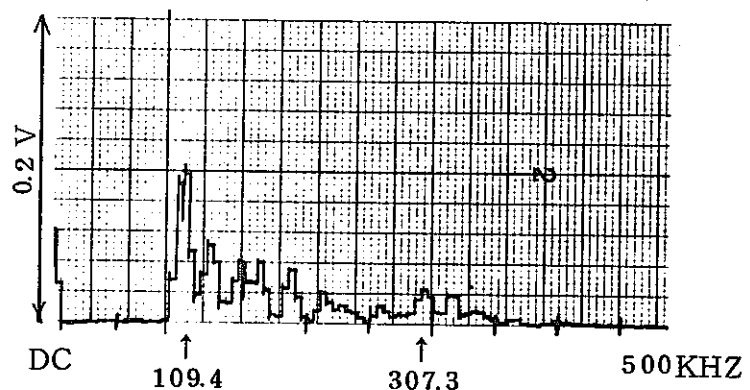
N841-78-37



0.1 msec



10 psec

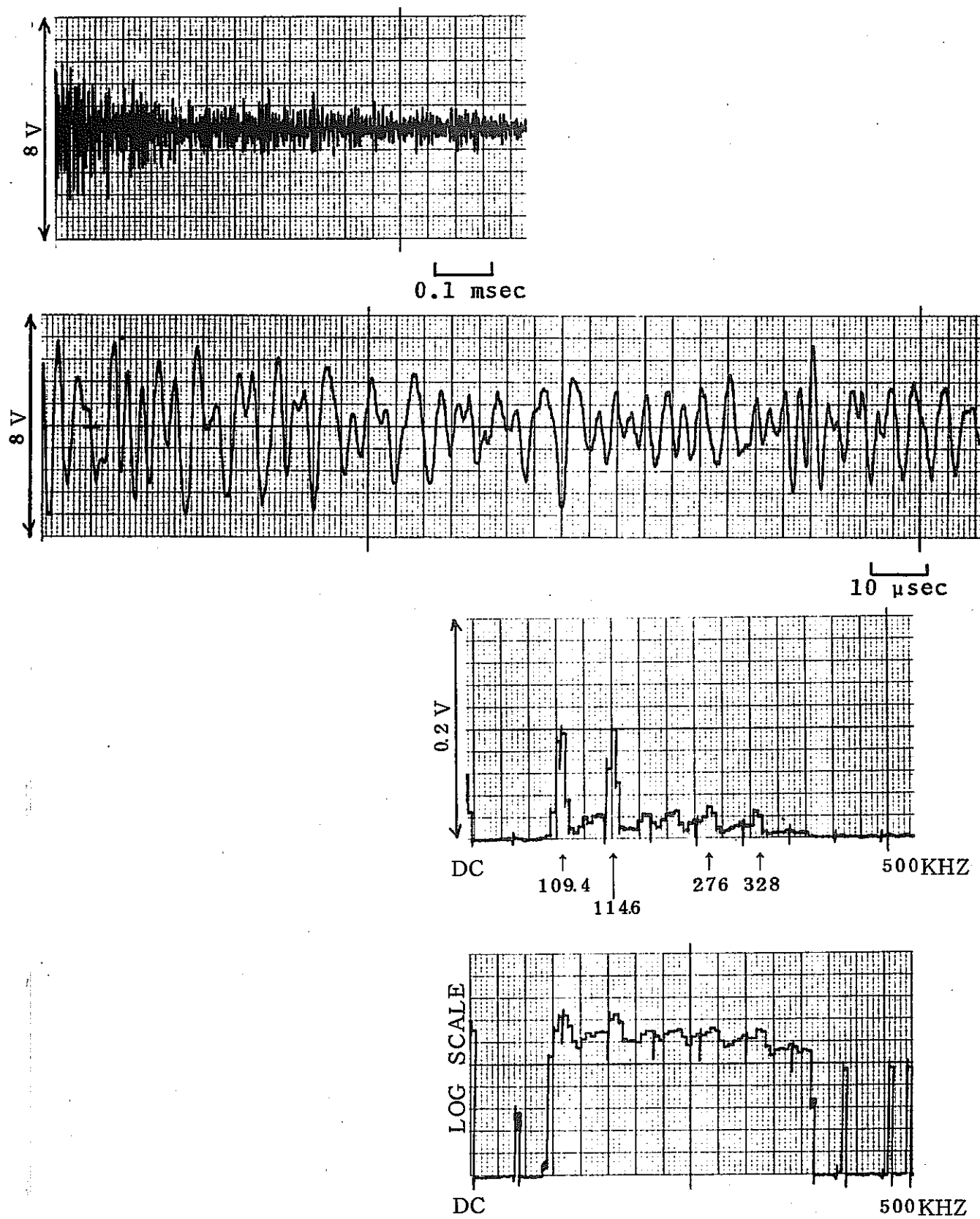


第1回加圧中に下端で採取された

AE信号の波形とそのパワースペクトル ③

N 841-78-37

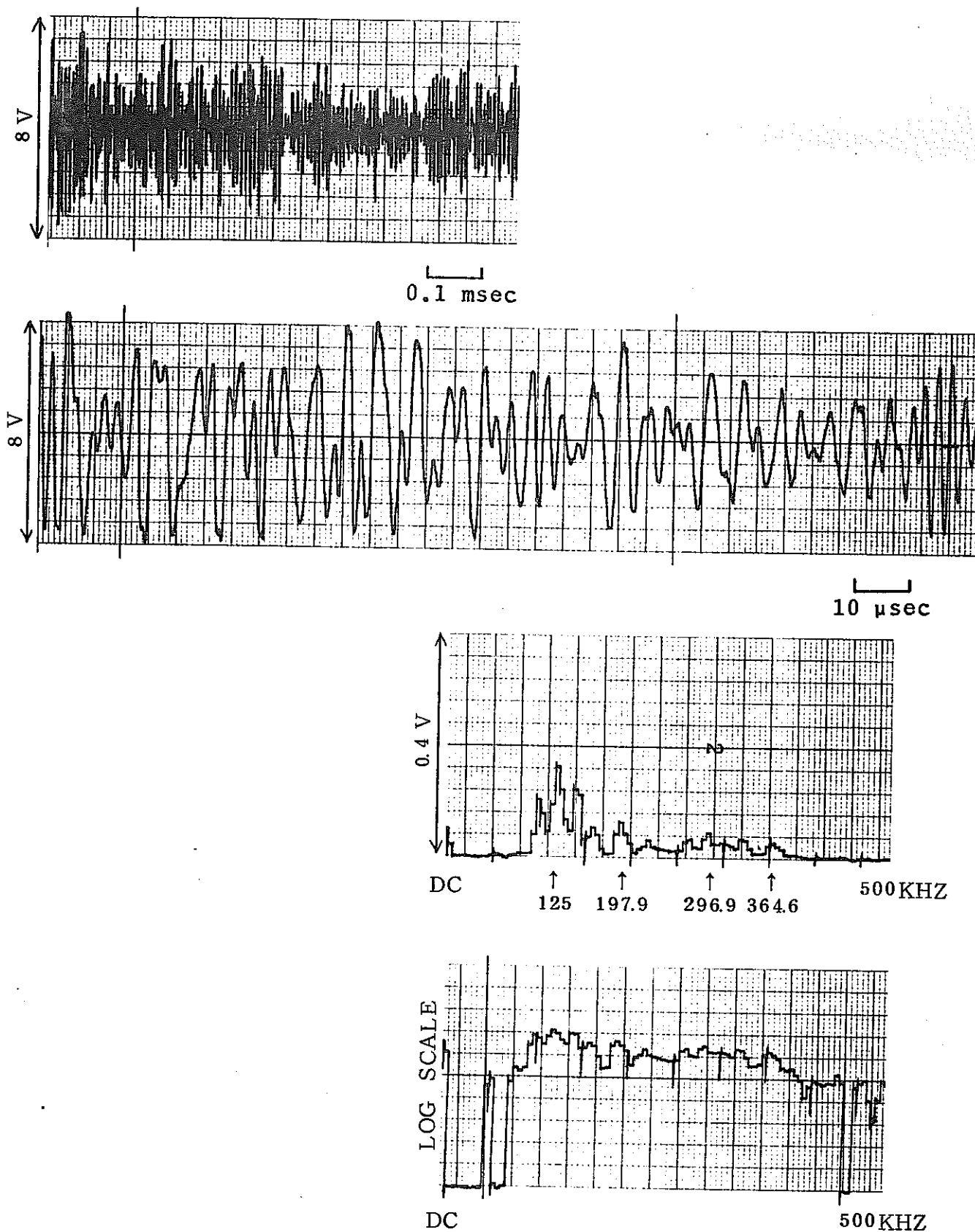
下端 A6 34



第1回加圧中に下端で採取された  
AE信号の波形とそのパワースペクトル ④

N841-78-37

下端 № 35



第1回加圧中に下端で採取された

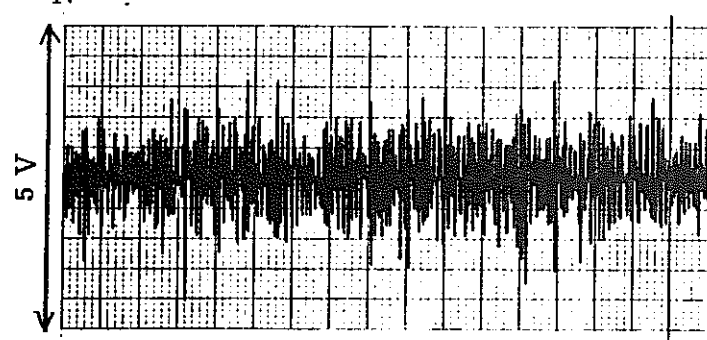
AE信号の波形とそのパワースペクトル ③

N841-78-37

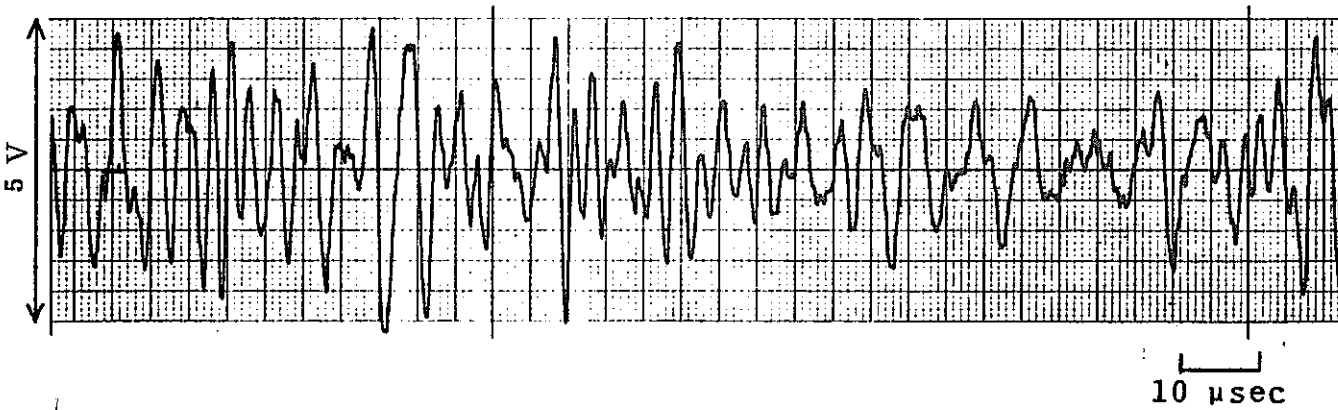
第1，2回加圧中に上端で採取されたA E信号の  
波形とパワースペクトル

N841-78-37

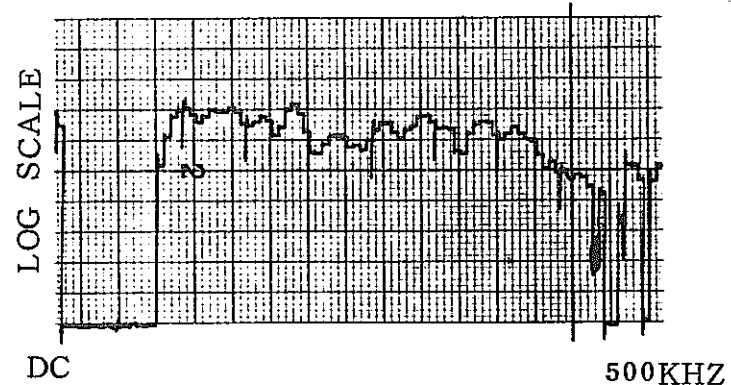
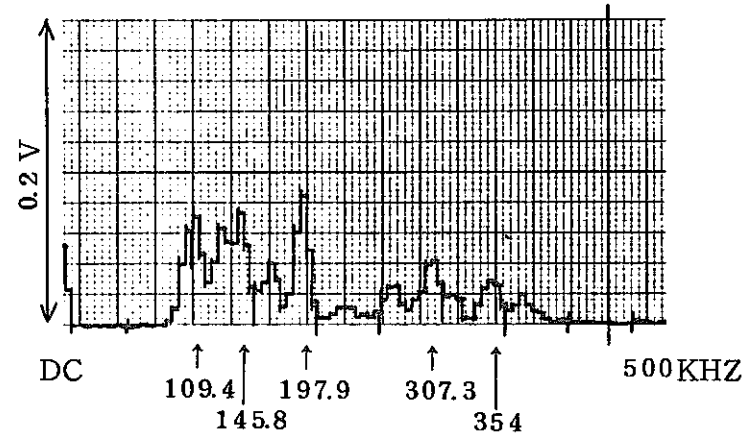
下端 A 36



0.1 msec

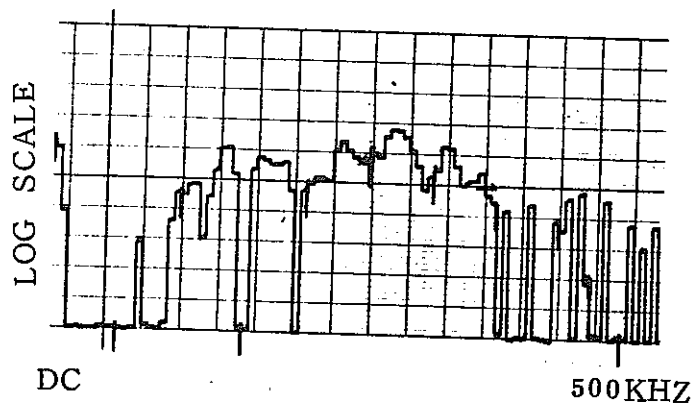
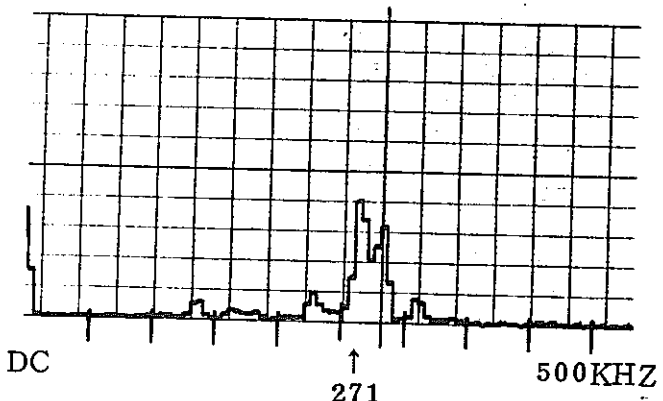
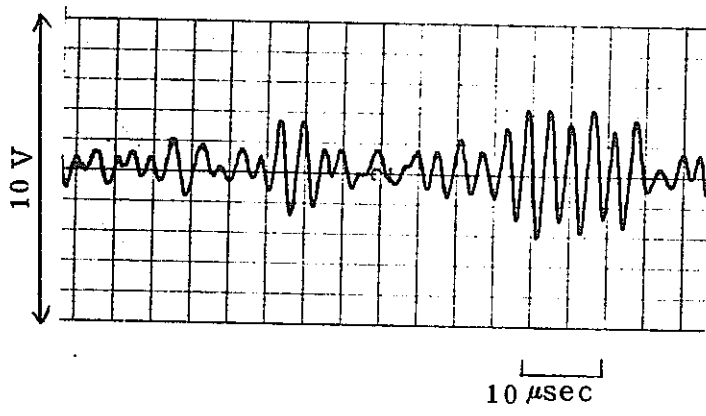
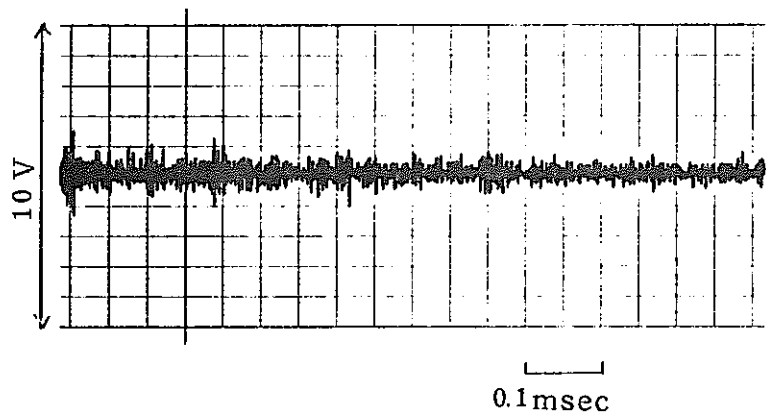


10  $\mu$ sec



第1回加圧中に下端で採取された  
AE信号の波形とそのパワースペクトル ⑥

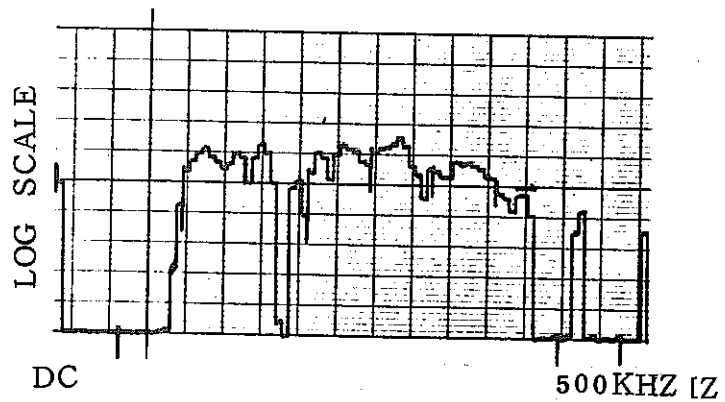
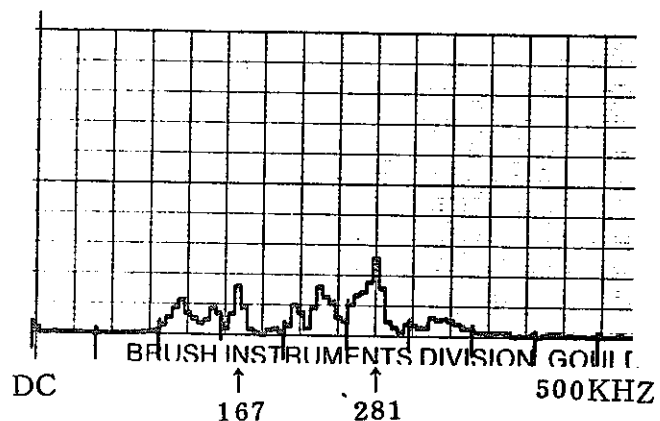
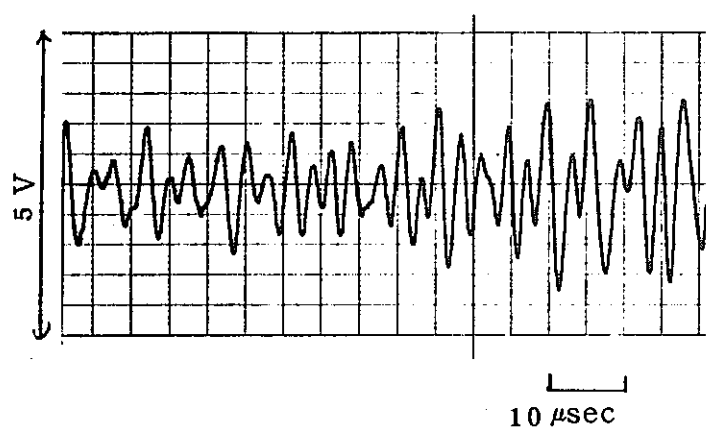
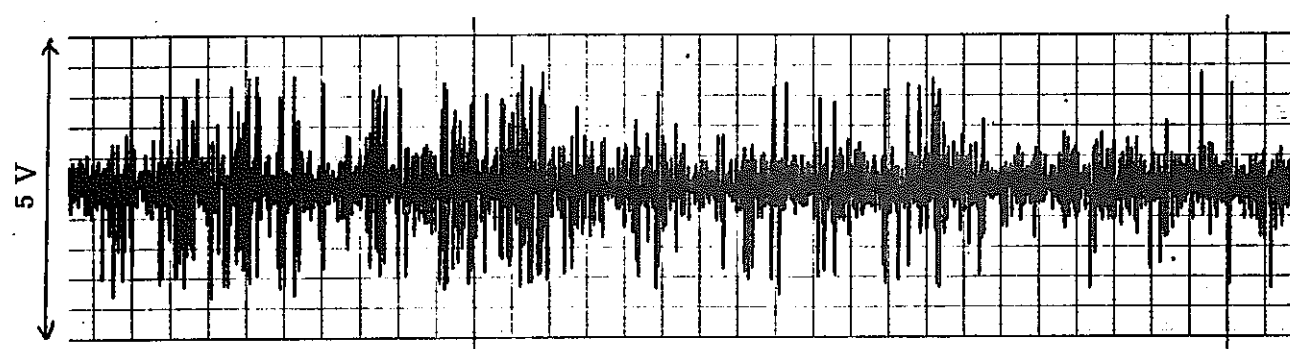
上端 No. 1



第1回加圧中上端で採取された  
AE信号の波形とそのパワースペクトル ①

N 841-78-37

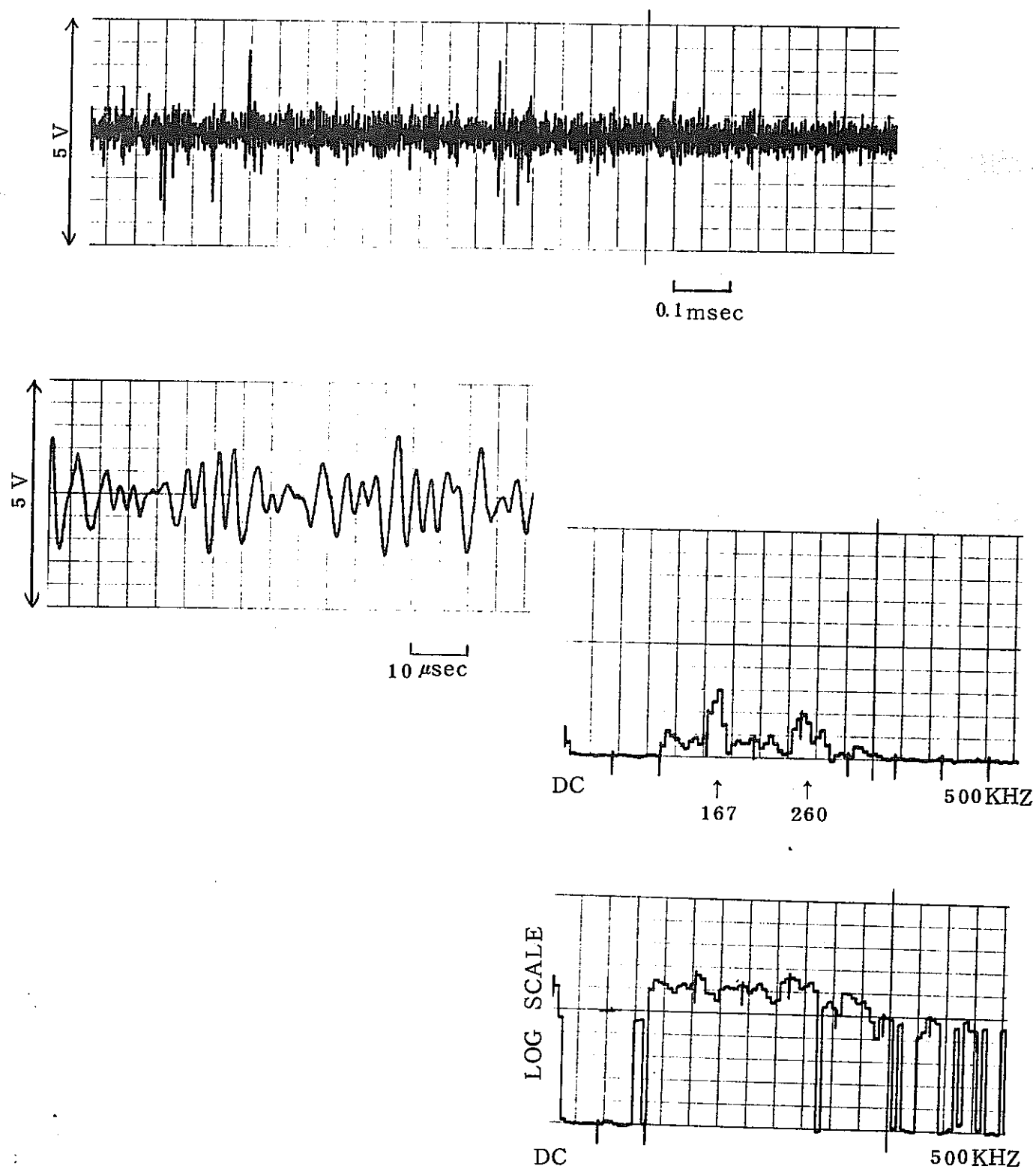
上端 №2



第1回加圧中上端で採取された

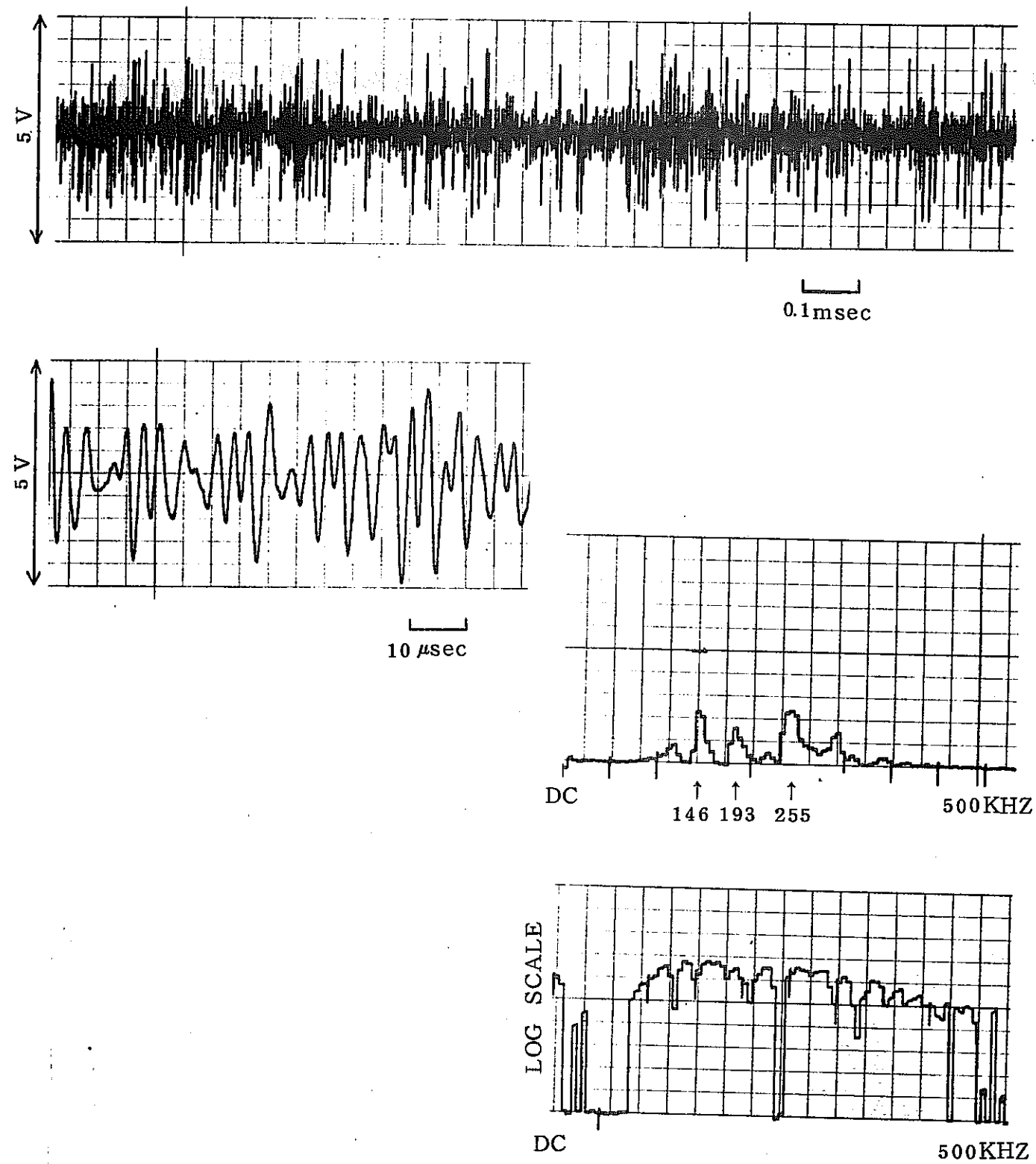
AE信号の波形とそのパワースペクトル ②

上端 No. 4



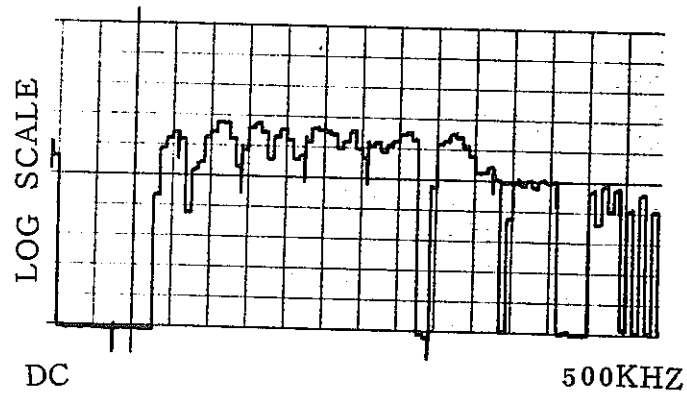
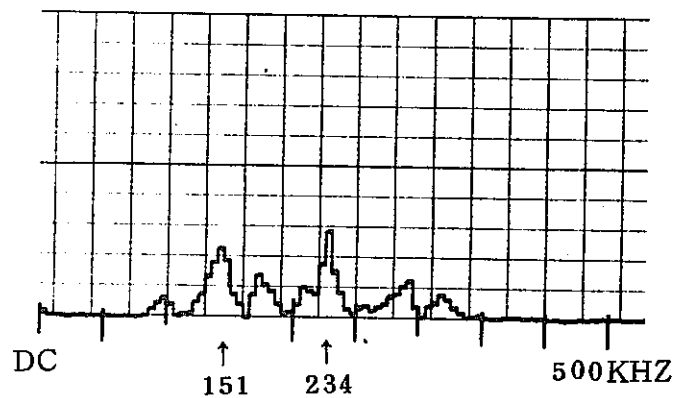
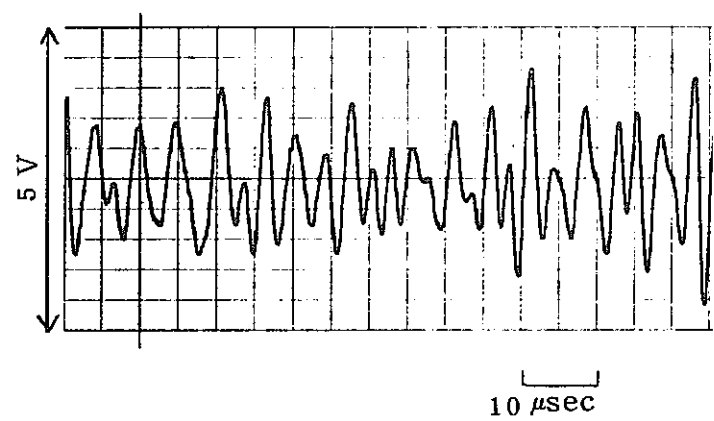
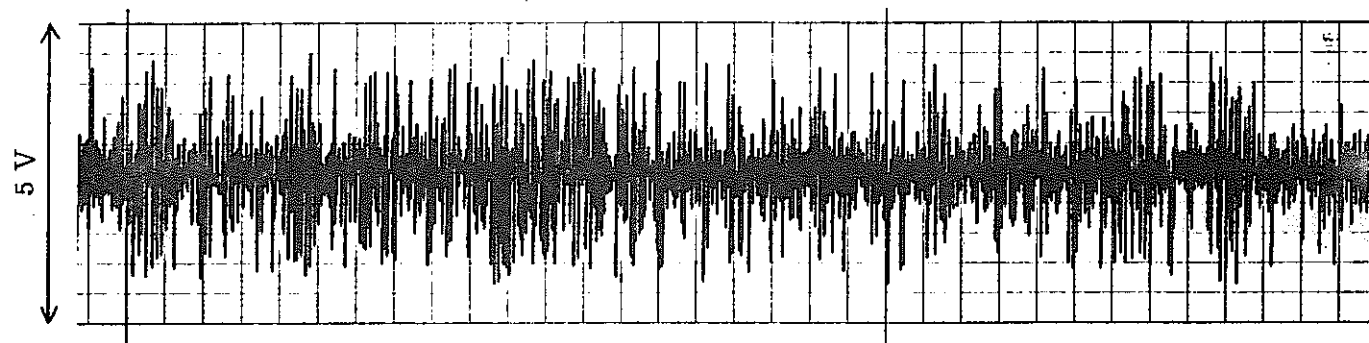
第1回加圧中上端で採取された  
AE信号の波形とそのパワースペクトル④

上端 No.5



第1回加圧中に上端で採取された  
AE信号の波形とそのパワースペクトル ⑤

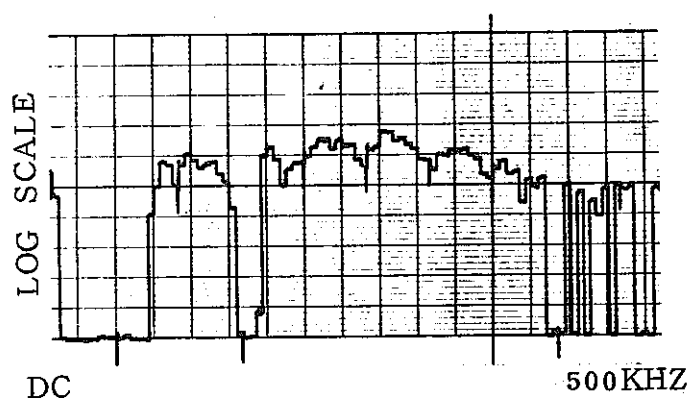
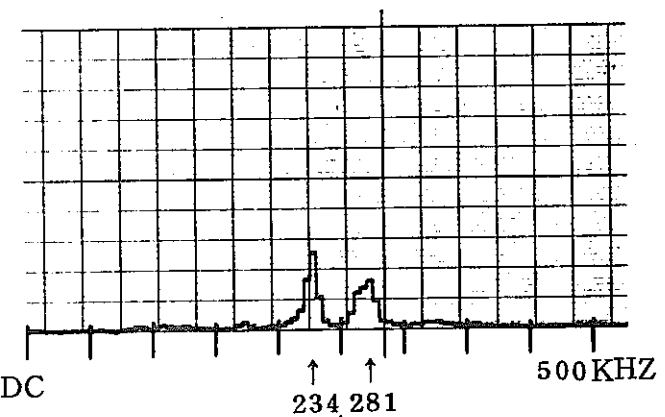
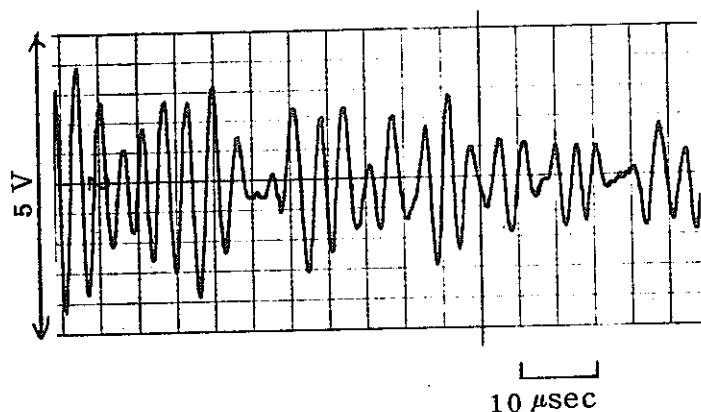
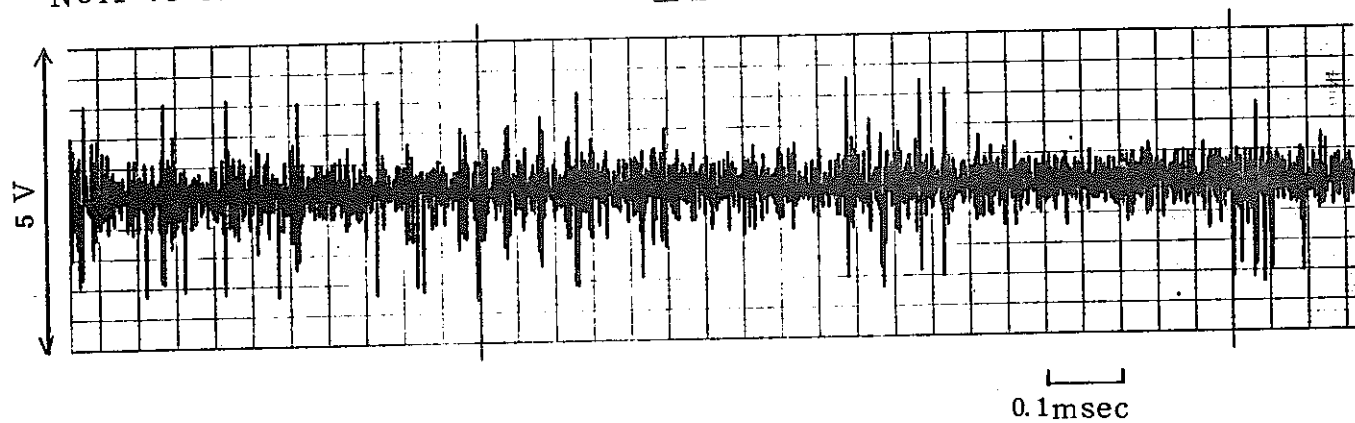
上端 № 6



第1回加圧中に上端で採取された  
AE信号の波形とそのパワースペクトル ⑥

N841-78-37

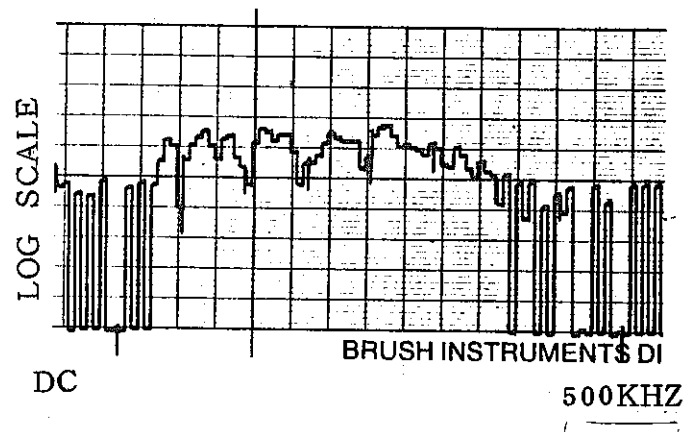
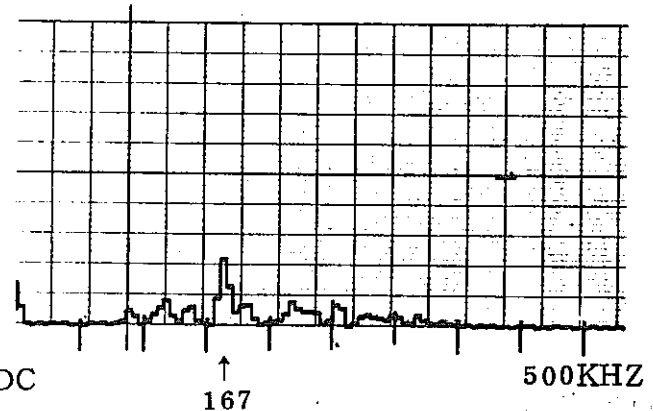
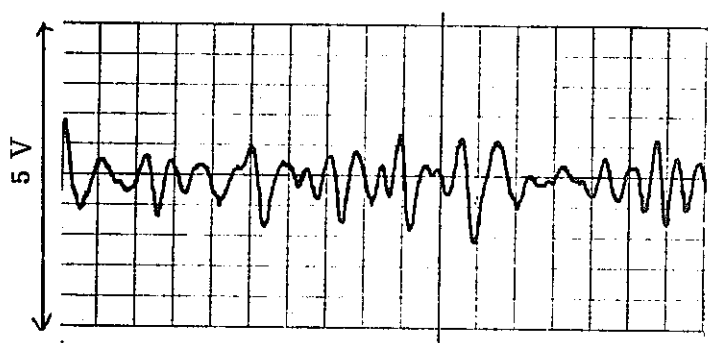
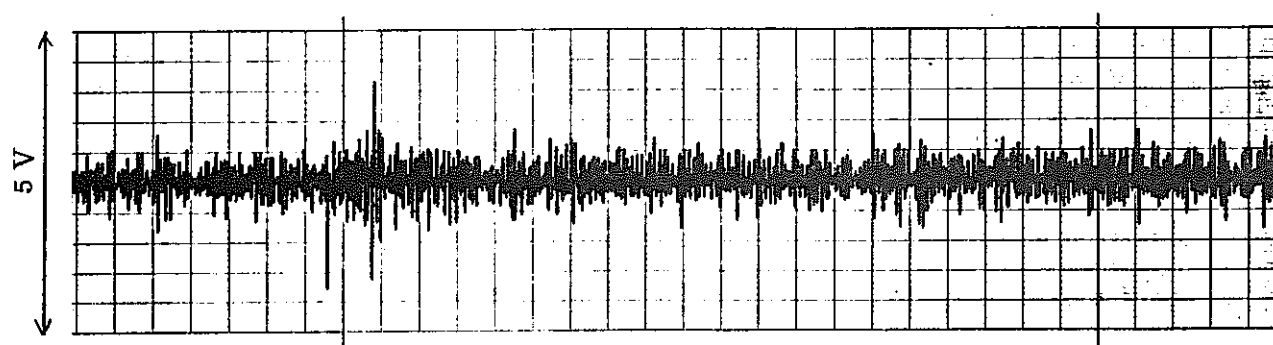
上端 No.7



第1回加圧中に上端で採取された  
AE信号の波形とそのパワースペクトル ⑦

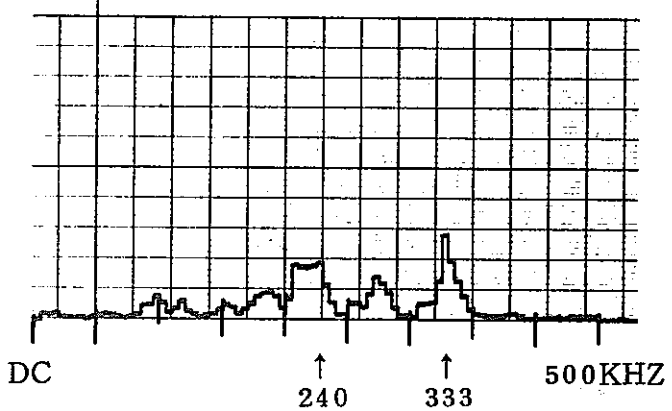
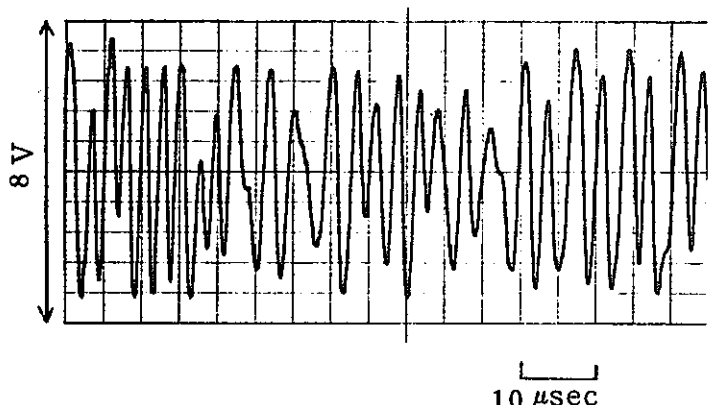
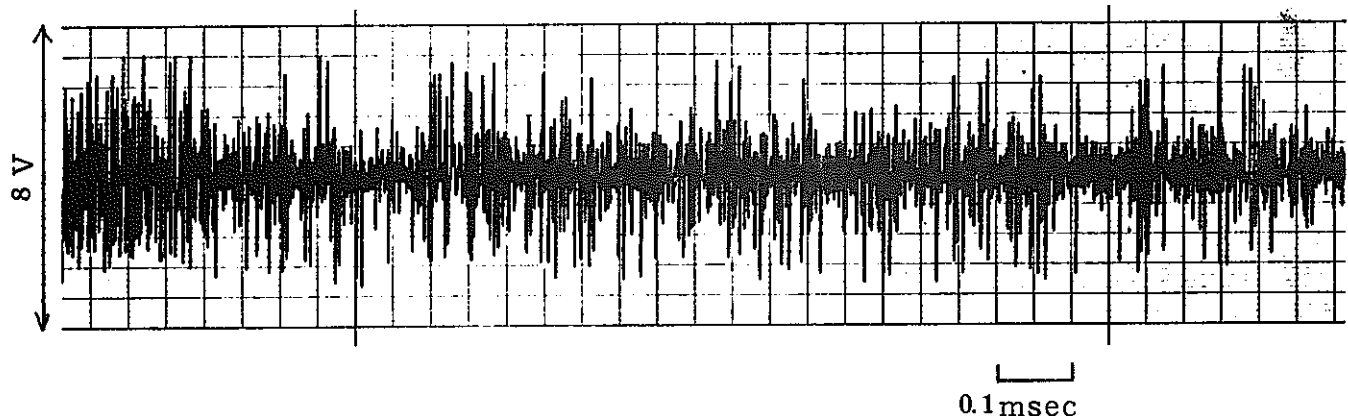
N841-78-37

上端 № 8



第1回加圧中に上端で採取された  
AE信号の波形とそのパワースペクトル ⑧

上端 №10



第2回加圧中に上端で採取された  
AE信号の波形とそのパワースペクトル ⑩

Appendix II

第4回加圧中AE測定結果(下端)

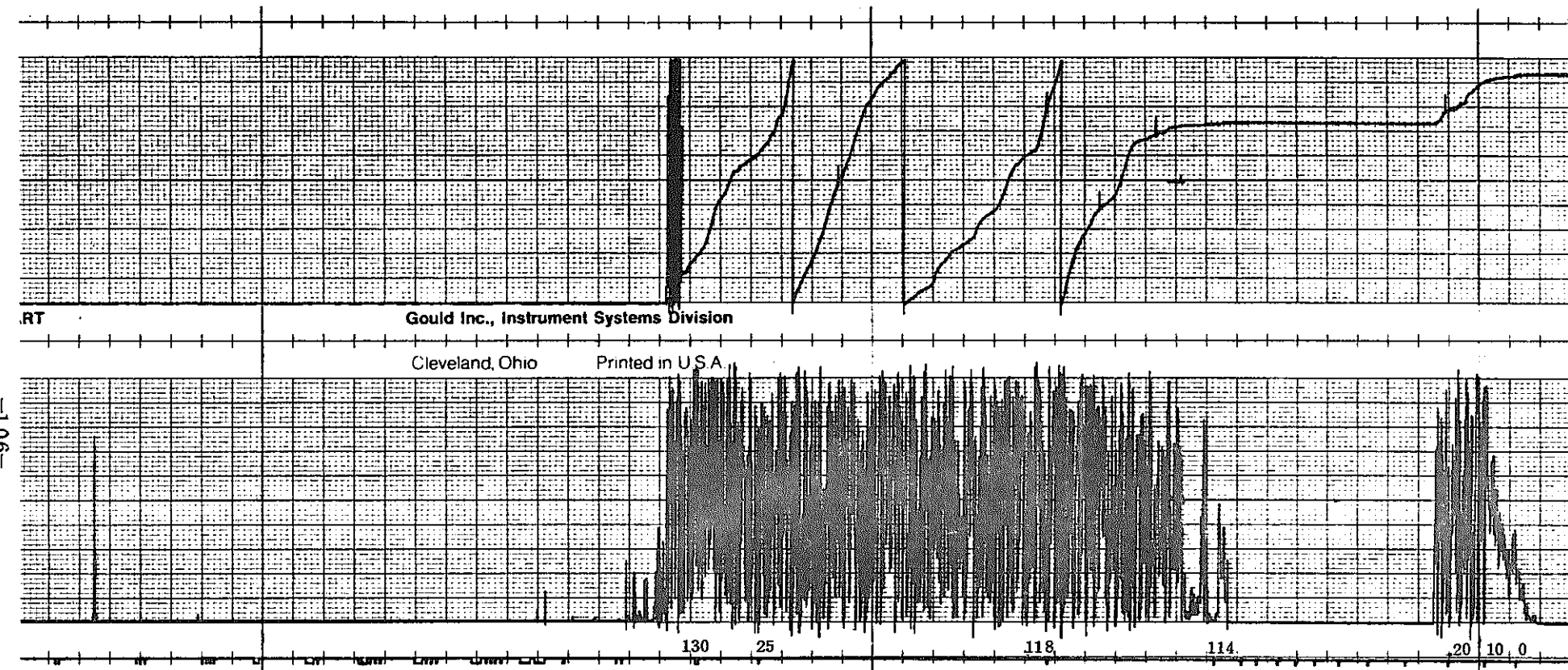
第4回目の加圧では、AEの発生状態を良く観察するため、特に降圧操作を引き伸ばしている。したがって圧力は、 $130 \text{ Kg/cm}^2$  から徐々に減少している。

ポンプバルブは  $115 \text{ Kg/cm}^2$  付近で開としたため、 $115 \text{ Kg/cm}^2 - 114 \text{ Kg/cm}^2$  で急激に圧力が減少している。

また、この時得られたリーク音とデータレコーダのバックノイズとの比較を行なった。

リーク音、バックノイズとも  $50 \text{ KHZ} - 1 \text{ MHZ}$  のバンドパスフィルタ通過後の信号について周波数分析を行なった。バックノイズについては、テープ速度  $30 \text{ ips}$  と  $60 \text{ ips}$  夫々について周波数分析を行なったが、 $60 \text{ ips}$ でのバックノイズは、 $30 \text{ ips}$ でのそれとくらべおよそ半分の大きさであった。

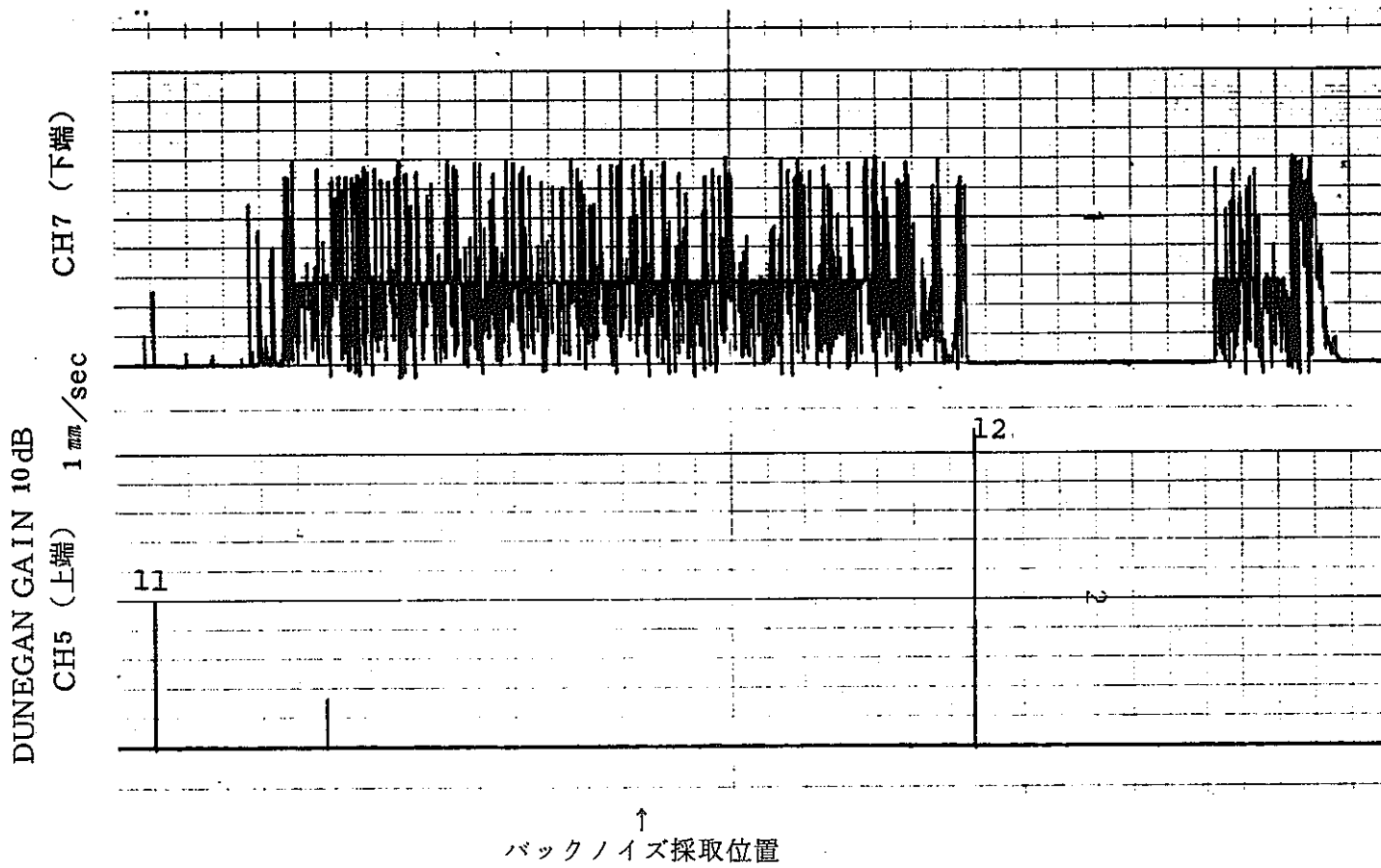
リーク音は、テープ速度  $30 \text{ ips}$ でのバックノイズに対しておよそ  $35 \text{ dB}$ 、 $60 \text{ ips}$ のテープ速度時のバックノイズに対しておよそ  $40 \text{ dB}$ であった。



第4回加圧中AE測定結果（下端）

上段 AE カウント累積数

下段 カウント率（0.1 sec リセット）



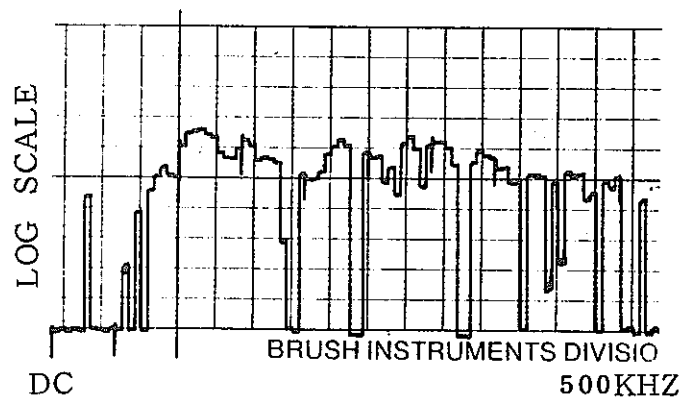
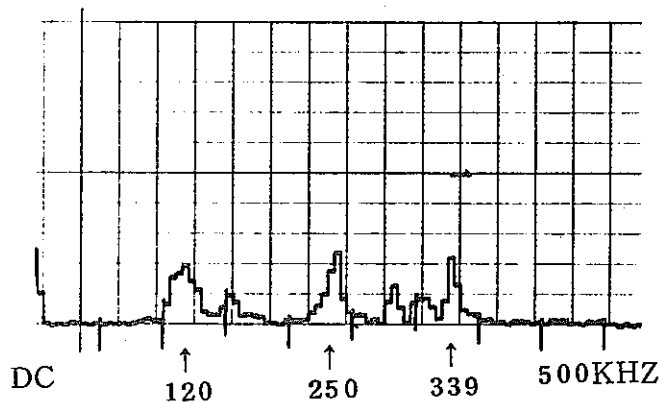
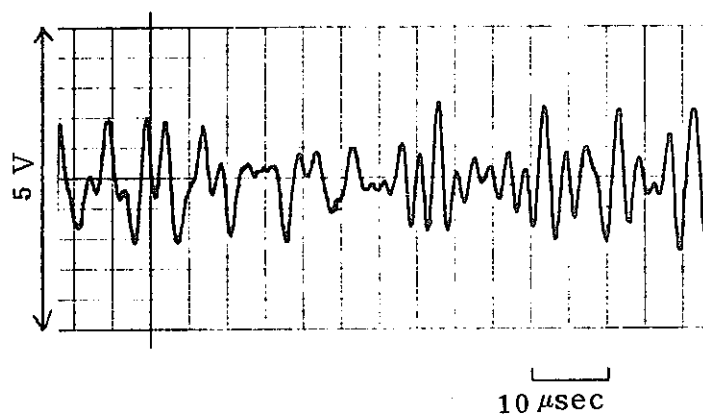
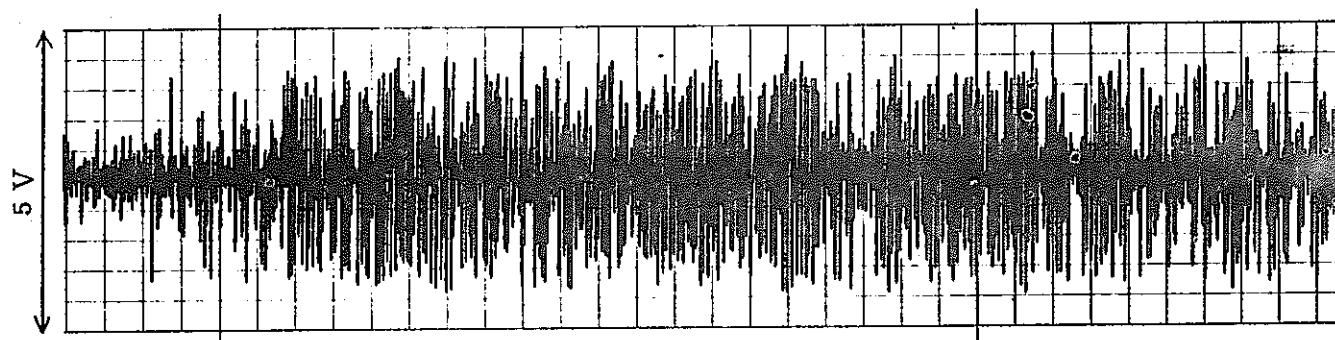
#### 第4回加圧中AE測定結果（上端）

上段 比較のため再生した下端で測定された

AEカウント率（0.1 sec リセット）

下段 上端で測定されたAEカウント率（0.1 sec リセット）

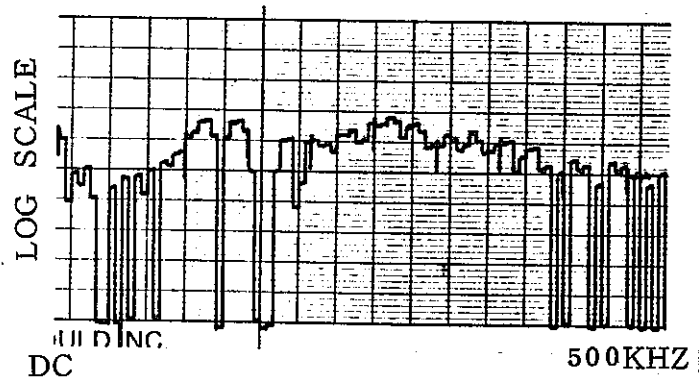
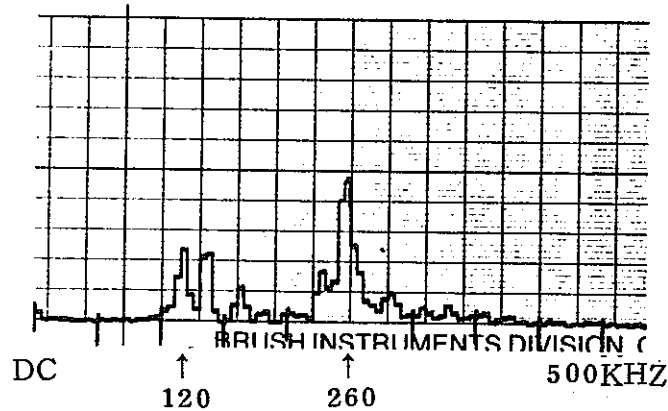
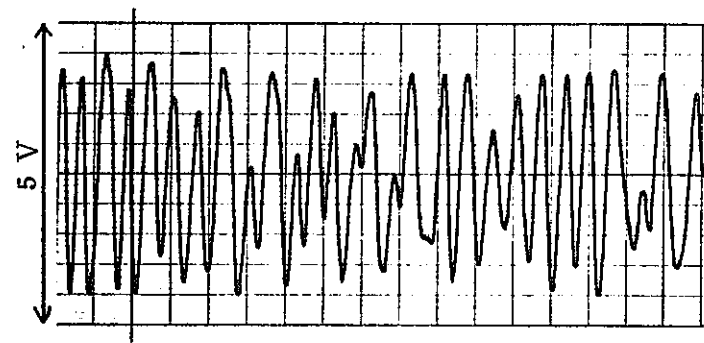
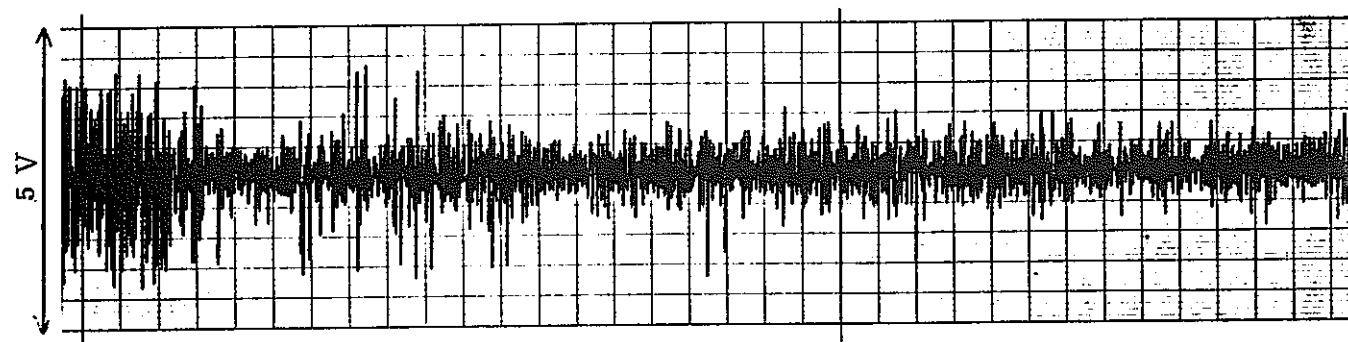
上端 No. 11



第4回加圧中に上端で採取された  
AE信号の波形とパワースペクトル ⑪

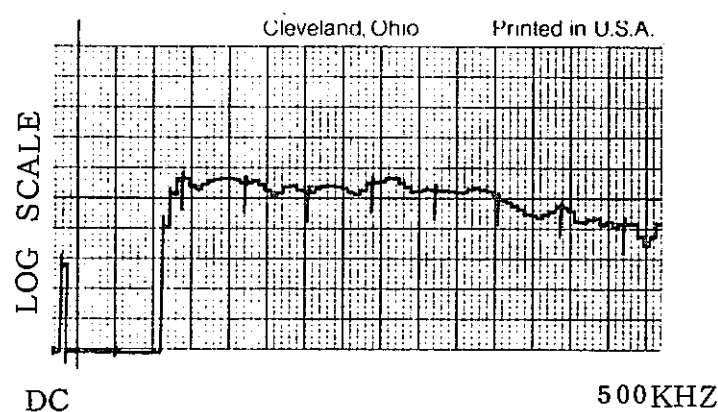
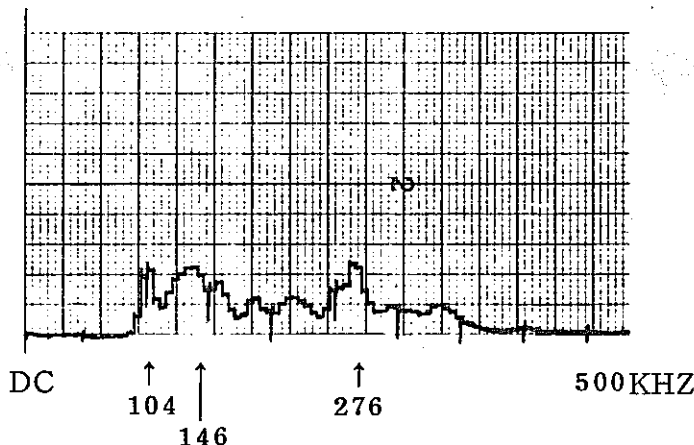
N 841-78-37

上端 #12



第4回目加圧中に上端で採取された  
AE信号とそのパワースペクトル ⑫

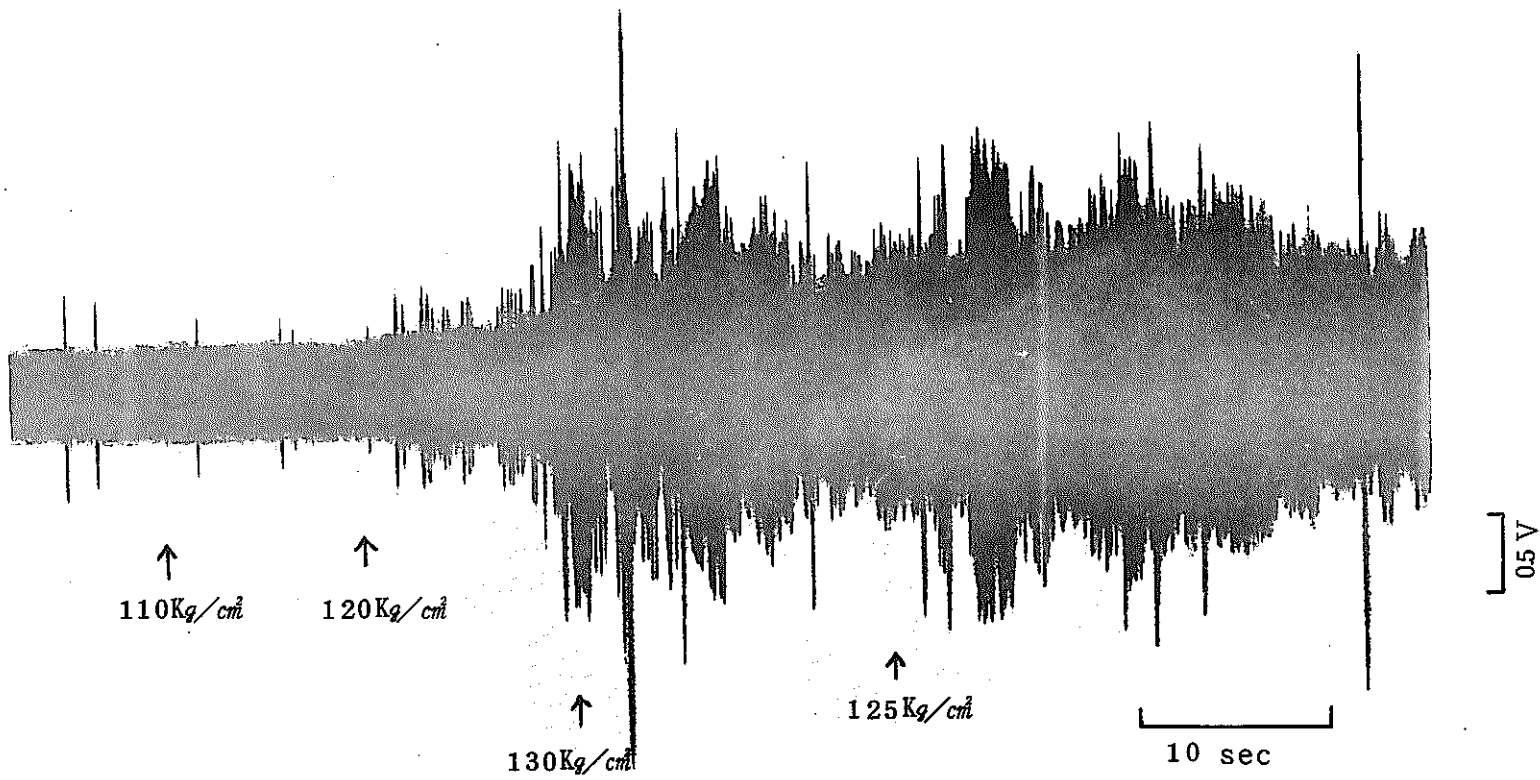
N 841-78-37



第4回目加圧中に下端で得られた  
連続形AE信号のパワースペクトル

C-120 Av 8192, S.P 1  $\mu$ sec  
Range 1V, MLT X2  
F-120 MLT X16  
BRUS 20mv/div, 1mm/sec

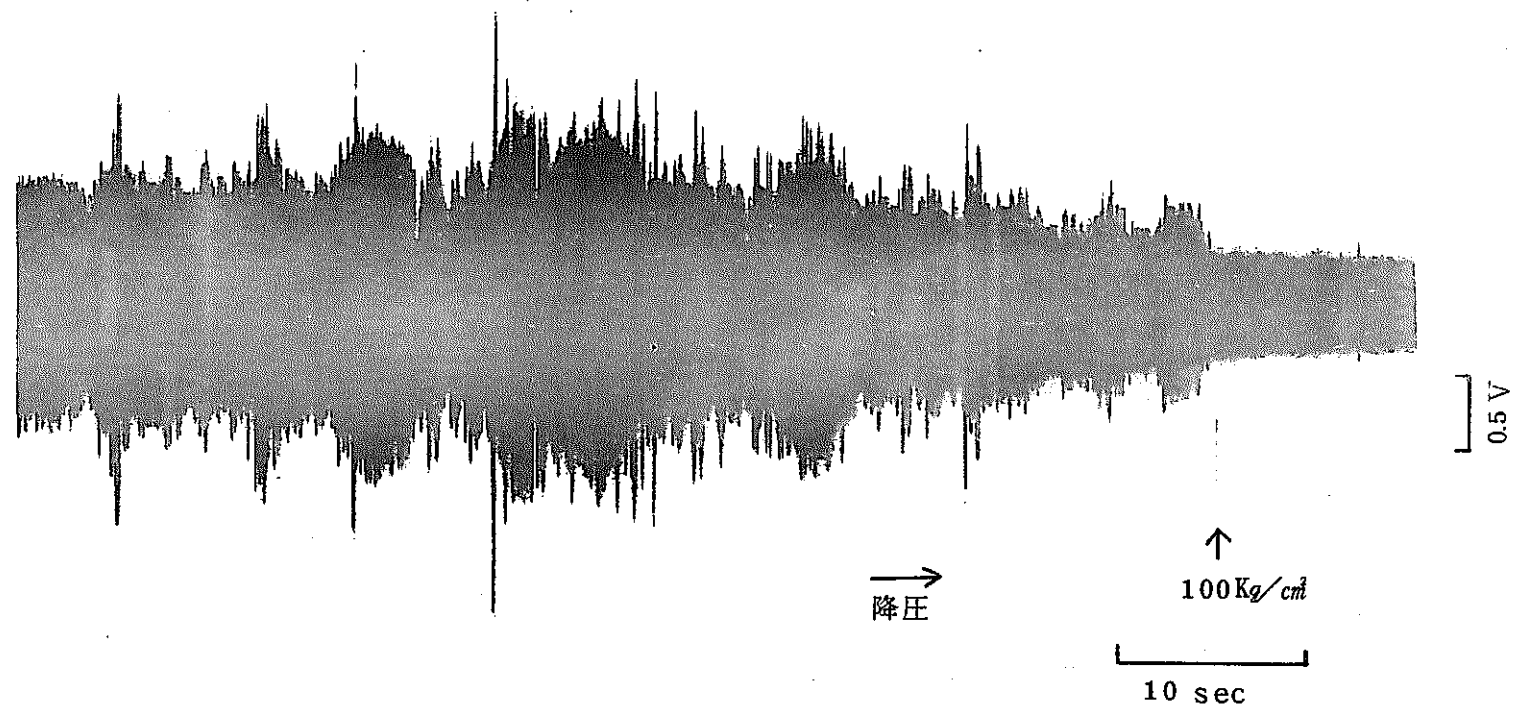
-11-



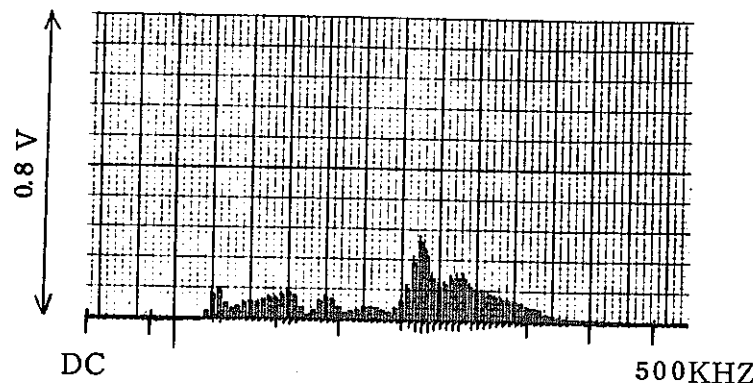
第4回加圧中AE信号(下端)(1)

5 KHZハイパス

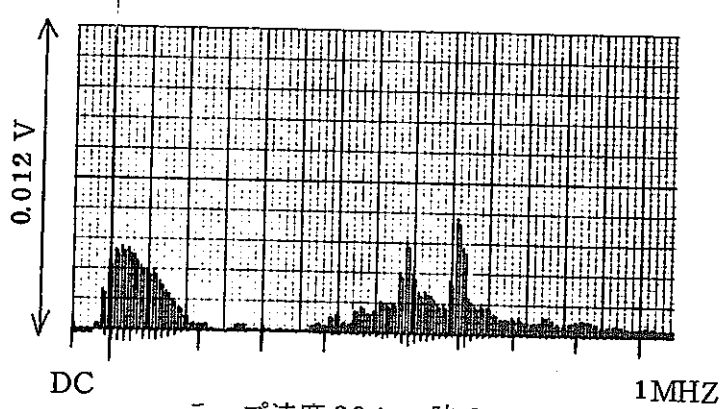
N841-78-37



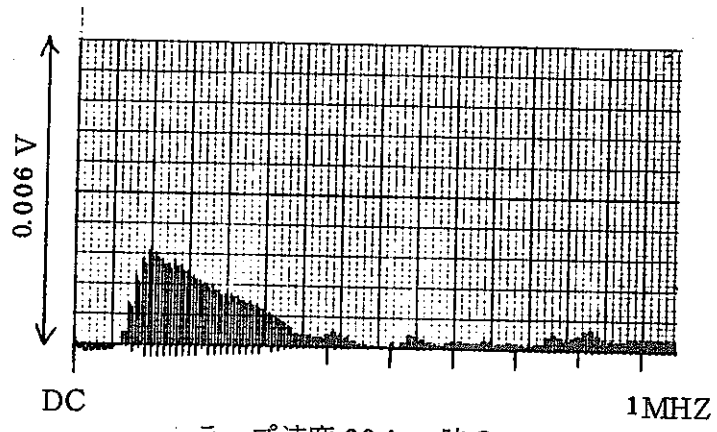
第4回加圧中AE信号(下端)(2)



第4回加圧時のリーク音の  
パワースペクトル



テープ速度 30 ips 時の  
バックノイズのパワースペクトル

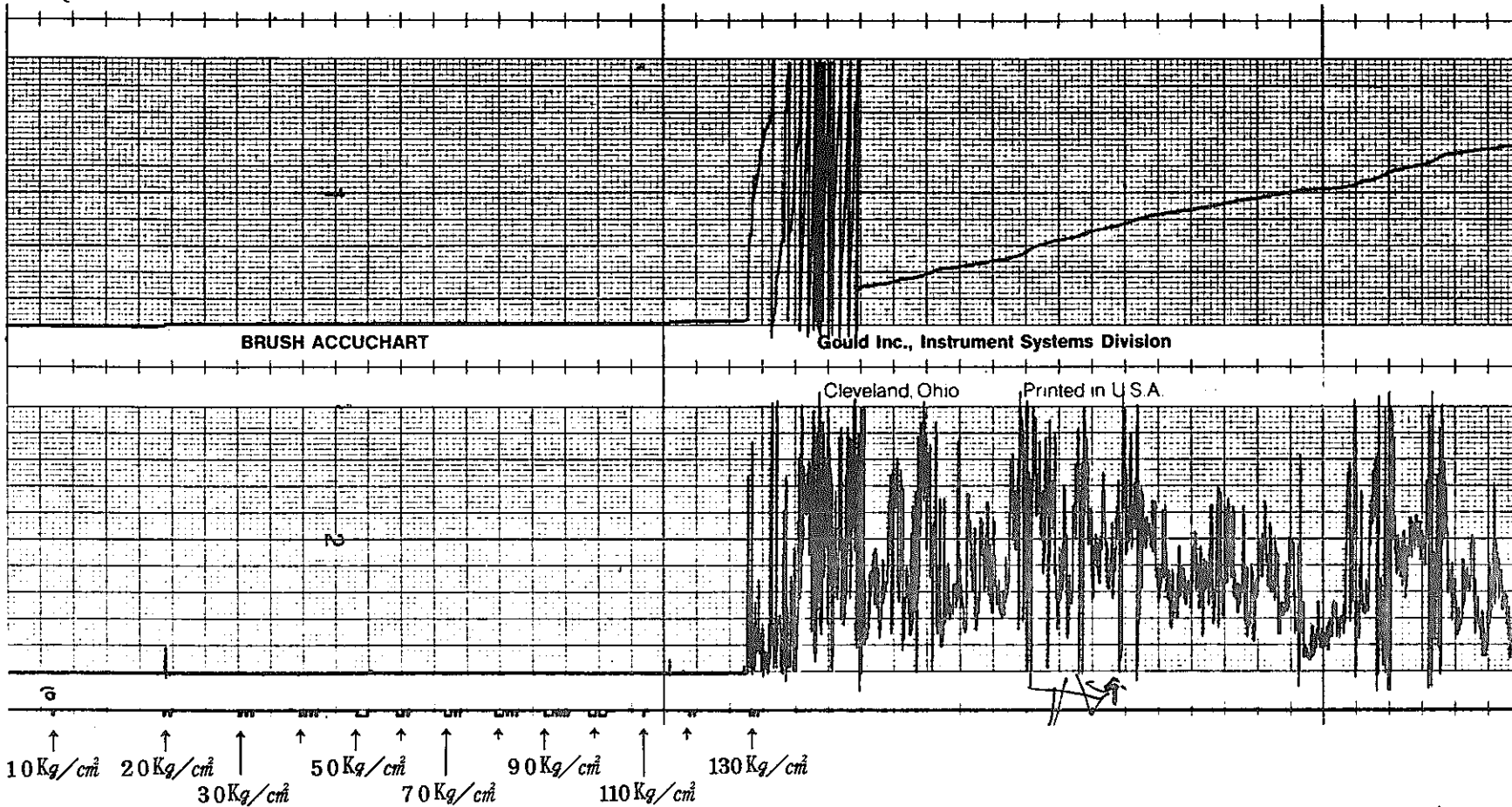


テープ速度 60 ips 時の  
バックノイズのパワースペクトル

リーク音とデータレコーダー バックノイズのパワースペクトル比較  
テープ速度 30 ips と 60 ips の場合  
データレコーダーより直接解析した。

Appendix III

第5回加圧時AE測定結果(下端)

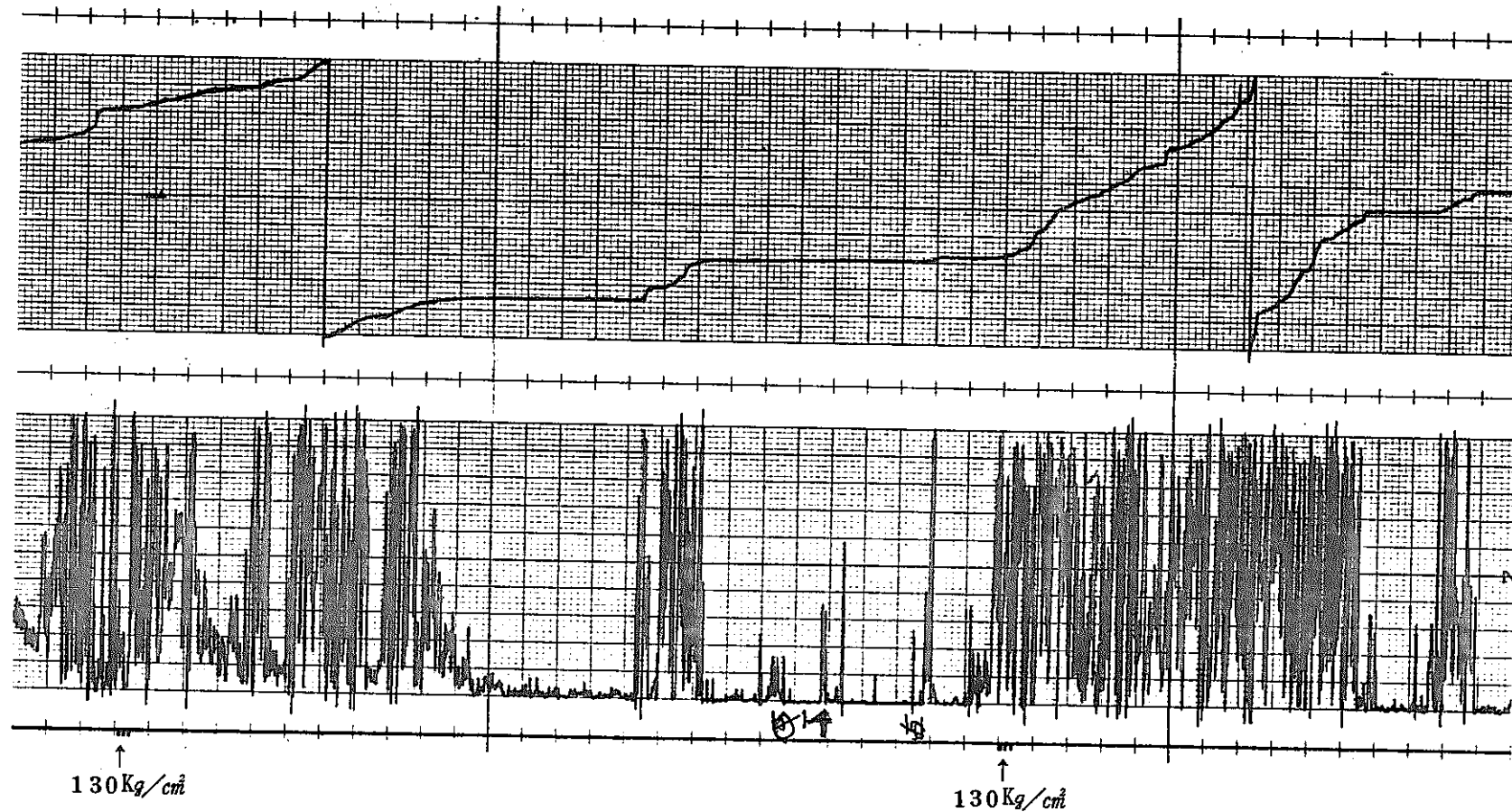


### 第5回目加圧中AE測定結果(1)

上段 AE累積カウント

下段 カウント率 (0.1 secリセット)

(ポンピングにより  $130\text{Kg}/\text{cm}^2$ を維持しているため)  
 $130\text{Kg}/\text{cm}^2$ が数回達成されている)

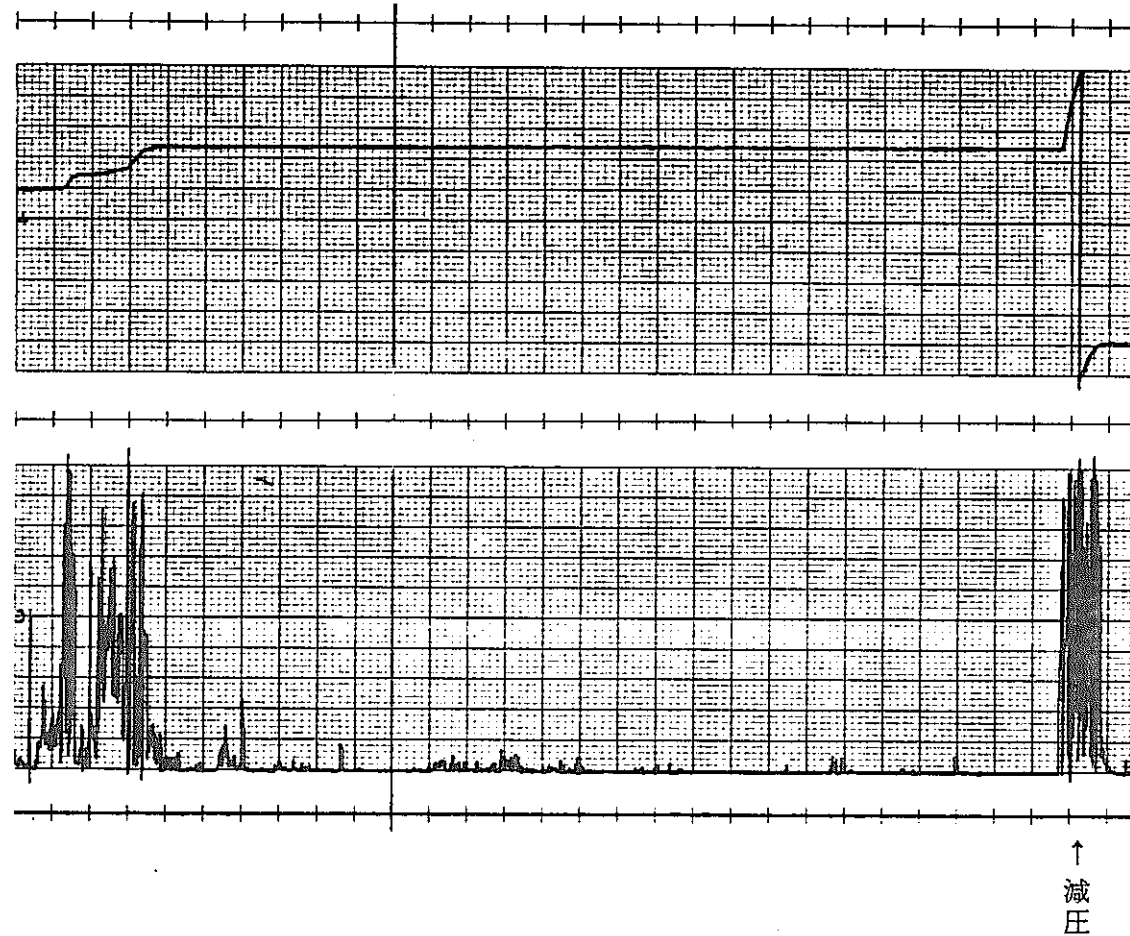


第5回目加圧中AE測定結果(2)

上段 AE累積カウント

下段 カウント率(0.1 secリセット)

(ポンピングにより  $130 \text{ Kg/cm}^2$  を維持しているため  
 $130 \text{ Kg/cm}^2$  が数回達成されている)



第5回目加圧中AE測定結果(3)

上段 AE累積カウント

下段 カウント率(0.1secリセット)